



ЛЬВІВСЬКИЙ ОРДЕНА ЛЕНІНА ДЕРЖАВНИЙ
УНІВЕРСИТЕТ ім. Ів. ФРАНКА

ВІСНИК

СЕРІЯ МЕХАНІКО-МАТЕМАТИЧНА

ВИПУСК 6

1971

ВИДАВНИЦТВО ЛЬВІВСЬКОГО УНІВЕРСИТЕТУ

МІНІСТЕРСТВО ВИЩОЇ І СЕРЕДНЬОЇ
СПЕЦІАЛЬНОЇ ОСВІТИ УРСР

ВІСНИК

ЛЬВІВСЬКОГО ОРДЕНА ЛЕНІНА
ДЕРЖАВНОГО УНІВЕРСИТЕТУ
ім. ІВАНА ФРАНКА

СЕРІЯ МЕХАНІКО-МАТЕМАТИЧНА

ВИПУСК 6

ВИДАВНІЦТВО ЛЬВІВСЬКОГО УНІВЕРСИТЕТУ
Львів - 1971

Друкується за рішенням редакційно-видавничої ради
Львівського ордена Леніна державного університету ім. Ів. Франка

УДК 51

У збірнику вміщено статті з теорії функцій, диференціальних рів-
нянь, геометрії, алгебри і теорії пружності.

Розрахований на наукових працівників.

Редакційна колегія:

Гольдберг А. А., Гриліцький В. Д., Ковань-
ко О. С. (відп. редактор), Костенко В. Г., Костов-
ський О. М., Мартинович Т. Я. (відп. секретар).

МАТЕМАТИКА

УДК 617.512

О.С.КОВАНЬКО

ПРО ОДНЕ СПІВВІДНОШЕННЯ ДВОХ КЛАСІВ УЗАГАЛЬНЕНИХ МАЙХЕ ПЕРІОДИЧНИХ ФУНКІЙ

В нашій статті "Взаимоотношение различных обобщений почти периодических функций" (Изв. НИИМММ Томск. ун-та, т. 3, вып. I, 1946) было построено дев'ять підкласів відомих S_p , W_p і B_p класів майхе періодичних функцій (див. стор. 12). Два з цих підкласів, логічно різних, виявилися збіжними.

Покажемо конкретно про що йде мова. Для цього пригадаємо деякі означення і позначення.

Розглянемо такі метрики в просторі функцій, які означені на всій дійсній осі:

$$D_{S_p}^{\rho E}(\varphi, \psi) = \sup_{-\infty < x < +\infty} \left\{ \frac{1}{E(x, x+\ell)} \int | \varphi(u) - \psi(t) |^\rho dt \right\}^{\frac{1}{\rho}}, \quad (\rho > 1),$$

$$D_{W_p}^E(\varphi, \psi) = \lim_{\ell \rightarrow \infty} D_{S_p}^{\rho E}(\varphi, \psi).$$

Також розглянемо дві мільноти множини (вимірної і необмеженої, яка лежить на осі ОХ):

$$\delta_S^{\rho E} E = D_{S_p}^{\rho E}(1, 0); \quad \delta_W^{\rho E} E = \lim_{\ell \rightarrow \infty} \delta_S^{\rho E} E.$$

Будемо скорочено позначати тригонометричний поліном загального вигляду $\sum a_n e^{inx}$ через $S_m(x)$.

Відзначимо ряд означення і властивостей узагальнених майхе періодичних функцій і функцій, які означені на всій дійсній осі ОХ.

Означення 1. $f(x) \in (S_p)$ майже періодична (м. п.), якщо для будь-яких чисел $\varepsilon > 0$ і $\ell > 0$ можна знайти такий поліном $S_n(x)$, що $D_{S_p}^{\ell E}(f, S_n) < \varepsilon$ для будь-якої множини E .

Означення 2. $f(x) \in (W_p)$ м.п., якщо для будь-якого $\varepsilon > 0$ можна знайти такий поліном $S_n(x)$, що $D_{W_p}^E(f, S_n) < \varepsilon$ для будь-якої множини E .

Означення 3. $f(x) \in (\{S_p\}_{W_p})$ рівномірно сумована (р.с.), якщо для будь-якого $\varepsilon > 0$ можна знайти таке число $\delta = \delta(\varepsilon) > 0$, що

$$\begin{cases} D_{S_p}^{\ell E}(f, 0) < \varepsilon, & \text{якщо } \delta_s^{\ell E} < \delta, \\ D_{W_p}^E(f, 0) < \varepsilon, & \text{якщо } \delta_w^E < \delta, \end{cases}$$

Означення 4. $f(x) \in (\tilde{S}_{\tilde{W}})$ майже періодична ($\tilde{S}_{\tilde{W}}$ м.п.), якщо для будь-якого додатного $\ell > \varepsilon > 0$ можна знайти такий поліном $S_n(x)$, що $|f(x) - S_n(x)| < \varepsilon$, за винятком хіба такої множини E , що

$$\begin{cases} \delta_s^{\ell E} < \varepsilon, \\ \delta_w^{\ell E} < \varepsilon, \end{cases}$$

Властивість 1. $(S_p \text{ м.п.}) \subset (W_p \text{ м.п.})$.

Властивість 2. $[(\tilde{S}_{\tilde{W}}) \cap (S_p \text{ р.с.})]$ е клас, який збігається з класом $(S_p \text{ м.п.})$.

Властивість 3. $\{ \text{Клас } (\tilde{S}_{\tilde{W}}) \cap (W_p \text{ м.п.}) \} \subset \{ \text{Клас } W_p \text{ м.п.} \}$.

Основна теорема. Класи $[(\tilde{S}_{\tilde{W}}) \cap (S_p \text{ р.с.})]$ і клас $[(\tilde{S}_{\tilde{W}}) \cap (W_p \text{ м.п.})]$ тотожні.

Вказівка. Доведення даного твердження ґрунтуються на такому співвідношенні:

$$\left(\frac{\ell_1}{\ell_2}\right)^{\frac{1}{p}} D_{S_p}^{\ell_1 E}(\varphi, \psi) \leq D_{S_p}^{\ell_2 E}(\varphi, \psi), \quad \text{якщо } (\ell_1 < \ell_2).$$

А.А.ГОЛЬДБЕРГ, М.М.ШЕРЕМЕТА

ПРО НЕРУХОМІ ТОЧКИ ЦІЛИХ ФУНКІЙ

Нехай $f(z)$ — ціла функція. Корені рівняння $f(z) = z$ називаються нерухомими точками функції $f(z)$. Нерухома точка a функції $f(z)$ називається відштовхуючою, індиферентною або притягуючою, якщо відповідно виконується $|f'(a)| > 1$, $|f'(a)| = 1$ або $|f'(a)| < 1$.

В роботі [1] доведено, якщо ріст цілої функції $f(z)$ не перевищує мінімального типу порядку $\frac{1}{2}$, то $f(z)$ має нескінченну кількість відштовхуючих або індиферентних точок. В [1] побудовано також приклад, який показує, що для цілих функцій нормального типу порядку $\frac{1}{2}$ це твердження не виконується: всі нерухомі точки можуть бути притягуючими.

Нижче ми побудуємо приклади цілих функцій порядку $\rho > \frac{1}{2}$, в яких число відштовхуючих та індиферентних точок скінченне. Ми будемо користуватись функцією Міттаг-Леффлера (див., наприклад, [2])

$$E_\rho(z) = \sum_{k=0}^{\infty} \frac{z^k}{F(1+\frac{k}{\rho})}, \quad \frac{1}{2} < \rho < \infty,$$

яка є цілою функцією порядку ρ . Як відомо ([2], стор. 134), для функції $E_\rho(z)$ при $\rho > \frac{1}{2}$ мають місце такі асимптотичні співвідношення:

$$E_\rho(z) = \begin{cases} \rho e^{z^\rho} - \sum_{k=1}^{\lambda} \frac{z^{-k}}{\Gamma(1-\frac{k}{\rho})} + O(|z|^{-\lambda-\rho}), & \text{якщо } |\arg z| \leq \alpha; \\ - \sum_{k=1}^{\lambda} \frac{z^{-k}}{\Gamma(1-\frac{k}{\rho})} + O(|z|^{-\lambda-\rho}), & \text{якщо } \alpha \leq |\arg z| \leq \pi, \end{cases} \quad (1)$$

де λ — довільне дійсне число, яке задовільняє умову

$$\frac{\pi}{2\rho} < \alpha < \min\left(\pi, \frac{\pi}{\rho}\right). \quad (2)$$

Відомо також ([2], стор. 142), що для нулів α_k функції $E_\rho(z)$ при $\frac{1}{2} < \rho < \infty$, $\rho \neq 1$ справджується

$$\alpha_k = |\alpha_k| \exp\left(\pm i \left\{\frac{\pi}{2\rho} + O(1)\right\}\right), \quad (3)$$

де $|\alpha_k| \rightarrow \infty$ при $k \rightarrow \infty$. Використовуючи формулу Коши для похідних аналітических функцій, легко довести, що асимптотичну формулу (1) можна диференціювати, причому

$$E_\rho(z) = \begin{cases} P(z)e^{z^\rho} - (-1)^{\frac{1}{\rho}} \frac{\sqrt[1/\rho]{1}}{z^{1/\rho} \Gamma(1-\frac{1}{\rho})} + O\left(\frac{1}{|z|^{1/\rho+2}}\right), & \text{якщо } |\arg z| \leq \alpha; \\ -(-1)^{\frac{1}{\rho}} \frac{\sqrt[1/\rho]{1}}{z^{1/\rho} \Gamma(1-\frac{1}{\rho})} + O\left(\frac{1}{|z|^{1/\rho+2}}\right), & \text{якщо } \alpha \leq |\arg z| \leq \pi, \end{cases} \quad (4)$$

де $\nu = 1, 2, 3, \dots$, $P(z)$ - функція виду $P(z) = b_0 z^{\mu_0} + \dots + b_m z^{\mu_m}$, $\mu_0 < \mu_1 < \dots < \mu_m$, а α задовільняє умову (2). Легко показати (порівн. [2], стор. 143), що нулі функції $E_\rho^{(\nu)}(z)$ мають асимптотику (3).

Перейдемо тепер до наших прикладів. Ми будемо розрізнати три випадки: 1) $\frac{1}{2} < \rho < 1$, 2) $1 < \rho < 2$, 3) $2 \leq \rho < \infty$. Для випадків $\rho = 1$ і $\rho = \infty$ прикладами можуть служити функції $z + e^z$ та $z + e^{e^z}$, які взагалі не мають нерухомих точок.

1⁰. Перший випадок. Розглянемо функцію $\varphi(z) = z - E_\rho(z)$, $\frac{1}{2} < \rho < 1$. Нерухомі точки функції $\varphi(z)$ будуть нулями функції $E_\rho'(z)$ і матимуть асимптотику (3). Далі $\varphi'(z) = 1 - E_\rho'(z)$, і, використовуючи (1), маємо

$$\rho e^{\alpha_k^\rho} = \frac{i}{\alpha_k \Gamma(1-\frac{1}{\rho})} + O\left(\frac{1}{|\alpha_k|^2}\right),$$

звідки

$$\begin{aligned}\varphi'(\alpha_k) &= 1 - \rho e^{\alpha_k^\rho} \rho \alpha_k^{\rho-1} + O\left(\frac{1}{|\alpha_k|^2}\right) = \\ &= 1 - \frac{\rho \alpha_k^{\rho-2}}{\Gamma(1-\frac{1}{\rho})} + O\left(\frac{1}{|\alpha_k|^2}\right) = 1 - \frac{\delta_k}{\Gamma(1-\frac{1}{\rho})},\end{aligned}\quad (5)$$

де, внаслідок (3),

$$\delta_k = (1+o(1)) |\alpha_k|^{p-2} \exp(\pm i \{\pi(\frac{1}{p}-\frac{1}{2})+o(1)\}).$$

Враховуючи, що $\frac{1}{2} < p < 1$, а отже $\Gamma(1-\frac{1}{p}) < 0$, стає очевидним, що $\delta_k \rightarrow 0$ при $k \rightarrow \infty$, і всі точки $-\delta_k / \Gamma(1-\frac{1}{p})$, за винятком найбільш скінченного числа, лежать в кругі $|z+1| < 1$, і для всіх k , починаючи з деякого, виконується

$$|\varphi'(\alpha_k)| < 1, \quad (6)$$

тобто функція $\varphi(z)$ може мати хіба що скінченну кількість відтovхувчих та індиферентних точок.

З ауваження. Можна показати, що наша функція має скінченнє додатне число відтovхувчих точок принаймні при ρ , досить близьких до $\frac{1}{2}$.

2⁰. Другий випадок. У цьому випадку розглядаємо ту ж саму функцію, що і в першому випадку, але при $1 < \rho < 2$, і аналогічно одержуємо (5), де $\delta_k \rightarrow 0$ при $k \rightarrow \infty$. В цьому випадку $\Gamma(1-\frac{1}{\rho}) > 0$ і для всіх k , починаючи з деякого, виконується нерівність (6).

3⁰. Третій випадок. Якщо $\rho \geq 2$, то ми розглянемо функцію $\varphi(z) = z + E_\rho^{(\nu-2)}(z)$, де ν - деяке непарне число таке, що $\rho < \nu < 2\rho$ (таке число існує, бо $\rho \geq 2$). Нерухомими точками функції $\varphi(z)$ будуть нулі функції $E_\rho^{(\nu-2)}(z)$, і ці нерухомі точки матимуть асимптотику (3). Далі

$$\begin{aligned}
\varphi'(\alpha_k) &= 1 + P(\alpha_k) e^{\alpha_k^\rho} \left(\frac{P'(\alpha_k)}{P(\alpha_k)} + \rho \alpha_k^{\rho-1} \right) - (-1)^{k-1} \frac{(\nu-1)!}{\alpha_k^{\nu} \Gamma(1-\frac{1}{\rho})} + O\left(\frac{1}{|\alpha_k|^{\nu+1}}\right) = \\
&= 1 + (-1)^{\nu-2} \frac{(\nu-2)!}{\alpha_k^{\nu-1} \Gamma(1-\frac{1}{\rho})} \left\{ O\left(\frac{1}{|\alpha_k|}\right) + \rho \alpha_k^{\rho-1} \right\} + O\left(\frac{1}{|\alpha_k|^{\nu}}\right) = \\
&= 1 - \frac{\rho(1+o(1))(\nu-2)!}{\Gamma(1-\frac{1}{\rho}) \alpha_k^{\nu-\rho}} = 1 - \gamma'_k \exp\left(\pm i\left\{(\nu-\rho)\frac{\pi}{2\rho} + o(1)\right\}\right),
\end{aligned}$$

де $\gamma'_k = \frac{\rho(1+o(1))(\nu-2)!}{\Gamma(1-\frac{1}{\rho}) |\alpha_k|^{\nu-\rho}} > 0$, бо $\Gamma(1-\frac{1}{\rho}) > 0$ при $\rho \geq 2$

і $\gamma'_k \rightarrow 0$ при $k \rightarrow \infty$. Тому що при $\rho < \nu < 2\rho$ виконується $0 < (\nu-\rho)\frac{\pi}{2\rho} + o(1) < \frac{\pi}{2}$, починаючи з деякого k_0 , то величина $\gamma'_k \exp\left(\pm i\left\{(\nu-\rho)\frac{\pi}{2\rho} + o(1)\right\}\right)$ при $k \geq k_0$ лежить в $|z-1| < 1$,

звідки одержуємо (6). Значить, $\varphi(z)$ не може мати більше, ніж скінчу-
ну кількість відштовхуючих та індиферентних точок.

Зauważимо, що при нецілому ρ , $\frac{1}{2} < \rho < \infty$, ми не спроможні
вказати цілу функцію порядку ρ , яка мала б лише притягуючі точки.

Література

1. J. E. Whittington. On the fixpoints of entire functions. Proc. London Math. Soc., vol. 17, 1967, 530-546.
2. М. М. Д ж р ба ш я н. Интегральные преобразования и представ-
ления функций в комплексной плоскости. "Наука", М., 1966.

І.Д.КВІТ

УТОЧНЕННЯ ЗВОРОТНОЇ ФОРМУЛІ
ДЛЯ ХАРАКТЕРИСТИЧНОЇ ФУНКІЇ ВИПАДКОВОГО ВЕКТОРА

I. Вступ. Розглянемо n -вимірний евклідів простір точок (x_1, \dots, x_n) , $(-\infty < x_k < +\infty; k=1, 2, \dots, n; n=1, 2, \dots)$. Декартів добуток n інтервалів вигляду $(a_k, b_k] = \{a_k < x_k \leq b_k\}$, $(-\infty < a_k < b_k \leq +\infty; k=1, 2, \dots, n)$ назовемо n -вимірним інтервалом і позначимо його через \mathcal{J}_n :

$$\mathcal{J}_n = (a_1, \dots, a_n; b_1, \dots, b_n] = \{a_k < x_k \leq b_k; k=1, 2, \dots, n\}. \quad (1)$$

Нехай система n випадкових змінних $\xi = (\xi_1, \dots, \xi_n)$ приймає значення з нашого евклідового простору. Тоді її називаємо n -вимірною випадковою змінною або n -вимірним випадковим вектором. Функція розподілу n -вимірної випадкової змінної $\xi = (\xi_1, \dots, \xi_n)$

$$F(x_1, \dots, x_n) = P\{\xi_1 \leq x_1, \dots, \xi_n \leq x_n\} \quad (2)$$

1⁰. n -вимірно неспадна, це означає, для довільного n -вимірного інтервалу (1) невід'ємно відхилення

$$F(b_1, \dots, b_n) - \sum_{i=1}^n F(b_1, \dots, b_{i-1}, a_i, b_{i+1}, \dots, b_n) + \sum_{1 \leq i < j \leq n} F(b_1, \dots, b_{i-1}, a_i, b_{i+1}, \dots, b_{j-1}, a_j, b_{j+1}, b_j) \\ - \dots + (-1)^n F(a_1, \dots, a_n) = \int_{a_1}^{b_1} \dots \int_{a_n}^{b_n} dF(x_1, \dots, x_n) = P\{(\xi_1, \dots, \xi_n) \in \mathcal{J}_n\};$$

2⁰. n -вимірно правобічно неперервна, тобто для довільних незростаючих послідовностей $x_k^{(1)} \geq x_k^{(2)} \geq \dots$, збіжних до x_k , ($k=1, 2, \dots, n$),

$$\lim_{j \rightarrow \infty} F(x_1^{(j)}, \dots, x_n^{(j)}) = F(x_1, \dots, x_n);$$

3⁰. для кожного k , ($k=1, 2, \dots, n$), при довільних x_1, \dots, x_{k-1} , x_{k+1}, \dots, x_n , задовільняє співвідношення

$\lim_{x_k \rightarrow -\infty} \mathcal{F}(x_1, \dots, x_n) = 0$,
 та для довільних неспадних послідовностей $x_k^{(1)} < x_k^{(2)} < \dots$, збіжних до безмежності ($k = 1, 2, \dots, n$), задовільняє співвідношення

$$\lim_{j \rightarrow \infty} \mathcal{F}(x_1^{(j)}, \dots, x_n^{(j)}) = 1.$$

Характеристичною функцією $f(s_1, \dots, s_n)$ n -вимірної випадкової змінної $\xi = (\xi_1, \dots, \xi_n)$, з функцією розподілу (2), називається інтегральне перетворення Фур'є-Стільт'єса вигляду

$$f(s_1, \dots, s_n) = \int_{-\infty}^{\infty} \dots \int_{-\infty}^{\infty} e^{i(s_1 x_1 + \dots + s_n x_n)} d\mathcal{F}(x_1, \dots, x_n), \quad (3)$$

$$(i = \sqrt{-1}; -\infty < s_1, \dots, s_n < \infty),$$

де інтеграл (3) розуміємо в сенсі Радона-Стільт'єса.

У теорії ймовірностей використовують зворотну формулу, відповідну (3), для довільного "інтервалу з неперервністю на границях" (див., наприклад, [1], стор. 235 та [2], стор. 229). Уточнимо зворотну формулу, відповідну (3), на всі значення $\mathcal{F}(x_1, \dots, x_n)$ і розглянемо наслідки з цього.

2. Обмежник. З математичного аналізу відомо, що

$$\int_0^\infty \frac{\sin \alpha x}{x} dx = \frac{\pi}{2} \operatorname{sgn} \alpha, \quad (4)$$

де

$$\operatorname{sgn} \alpha = \begin{cases} -1, & \alpha < 0, \\ 0, & \alpha = 0, \\ +1, & \alpha > 0. \end{cases} \quad (5)$$

З (4) випливає, що

$$\text{V.P.} \int_{-\infty}^{\infty} \frac{e^{i\alpha x}}{\pi i x} dx = \operatorname{sgn} \alpha, \quad (6)$$

де (V.P.) = *valor principalis* = головне значення (Коши), тобто

$$(V.P) \int_{-\infty}^{\infty} = \lim_{c \rightarrow \infty} \int_{-c}^c, \quad c > 0.$$

Справді,

$$\begin{aligned} \lim_{c \rightarrow \infty} \int_{-c}^c \frac{e^{ix}}{\pi i x} dx &= \lim_{c \rightarrow \infty} \left\{ \int_{-c}^0 + \int_0^c \right\} = \lim_{c \rightarrow \infty} \int_0^c \frac{e^{ix} - e^{-ix}}{\pi i x} dx = \\ &= \frac{2}{\pi} \int_0^{\infty} \frac{\sin x}{x} dx = \operatorname{sgn} x. \end{aligned}$$

Відмітимо, що (5), а значить і (6), в околі ненульових значень аргумента приймає єдине значення, а в околі нуля - три значення. Значення (6), при нульовій вартості аргумента, нам надалі ніколи не буде потрібне. Треба буде тільки або значення справа від нуля, або зліва від нуля. Тому замість (6) символічно писатимемо:

або $(V.P) \int_{-\infty}^{\infty} \frac{e^{i(\alpha+0)x}}{\pi i x} dx = \operatorname{sgn}(\alpha+0) = \begin{cases} -1, \alpha < 0, \\ +1, \alpha \geq 0, \end{cases} \quad (6')$

або $(V.P) \int_{-\infty}^{\infty} \frac{e^{i(\alpha-0)x}}{\pi i x} dx = \operatorname{sgn}(\alpha-0) = \begin{cases} -1, \alpha \leq 0, \\ +1, \alpha > 0. \end{cases} \quad (6'')$

Функція (6') - неперервна справа; функція (6'') - неперервна зліва.

Означення I. Обмежником називаємо довільну функцію, яка на інтервалі $(\alpha, \beta]$ рівна одиниці, а зовні цього інтервалу рівна нулю.

У наступному пункті зустрінеться обмежник

$$J = \frac{\operatorname{sgn}(x-\alpha-0) - \operatorname{sgn}(x-\beta-0)}{2}. \quad (7)$$

Означення 2. n -вимірним обмежником називаємо довільну функцію, яка на n -вимірному інтервалі (I) рівна одиниці, а зовні цього інтервалу рівна нулю.

У наступному пункті зустрічеться n -вимірний обмежник

$$J = \prod_{k=1}^n \frac{\operatorname{sgn}(x_k - a_k - 0) - \operatorname{sgn}(x_k - b_k - 0)}{2}. \quad (8)$$

Означення 3. Точковим обмежником називаємо довільну функцію, яка в одному пункті C рівна одиниці, а зовні цього пункту рівна нулю.

У дальшому пункті зустрічеться точковий обмежник

$$R = \frac{\operatorname{sgn}(x - c + 0) - \operatorname{sgn}(x - c - 0)}{2}. \quad (9)$$

Зворотна формула. А. Нехай випадкова змінна ξ має функцію розподілу $F(x)$ та характеристичну функцію $f(s)$. Тоді припустимо, що розподіл на інтервалі $(a, b]$, де $-\infty < a < b \leq \infty$, рівний головному значенню інтеграла від добутку характеристичної функції на ядро

$$N(s, a, b) = \frac{e^{-is(a+0)} - e^{-is(b+0)}}{2\pi i s}, \quad (10)$$

тобто,

$$F(b) - F(a) = (\text{V.P.}) \int_{-\infty}^{\infty} \frac{e^{-is(a+0)} - e^{-is(b+0)}}{2\pi i s} f(s) ds, \quad (-\infty < a < b < \infty). \quad (11)$$

Доведення. Коли врахувати означення (3), при $n = 1$, то правий бік (11) можна записати у формі подвійного інтеграла

$$\lim_{c \rightarrow \infty} \int_{-c}^c \frac{e^{-is(a+0)} - e^{-is(b+0)}}{2\pi i s} \int_{-\infty}^{\infty} e^{isx} dF(x) ds. \quad (12)$$

Оскільки в (12) інтеграл відносно x абсолютно збігається, а відносно s межі інтеграла обмежені, то змінююмо черговість інтегрування. Одержано

$$\lim_{c \rightarrow \infty} \int_{-\infty}^{\infty} \left\{ \int_{-c}^c \frac{e^{-is(a-x+o)} - e^{-is(b-x+o)}}{2\pi i s} ds \right\} dF(x). \quad (13)$$

Зважаючи на існування інтеграла (6), можемо (13) записати у вигляді

$$\begin{aligned} & \int_{-\infty}^{\infty} \left\{ (V.P.) \int_{-\infty}^{\infty} \frac{e^{-is(a-x+o)} - e^{-is(b-x+o)}}{2\pi i s} ds \right\} dF(x) = \\ & = \int_{-\infty}^{\infty} \frac{\operatorname{sgn}(x-a-o) - \operatorname{sgn}(x-b-o)}{2} dF(x). \end{aligned}$$

В останньому інтегралі інтегрованою функцією є обмежник (7); отже, цей інтеграл рівний

$$\int_a^b dF(x) = F(b) - F(a).$$

Зворотна формула (11) — виведена.

Б. Нехай тепер випадковий вектор $\xi = (\xi_1, \dots, \xi_n)$ має функцію розподілу $F(x_1, \dots, x_n)$ та характеристичну функцію $f(s_1, \dots, s_n)$. Тоді приріст функції розподілу на інтервалі $J_n = [a_1, \dots, a_n; b_1, \dots, b_n]$, де $-\infty \leq a_k < b_k \leq \infty$ ($k=1, 2, \dots, n$), рівний головному значенню інтеграла від добутку характеристичної функції на ядро

$$N(s_1, \dots, s_n; a_1, \dots, a_n; b_1, \dots, b_n) = \prod_{k=1}^n \frac{e^{-is_k(a_k+o)} - e^{-is_k(b_k+o)}}{2\pi i s_k},$$

тобто

$$P\{\xi \in J_n\} = (V.P.) \int_{-\infty}^{\infty} \int_{-\infty}^{\infty} \cdots \int_{-\infty}^{\infty} \prod_{k=1}^n \frac{e^{-is_k(a_k+o)} - e^{-is_k(b_k+o)}}{2\pi i s_k} f(s_1, \dots, s_n) ds_n \cdots ds_1. \quad (14)$$

n — кратний інтеграл справа в (14) розуміємо в сенсі головного значення Коши, тобто $(V.P.) \int_{-\infty}^{\infty} (n) \int_{-\infty}^{\infty} \cdots \int_{-\infty}^{\infty} = \lim_{c \rightarrow \infty} \int_{-c}^c (n) \int_{-c}^c \cdots \int_{-c}^c$, $c > 0$.

Доведення. Коли врахувати означення (3), то правий бік (14) можна записати у формі $2n$ -кратного інтеграла

$$\lim_{c \rightarrow \infty} \int_{-c}^c \int_{-\infty}^{\infty} \prod_{k=1}^n \frac{e^{-is_k(a_k+0)} - e^{-is_k(b_k+0)}}{2\pi i s_k} \int_{-\infty}^{\infty} \int_{-\infty}^{\infty} e^{i(s_1 x_1 + \dots + s_n x_n)} dF(x_1, \dots, x_n) ds_n \dots ds_1. \quad (15)$$

Оскільки в (15) інтеграли відносно x -ів абсолютно збігаються, а відносно s -ів межі інтегралів обмежені, то змінами черговість інтегрування. Одержано

$$\lim_{c \rightarrow \infty} \int_{-\infty}^{\infty} \int_{-\infty}^{\infty} \left\{ \prod_{k=1}^n \int_{-c}^c \frac{e^{-is_k(a_k-x_k+0)} - e^{-is_k(b_k-x_k+0)}}{2\pi i s_k} ds_k \right\} dF(x_1, \dots, x_n). \quad (16)$$

Зважаючи на існування інтеграла (6), можемо (16) записати у вигляді

$$\begin{aligned} & \int_{-\infty}^{\infty} \int_{-\infty}^{\infty} \left\{ \prod_{k=1}^n (V.P.) \int_{-\infty}^{\infty} \frac{e^{-is_k(a_k-x_k+0)} - e^{-is_k(b_k-x_k+0)}}{2\pi i s_k} ds_k \right\} dF(x_1, \dots, x_n) = \\ & = \int_{-\infty}^{\infty} \int_{-\infty}^{\infty} \left\{ \prod_{k=1}^n \frac{\operatorname{sgn}(x_k-a_k-0) - \operatorname{sgn}(x_k-b_k-0)}{2} \right\} dF(x_1, \dots, x_n). \end{aligned}$$

В останньому інтегралі інтегрованою функцією є n -вимірний обмежник (8); отже, останній інтеграл рівний

$$\int_{a_1}^{b_1} \dots \int_{a_n}^{b_n} dF(x_1, \dots, x_n),$$

т. з огляду на вираз 1^o п. 1, одержано лівий бік (14). Обернена формула (14) – доведена.

4. Наслідки. Безпосереднім наслідком зворотної формулі (14) є **n -вимірна теорема єдності.** Характеристична функція (3) однозначно визначає свою функцію розподілу $F(x_1, \dots, x_n)$, причому

$$\mathcal{F}(x_1, \dots, x_n) = \lim_{\sup a_k \rightarrow -\infty} (V.P.) \int_{-\infty}^{\infty} \int_{-\infty}^{\infty} \prod_{k=1}^n \frac{e^{-is_k(a_k+0)} - e^{-is_k(x_k+0)}}{2\pi i s_k} f(s_1, \dots, s_n) ds_n \dots ds_1 \quad (17)$$

Для доведення (17) досить у зворотній формулі (14) замість b_k прийняти x_k та спрямувати a_k у мінус безмежність для всіх $k = 1, 2, \dots, n$.

Формули (3) і (17) вказують на те, що відповідність між функцією розподілу $\mathcal{F}(x_1, \dots, x_n)$ та характеристичною функцією $f(s_1, \dots, s_n)$ випадкового вектора $\xi = (\xi_1, \dots, \xi_n)$ взаємно однозначна.

Першим безпосереднім наслідком зворотної формули (11) є

Одномерна теорема єдиності. Характеристична функція $f(s)$ однозначно визначує свою функцію розподілу $\mathcal{F}(x)$, причому

$$\mathcal{F}(x) = \lim_{a \rightarrow -\infty} (V.P.) \int_{-\infty}^{\infty} \frac{e^{-is(a+0)} - e^{-is(x+0)}}{2\pi i s} f(s) ds. \quad (18)$$

Для доведення (18) досить у зворотній формулі (11) замість b прийняти x та спрямувати a в мінус безмежність, або в (17) прийняти $n = 1$.

Другим безпосереднім наслідком зворотної формули (11) є

Теорема про величину стрибка функції розподілу в точці. Нехай випадкова змінна ξ має функцію розподілу $\mathcal{F}(x)$ та характеристичну функцію $f(s)$. Тоді стрибок функції розподілу в точці C рівний

$$\mathcal{F}(C+0) - \mathcal{F}(C-0) = (V.P.) \int_{-\infty}^{\infty} \frac{e^{-is(C-0)} - e^{-is(C+0)}}{2\pi i s} f(s) ds. \quad (19)$$

Для доведення (19) досить у зворотній формулі (11) замість b прийняти $C+0$, замість a — $C-0$ і повторити доведення (11). При доведенні замість обмежника (?) зустріється точковий обмежник (9). Правий бік (19) зводиться до

$$\int_{-\infty}^{\infty} \frac{\operatorname{sgn}(x-c+0) - \operatorname{sgn}(x-c-0)}{2} d\mathcal{F}(x) = \int_{x=c} d\mathcal{F}(x) = \mathcal{F}(c+0) - \mathcal{F}(c-0).$$

Зауважимо, що коли функція розподілу $\mathcal{F}(x)$ неперервна в точці c , то інтеграл справа в (19) обертається в нуль.

Приклад 1. Дано характеристичну функцію $f(s) = e^{ics}$. Знайти величину стрибка відповідної функції розподілу в точці $x = c$.

За формулами (19) і (6) одержуємо

$$\mathcal{F}(c+0) - \mathcal{F}(c-0) = (V.P.) \int_{-\infty}^{\infty} \frac{e^{is(+0)} - e^{is(-0)}}{2\pi i s} ds = \frac{\operatorname{sgn}(+0) - \operatorname{sgn}(-0)}{2} = 1.$$

2) Дано характеристичну функцію

$$f(s) = \sum_{k=1}^{\infty} pq^{k-1} e^{iks}.$$

Знайти значення та величину стрибка відповідної функції розподілу в точці $x = 4$ та показати, що функція розподілу неперервна в точці $x = 4$.

За формулами (18) і (6), значення функції розподілу в точці $x = 4$ рівне

$$\begin{aligned} \mathcal{F}(4) &= \sum_{k=1}^{\infty} pq^{k-1} \lim_{\alpha \rightarrow -\infty} (V.P.) \int_{-\infty}^{\infty} \frac{e^{is(k-4-\alpha-0)} - e^{is(k-4-\alpha-0)}}{2\pi i s} ds = \\ &= \sum_{k=1}^{\infty} pq^{k-1} \cdot \frac{1 - \operatorname{sgn}(k-4-0)}{2} = p(1+q+q^2+q^3). \end{aligned}$$

За формулами (19) і (6), величина стрибка функції розподілу в точці $x = 4$ рівна

$$\mathcal{F}(4+0) - \mathcal{F}(4-0) = \sum_{k=1}^{\infty} pq^{k-1} (V.P.) \int_{-\infty}^{\infty} \frac{e^{is(k-4+0)} - e^{is(k-4-0)}}{2\pi i s} ds =$$

$$= \sum_{K=1}^{\infty} pq^{K-1} \cdot \frac{sgn(K-4+0) - sgn(K-4-0)}{2} = pq^3.$$

Величина стрибка функції розподілу в точці $x = \pi$ рівна

$$\mathcal{F}(\pi+0) - \mathcal{F}(\pi-0) = \sum_{K=1}^{\infty} pq^{K-1} \cdot \frac{sgn(K-\pi+0) - sgn(K-\pi-0)}{2} = 0.$$

Отже, $\mathcal{F}(x)$ - неперервна в точці $x = \pi$.

3) Дано характеристичну функцію

$$f(s_1, s_2) = e^{\lambda_1(e^{is_1-1}) + \lambda_2(e^{2is_2-1})} = \\ = \sum_{K_1=0}^{\infty} \sum_{K_2=0}^{\infty} e^{-\lambda_1 - \lambda_2} \frac{\lambda_1^{K_1}}{K_1!} \frac{\lambda_2^{K_2}}{K_2!} e^{is_1 K_1} e^{2is_2 K_2}, \quad (\lambda_1 > 0, \lambda_2 > 0).$$

Знайти значення відповідної функції розподілу в точці $(2,3)$.

За формулой (17), значення функції розподілу в точці $(x_1, x_2) = (2,3)$ рівне

$$\mathcal{F}(2,3) = \sum_{K_1=0}^{\infty} \sum_{K_2=0}^{\infty} e^{-\lambda_1 - \lambda_2} \frac{\lambda_1^{K_1}}{K_1!} \frac{\lambda_2^{K_2}}{K_2!} \times \\ \times \lim_{\alpha_1 \rightarrow -\infty} \int \int \frac{e^{is_1(K_1-\alpha_1-0)} - e^{is_1(K_1-2-0)}}{2\pi i s_1} \cdot \frac{e^{is_2(2K_2-\alpha_2-0)} - e^{is_2(2K_2-3-0)}}{2\pi i s_2} ds_2 ds_1.$$

З огляду на (6) одержуємо:

$$\mathcal{F}(2,3) = \sum_{K_1=0}^{\infty} \sum_{K_2=0}^{\infty} e^{-\lambda_1 - \lambda_2} \frac{\lambda_1^{K_1}}{K_1!} \frac{\lambda_2^{K_2}}{K_2!} \cdot \frac{1 - sgn(K_1-2-0)}{2} \cdot \frac{1 - sgn(2K_2-3-0)}{2}.$$

Тільки при $K_1 = 0, 1, 2$ та $K_2 = 0, 1$ останні два множники подвійної суми рівні одиниці; при дальших K_1 та K_2 вони рівні нулю. Отже,

$$F(\beta, \beta) = e^{-\beta_1 - \beta_2} \left(1 + \beta_1 + \frac{\beta_1}{2}\right) \left(1 + \beta_2\right).$$

Це є інше значення функції розподілу в точці $(2, 3)$. Легко зауважити, що, взагалі, для точок (x_1, x_2) , $x_1 \geq 0$, $x_2 \geq 0$, одержимо

$$F(x_1, x_2) = e^{-\beta_1 - \beta_2} \sum_{K_1=0}^{[x_1]} \frac{\beta_1^{K_1}}{K_1!} \sum_{K_2=0}^{[x_2]} \frac{\beta_2^{K_2}}{K_2!},$$

де $[x]$ — ціла частина в числа x . Коли ж хоча б одна з x_1 , x_2 недріжимо, то $F(x_1, x_2) = 0$.

Література

1. Б. В. Гнеденко. Елементы теории функций распределения случайных векторов. Успехи мат. наук, вып. 10, 1944.
2. Б. В. Гнеденко. Курс теории вероятностей. "Наука", 1965.

—0—

УДК 517.9:539.2

Б.М.КОРДУБА, Т.Л.МАРТИНОВИЧ

ЗАДАЧА ДІРІХЛЕ ДЛЯ ПЛОЩИНІ З ЩІЛИНАМИ

§ 1. Постановка задачі. Розглянемо площину Oxy , в якій розміщено m прямолінійних щілин L_1, L_2, \dots, L_m , довільних, але скінчених довжин $\ell_1, \ell_2, \dots, \ell_m$. Нехай ці щілини розміщені паралельно одній з осей координат, наприклад осі Oy (рис. I). Необхідно знайти функцію $u(x, y)$, що задоволяє в площині Oxy рівняння Лапласа

$$\Delta u = 0, \quad (1)$$

а на щілинах L_1, L_2, \dots, L_m вітгається з заданими на них функціями

$$u|_{L_i} = \varphi_i(y) \quad (i=1,2,\dots,m). \quad (2)$$

Сформульована задача (1)-(2) є зовнішня задача Діріхле для рівняння Лапласа в необмеженій області.

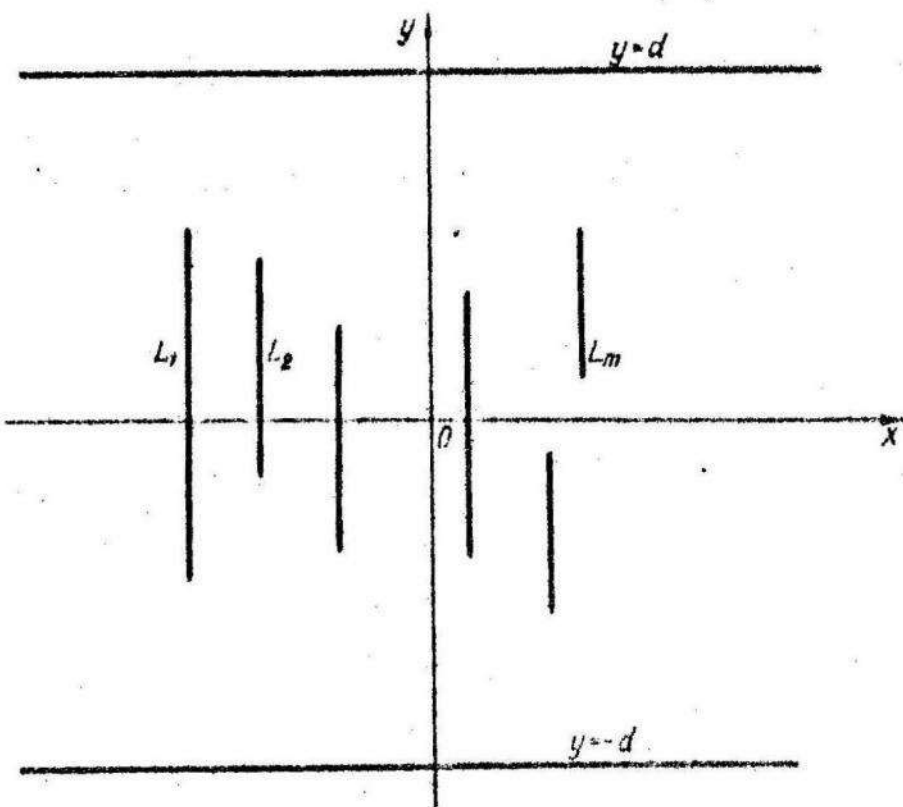


Рис. 1.

В прикладеної точки зору найбільший інтерес становить розв'язок поставленої задачі не в усій площині Oxy , а в тій її частині, де зосереджені щілини. Будемо розглядати розв'язок задачі тільки в такій частині площини.

Для цього замінимо розв'язок задачі (1)-(2) для необмеженої обла-

сті розв'язком такої ж задачі для смуги. Виберемо початок системи координат приблизно в центрі системи щілин. По обидві сторони від осі Ox на деякій віддалі d від неї проведемо паралельні їй прямі. Задачі (1)-(2) будемо розглядати в цій смузі.

В зв'язку з тим, що розв'язок задачі (1)-(2) в функція гармонічна в усій площині Oxy , має місце нерівність

$$\min_{1 \leq i \leq m} \Psi_i(y) \leq U(x, \pm d) \leq \max_{1 \leq i \leq m} \Psi_i(y). \quad (3)$$

Щоб з достатньою точністю одержати розв'язок вихідної задачі (1)-(2) в частині області, що нас цікавить, необхідно вяснити:

1) вплив віддалі d ;

2) вплив граничних умов, що будуть задаватися на прямих $y = \pm d$.

Найпростіше на прямих $y = \pm d$ задавати не функцію, а постійну

$$U(x, \pm d) = \alpha. \quad (4)$$

Відправляючись від деякого фіксованого d , збільшуючи і зменшуючи його, а також змінюючи величину α в границях (3), розв'язуємо задачу (1), (2), (4) для різних смуг і різних граничних умов на них. При цьому можна вибрати таке d , що дальше збільшення його, а також зміна величини α не впливають з необхідною точністю на значення шуканої функції в тій частині площини, де зосереджені щілини.

§ 2. Розв'язок задачі методом прямих. Розв'язок задачі (1), (2), (4) замінимо розв'язком еквівалентної їй задачі: знайти функцію $U(x, y)$, що задовольняє всередині смуги, включаючи її щілини L_1, L_2, \dots, L_m , рівняння Пуассона

$$\Delta U = -q(x, y), \quad (5)$$

де $q(x, y) = 0$ всюди в полісі $\{-\infty < x < \infty, -d \leq y \leq d\}$, крім щілин, а на щілинах $q(x, y) \neq 0$ і визначається із умов

$$U(x, y) \Big|_{L_i} = u(x, y) \Big|_{L_i} = \varphi_i(y) \quad (i = 1, 2, \dots, m). \quad (6)$$

Крім цього, шукана функція $U(x, y)$ повинна задовільняти умови на граничі полоси

$$U(x, -d) = U(x, d) = u(x, -d) = u(x, d) = \alpha. \quad (7)$$

При знайдених $q(x, y)$ на щіливах із умов (6) розв'язки задач (1), (2), (4) і (5), (7) будуть тотожними всередині розглядуваної смуги. Задача (5), (7) є задача Діріхле для рівняння Пуассона всередині однозв'язної області, що значно простіше в порівнянні з задачею (1), (2), (4) для багатозв'язної області.

Припустивши $q(x, y)$ відомою функцією, задачу (5), (7) будемо розв'язувати методом прямих [1] - [7].

Після застосування ρ -трансформації до рівняння, що одержується методом прямих [6] із (5), маємо

$$\frac{d^2}{dx^2} V_s(x) - \mu_s^2 V_s(x) = -Q_s(x) - \Omega_s(x), \quad (s = 1, 2, \dots, n), \quad (8)$$

де

$$V_s(x) = \sqrt{\frac{2}{n+1}} \sum_{i=1}^n U_i \sin \frac{si\pi}{n+1},$$

$$Q_s(x) = \sqrt{\frac{2}{n+1}} \sum_{\alpha \neq 1}^n q_\alpha(x) \sin \frac{s\alpha\pi}{n+1},$$

$$\Omega_s(x) = \frac{\alpha}{h^2} \sqrt{\frac{2}{n+1}} \left[\sin \frac{s\pi}{n+1} + \sin \frac{s(n+1)\pi}{n+1} \right];$$

$$\mu_s = \frac{\alpha}{h} \sin \frac{s\pi}{2(n+1)} > 0. \quad (9)$$

Кожне рівняння системи (8) містить лише одну невідому функцію $V_s(x)$ і розв'язується незалежно від інших.

Загальним розв'язком відповідного однорідного рівняння є

$$V_s^{(0)}(x) = A_s e^{\mu_s x} + B_s e^{-\mu_s x}. \quad (10)$$

Визначимо тепер функції $q_\alpha(x)$, що входять в праві частини системи (8). В зв'язку з тим, що функція $q(x,y)$ повинна бути рівна нулю всюди, крім щілин L_j ($j=1,2,\dots,m$), а функції $q_\alpha(x)$ одержуються із неї при перетині прямої з номером α , перпендикулярної до осі Oy , то природно $q_\alpha(x)$ зобразити у вигляді

$$q_\alpha(x) = \sum_{j=1}^{m_\alpha} q_\alpha^{(j)}(x) \delta(x - x_\alpha^{(j)}), \quad (11)$$

де m_α – кількість щілин, що перетинаються прямою з номером;

$\delta(x - x_\alpha^{(j)})$ – δ – функція Дірака;

$x_\alpha^{(j)}$ – координата точки перетину α -прямою j -ї щіліни;

$q_\alpha^{(j)}(x)$ – невідомі параметри, які знаходяться із системи алгебраїчних рівнянь, складеної при задоволенні на кожній прямій $y=\alpha$ граничних умов на щілинах

$$U|_{L_j} = \varphi_j(y) \quad (j=1,2,\dots,m).$$

Враховуючи (9) і (11), система (8) набуде вигляду

$$\frac{d^2 V_s(x)}{dx^2} - \mu_s^2 V_s(x) = -\sqrt{\frac{2}{n+1}} \sum_{\alpha=1}^n \left[\sum_{j=1}^{m_\alpha} q_\alpha^{(j)}(x) \delta(x - x_\alpha^{(j)}) \right] \sin \frac{s\alpha\pi}{n+1} - \\ - \frac{\alpha}{h^2} \sqrt{\frac{2}{n+1}} \left[\sin \frac{s\pi}{n+1} + \sin \frac{sn\pi}{n+1} \right]. \quad (12)$$

В зв'язку з тим, що функція $q(x,y)$ рівна нулю всюди, за винятком щілин, в зовнішній сумі правої частини останнього рівняння сумування фактично ведеться з $\alpha = R$ до $\alpha = \omega$, де $\alpha \neq \omega$ – відповідно номери першої і останньої прямої, що перетинає систему щілин.

Частковий розв'язок рівняння

$$\frac{d^2 V_s(x)}{dx^2} - \mu_s^2 V_s(x) = -\sqrt{\frac{2}{n+1}} q_\omega^{(R)}(x) \delta(x - x_\omega^{(R)}) \sin \frac{s\omega\pi}{n+1} \quad (13)$$

зайдемо в допомогою прямого і оберненого перетворення Фур'є [9]

$$F[V(x)] = W(\rho) = \frac{1}{\sqrt{2\pi}} \int_{-\infty}^{\infty} V(x) e^{i\rho x} dx, \quad (14)$$

$$F^{-1}[W(\rho)] = V(x) = \frac{1}{\sqrt{2\pi}} \int_{-\infty}^{\infty} W(\rho) e^{-i\rho x} d\rho,$$

враховуючи його властивості

$$F[V^{(k)}] = (i\rho)^k F[V] \quad (k=1, 2, \dots). \quad (15)$$

Тут $F[V^{(k)}]$ - перетворення Фур'є k -ї похідної функції V . Цей розв'язок набуває вигляду

$$V_{s,\alpha}^{(j)} = \frac{1}{2\pi} \sqrt{\frac{2}{n+1}} \sin \frac{s\alpha\pi}{n+1} q_{\alpha}^{(j)} \int_{-\infty}^{\infty} \frac{e^{-i\rho(x-x_{\alpha}^{(j)})}}{\rho^2 + \mu_s^2} d\rho. \quad (16)$$

Згідно з [10],

$$\int_{-\infty}^{\infty} \frac{e^{-i\rho(x-x_{\alpha}^{(j)})}}{\rho^2 + \mu_s^2} d\rho = \frac{\pi}{\mu_s} e^{-\mu_s |x-x_{\alpha}^{(j)}|}. \quad (17)$$

Таким чином,

$$V_{s,\alpha}^{(j)} = \frac{1}{2\mu_s} \sqrt{\frac{2}{n+1}} q_{\alpha}^{(j)} \sin \frac{s\alpha\pi}{n+1} e^{-\mu_s |x-x_{\alpha}^{(j)}|}, \quad (18)$$

і загальний розв'язок рівняння (8) запишеться у вигляді

$$V_s = -\frac{i}{2\mu_s} \sqrt{\frac{2}{n+1}} \sum_{\alpha=\Omega}^{\omega} \sum_{j=1}^{m_{\alpha}} q_{\alpha}^{(j)}(x) \sin \frac{s\alpha\pi}{n+1} e^{-\mu_s |x-x_{\alpha}^{(j)}|} + \\ + \frac{\alpha}{\mu_s^2 h^2} \sqrt{\frac{2}{n+1}} \left[\sin \frac{s\pi}{n+1} + \sin \frac{s\pi\omega}{n+1} \right] + A_s e^{\mu_s x} + B_s e^{-\mu_s x}. \quad (19)$$

Якщо шукається розв'язок, обмежений на безконечності, необхідно прийняти $A_s = B_s = 0$.

Використовуючи ще раз ρ -трансформацію, одержуємо

$$U_K(x) = -\frac{i}{n+1} \sum_{s=1}^n \frac{1}{\mu_s} \sum_{\alpha=\Omega}^{\omega} \sum_{j=1}^{m_{\alpha}} q_{\alpha}^{(j)}(x) \sin \frac{s\alpha\pi}{n+1} \sin \frac{ks\pi}{n+1} e^{-\mu_s |x-x_{\alpha}^{(j)}|} +$$

$$+ \frac{4a}{(n+1)h^2} \sum_{s=1}^n \frac{(-1)^{s+1}}{\mu_s} \cos \frac{s\pi(n-1)}{2(n+1)} \sin \frac{ks\pi}{n+1}. \quad (20)$$

Система, яку ми тільки що розв'язали, апроксимує задачу (5), (7) з точністю $O(h^4)$. Розкладаючи функцію $U(x, y)$, а також $U''(x, y)$ в ряд Тейлора, відкидаючи при цьому величини порядку $O(h^6)$ [7], одержимо систему рівнянь

$$\frac{5}{6} \frac{d^2 U_n(x)}{dx^2} + \frac{1}{12} \left[\frac{d^2 U_{n+1}(x)}{dx^2} + \frac{d^2 U_{n-1}(x)}{dx^2} \right] + \frac{1}{h^2} [U_{n+1}(x) - 2U_n(x) + U_{n-1}(x)] = - \left\{ \frac{5}{6} q_n(x) + \frac{1}{12} [q_{n+1}(x) + q_{n-1}(x)] \right\}, \quad (21)$$

що апроксимує вихідне рівняння з точністю $O(h^4)$. Розв'язок одержується у вигляді (20), лише μ_s має вигляд

$$\mu_s = \frac{2\sqrt{3} \sin \frac{s\pi}{2(n+1)}}{h \sqrt{3 - \sin^2 \frac{s\pi}{2(n+1)}}}. \quad (22)$$

§ 3. Розрахунок поля плоскої лінзи. Викладеним методом розрахуємо поле плоскої електронної лінзи, конфігурація і розміри якої зображені

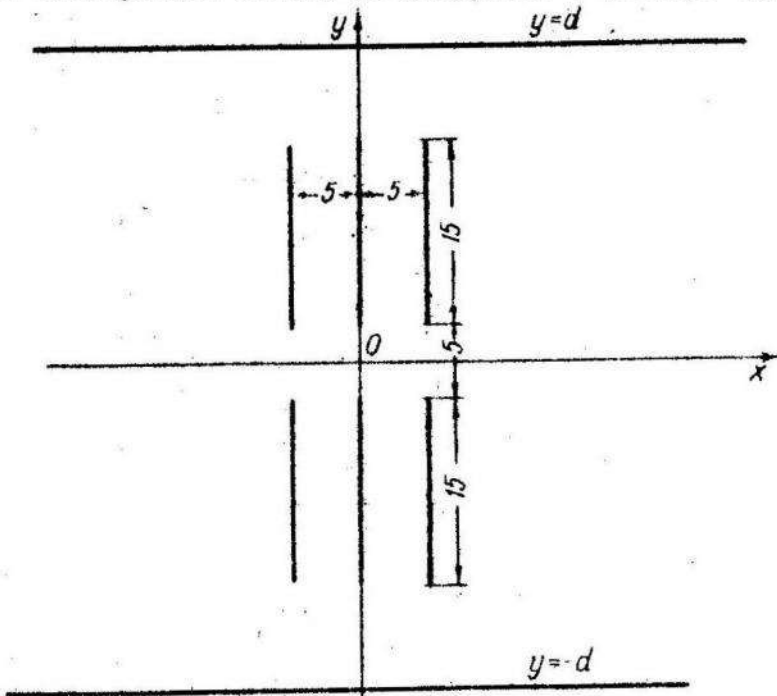


Рис. 2

на рис. 2. L_1, L_2, \dots, L_6 — система плоских електродів (щілин) однакових довжин $\ell_1 = \dots = \ell_6 = 15$ (мм), розміщених симетрично відносно осей. На електродах задається потенціал

$$U|_{L_1} = U|_{L_3} = U|_{L_5} = U|_{L_6} = U; \quad U|_{L_2} = U|_{L_4} = 0.$$

Необхідно знайти поле потенціалу цієї системи в області, що лежить між електродами (рис. 3). Виберемо $h = \frac{5}{3}$ (мм). Враховуючи симетрію задачі, складаємо систему лінійних алгебраїчних рівнянь для визначення параметрів $q^{(ij)}(x)$ (в нашому випадку система 18-го порядку).

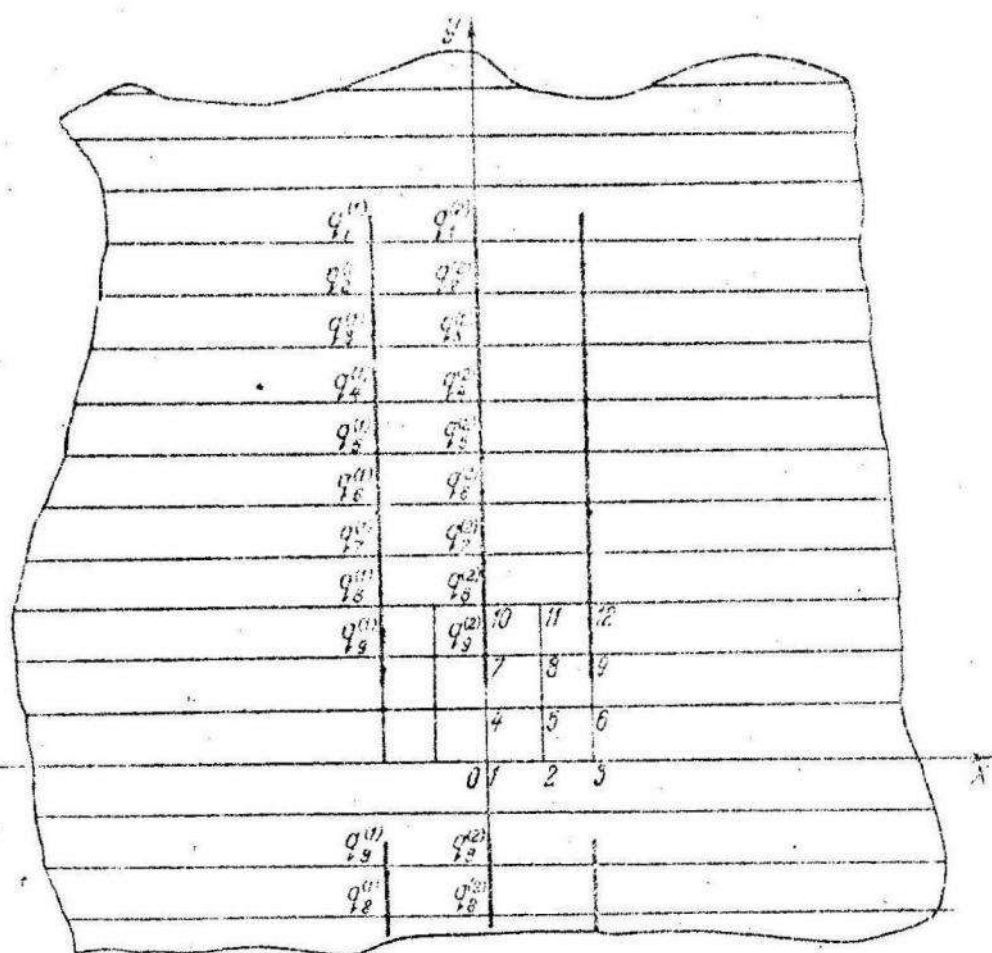


Рис. 3.

Задача розв'язувалась при $d_1 = 90$ (мм), $d_2 = 180$ (мм), $d_3 = 270$ (мм), а також при різних граничних умовах

$$U(x_1 \pm d) = 1; \quad U(x_1 \pm d) = 0.5; \quad U(x_1 \pm d) = 0.$$

Наведемо результати деяких обчислень при $d = 90$ (мм), $U(x_1 \pm d) = 1$:

a) Параметри $q_{\alpha}^{(j)}$:

$q_1^{(1)} = 0,269947$	$q_1^{(2)} = -0,334806$
$q_2^{(1)} = 0,212035$	$q_2^{(2)} = -0,222594$
$q_3^{(1)} = 0,208597$	$q_3^{(2)} = -0,206514$
$q_4^{(1)} = 0,208247$	$q_4^{(2)} = -0,202287$
$q_5^{(1)} = 0,208169$	$q_5^{(2)} = -0,201171$
$q_6^{(1)} = 0,208442$	$q_6^{(2)} = -0,201500$
$q_7^{(1)} = 0,209742$	$q_7^{(2)} = -0,203989$
$q_8^{(1)} = 0,216525$	$q_8^{(2)} = -0,214780$
$q_9^{(1)} = 0,287903$	$q_9^{(2)} = -0,300326$

b) Значення потенціалу (для порівняння наводимо значення потенціалу, знайдені іншим методом).

№ точки	За формулами (20) даної роботи	За формулами (10), (11) роботи [11]
1	0,457685	0,457856
2	0,586304	0,586710
3	0,792855	0,792885
4	0,385598	0,385614
5	0,570627	0,570955
6	0,823663	0,823573
7	0,000000	0,000000
8	0,532592	0,532734
9	1,000000	1,000000
10	0,000000	0,000000
11	0,512760	0,512817
12	1,000000	1,000000

Розрахунок проводився на ЕОМ "Мінск-22".

Л і т е р а т у р а

1. М. Г. С л о б о д я н с к и й. Способ интегрирования уравнения с частными производными и его применение к задачам теории упругости. Прикл. мат. и механ., 3, вып. I, 1939, 75-81.
2. В. Н. Ф а д д е е в а. Метод прямых в применении к некоторым краевым задачам. Тр. Мат. ин-та АН СССР, 28, 1949, 73-103.
3. Я. И. А л и х а ш к и й. Решение задачи о несовершенной скважине методом прямых. Сб. "Вычисл. мат.", вып. I, М., 1957, 136-152.
4. Б. М. Б у д а к, Ф. П. В а с и л'ев. Сходимость и оценка погрешностей метода прямых для решения некоторых задач фильтрации. Сб. "Численные методы в газовой динамике". ВЦ МГУ, М., 1963.
5. В. И. Л ё б е д е в. Уравнения и сходимость дифференциально-разностного метода. Вестник МГУ, вып. 7, № 10, 1955, 47-57.
6. Т. Л. М а р т и н о в и ч, Б. М. К о р д у б а. Применение метода прямых в сочетании с методом интегральных преобразований к расчету электростатических полей с осевой симметрией. УМН и УФ, 5, № 6, 1965.
7. Т. Л. М а р т и н о в и ч, Б. М. К о р д у б а. Решение пространственной осесимметрической задачи Дирихле методом прямых с повышенной точностью аппроксимации. Сб. "Численные методы решения задач математической физики", М., 1966.
8. Г. Н. П о л о ж и й. Численное решение двумерных и трехмерных краевых задач математической физики и функции дискретного аргумента. Изд-во Киев. ун-та, 1962.
9. Г. Е. Ш и л о в. Локальные свойства решений дифференциальных уравнений в частных производных с постоянными коэффициентами. УМН, т. XIУ (5), 1959.
10. И. С. Г р а д и т е л ь, И. М. Р и х л и к. Таблицы интегралов, сумм, рядов и произведений. М., Физматгиз, 1962.
11. Є. С. Д о р о ж о в с ь к и й, Б. М. К о р д у б а, В. Г. К о с т е н к о. Задача Діріхле плошкої електростатики. Вісник Львів. ун-ту, серія мех.-мат., вып. I, 1965.

—0—

М.М.ШЕРЕМЕТА

ПРО ЛАХУАРНІ СТЕПЕНЕВІ РЯДИ АНАЛІТИЧНИХ
У КРУЗІ ФУНКЦІЙ

Науковий

$$f(z) = \sum_{n=0}^{\infty} a_n z^n \quad (1)$$

аналітична в кругу $|z| < 1$ функція і $M(z) = M(z, f) = \max_{|z|=r} |f(z)| \rightarrow \infty$ як $r \rightarrow 1$, а $\mu(r)$ і $\lambda(r)$ - відповідно максимальний член і центральний індекс ряду (1), $0 < r < 1$. Ріст функції $f(z)$ переважно вимірюється за допомогою порядку і низького порядку, які визначаються формулами

$$\rho = \lim_{z \rightarrow 1} \frac{\ln \ln M(z)}{-\ln(1-z)}, \quad \lambda = \lim_{z \rightarrow 1} \frac{\ln \ln M(z)}{-\ln(1-z)}. \quad (2)$$

В [1] встановлюється зв'язок між λ , ρ і послідовністю індексів не-нульових коефіцієнтів $\{a_n\}$ ряду (1) при умові, що $0 < \rho < \infty$.

Наможе бути доведення аналогічних теорем для випадку, коли $\rho = 0$ і $\rho = \infty$.

Ми будемо використовувати функції з класу Λ , який визначається так. Приймемо, що додатна функція $\alpha(x)$, визначена на (a, ∞) , належить до класу Λ , якщо вона диференційована на (a, ∞) , строго монотонно зростає на (a, ∞) , при $x \rightarrow \infty$ прямує до ∞ і є повільно зростаючою функцією [2], тобто для всіх c , $0 < c < \infty$, виконується $\lim_{x \rightarrow \infty} \alpha(cx)/\alpha(x) = 1$. Будемо вважати, що $\alpha(\infty) = \infty$. Нам будуть зустрічатись значення функції $\alpha(x) \in \Lambda$ в точках, де вона не ви-

значення. Тоді приписуємо їй значення 1. За означенням $\ell_n^+ x = \ell_n x$, якщо $x \geq 1$, $\ell_n^+ x = 0$, якщо $x < 1$.

Нехай $\Psi(z)$ – неспадна додатна функція, $0 < z < 1$, яка прямує до ∞ при $z \rightarrow 1$. Позначимо

$$\rho(\alpha, \beta, \Psi(z)) = \overline{\lim}_{z \rightarrow 1} \frac{\alpha(\Psi(z))}{\beta(\frac{1}{1-z})}, \quad \lambda(\alpha, \beta, \Psi(z)) = \overline{\lim}_{z \rightarrow 1} \frac{\alpha(\Psi(z))}{\beta(\frac{1}{1-z})}, \quad (3)$$

$$\rho(\alpha, \Psi(z)) = \overline{\lim}_{z \rightarrow 1} \frac{\alpha(\ell_n \Psi(z))}{\alpha(-\ell_n(1-z))}, \quad \lambda(\alpha, \Psi(z)) = \overline{\lim}_{z \rightarrow 1} \frac{\alpha(\ell_n \Psi(z))}{\alpha(-\ell_n(1-z))}, \quad (4)$$

де $\alpha(x) \in \Lambda$, $\beta(x) \in \Lambda$. Очевидно, що при $\Psi(z) = \ell_n M(z)$, $\alpha(x) = \ell_n x$, $\beta(x) = \ell_n x$ означення (3) збігається з означенням (2).

Позначимо: $F(x; c) = \beta'(c\alpha(x))$, $\Phi(x; c) = \alpha'(c\alpha(x))$.

Лема I. Нехай $\alpha(x) \in \Lambda$, $\beta(x) \in \Lambda$, а функція $F(x; c)$ для всіх c , $0 < c < \infty$, задовільняє умовам

$$\alpha(x[F(x; c)]^{-1}) = \alpha(x)(1 + o(1)) \quad \text{при } x \rightarrow \infty; \quad (5)$$

$$\overline{\lim}_{x \rightarrow \infty} x F'(x; c)[F(x; c)]^{-1} < 1. \quad (6)$$

Тоді

$$\rho(\alpha, \beta, \ell_n M(z)) = \overline{\lim}_{n \rightarrow \infty} \frac{\alpha(n)}{\beta(n[\ell_n'(\alpha_n)])^{-1}}.$$

Лема I'. Нехай $\alpha(x) \in \Lambda$. Тоді, якщо $\rho(\alpha, \ell_n M(z)) \geq 1$ і для всіх c ($0 < c < 1$) виконуються умови

$$\overline{\lim}_{x \rightarrow \infty} \Phi'(x; c) < 1; \quad (7)$$

$$\lim_{x \rightarrow \infty} \alpha(\ell_n x)/\alpha(x) = 0. \quad (8)$$

то

$$\varrho(\alpha, \ln M(z)) = \overline{\lim}_{n \rightarrow \infty} \frac{\alpha(\ln n)}{\alpha(\ln[n(\ln^+ |\alpha_n|)^{-1}])}; \quad (9)$$

якщо $\varrho(\alpha, \ln M(z)) < 1$ і виконується умова (8), то

$$\varrho(\alpha, \ln M(z)) = \overline{\lim}_{n \rightarrow \infty} \alpha(\ln^+ \ln^+ |\alpha_n|) / \alpha(\ln n). \quad (10)$$

Доведення лем I і I' проведено в [3] і [4].

Лема 2. Нехай $\alpha(x) \in \Lambda$, $\beta(x) \in \Lambda$ і виконується умови

$$\alpha(x+y) \leq \alpha(x) + \alpha(y) \quad (11)$$

при $x > x_0$, $y > y_0$;

$$\lim_{x \rightarrow \infty} \alpha(x) / \beta(x) = 0. \quad (12)$$

Тоді

$$\varrho(\alpha, \beta, \ln M(z)) = \varrho(\alpha, \beta, \bar{\nu}(z)), \quad \lambda(\alpha, \beta, \ln M(z)) = \lambda(\alpha, \beta, \bar{\nu}(z)).$$

Доведення. Легко бачити, що

$$\mu(z) \leq M(z) \leq \frac{2}{1-z} \mu\left(\frac{z+1}{2}\right). \quad (13)$$

Дійсно, ліва частина нерівності (13) є відомою нерівністю Коши, а права одержується так:

$$M(z) \leq \sum_{n=0}^{\infty} |\alpha_n| z^n = \sum_{n=0}^{\infty} |\alpha_n| \left(\frac{z+1}{2}\right)^n \left(\frac{z}{n}\right)^n \leq \mu\left(\frac{z+1}{2}\right) \frac{1}{1 - \frac{z}{1+z}} = \frac{2}{1-z} \mu\left(\frac{z+1}{2}\right).$$

Далі, для максимального члена і центрального індекса має місце (див. [1], стор. 199) співвідношення

$$\ln \mu(z_2) = \ln \mu(z_1) + \int_{z_1}^{z_2} \frac{\bar{\nu}(x)}{x} dx, \quad z_2 > z_1 > 0, \quad (14)$$

звідки одержуємо

$$\ln \mu\left(\frac{z+1}{2}\right) > \int_z^{\frac{z+1}{2}} \frac{\psi(x)}{x} dx \geq \psi(z) \int_z^{\frac{z+1}{2}} \frac{dx}{x} \geq \psi(z) \int_z^{\frac{z+1}{2}} \frac{dx}{x} = \frac{\psi(z)}{2}(1-z). \quad (15)$$

Равом в тим, при $z > z_0 > 0$ в (14) маємо

$$\begin{aligned} \ln \mu(z) &= \ln \mu\left(\frac{z}{2}\right) + \int_{\frac{z}{2}}^z \frac{\psi(x)}{x} dx \leq \\ &\leq \ln \mu\left(\frac{z}{2}\right) + \psi(z) \ln 2 \leq \ln \mu\left(\frac{z}{2}\right) + \psi(z). \end{aligned} \quad (16)$$

з (13) і (16) одержуємо

$$\begin{aligned} \ln M(z) &\leq \left(\frac{z+1}{2} \right) + \ln \frac{1}{1-z} + \ln \left(2\mu\left(\frac{z}{2}\right) \right) \leq \\ &\leq 2 \max \left\{ \psi\left(\frac{z+1}{2}\right), \ln \frac{1}{1-z} + \ln \left(2\mu\left(\frac{z}{2}\right) \right) \right\}, \end{aligned} \quad (17)$$

а з (13) і (15) маємо

$$\psi(z) < \frac{\rho}{1-z} \ln M\left(\frac{z+1}{2}\right). \quad (18)$$

Завдяки умовам леми, в (18) одержуємо, що

$$\rho(\alpha, \beta, \psi(z)) \leq \rho(\alpha, \beta, \ln M(z)), \quad \lambda(\alpha, \beta, \psi(z)) \leq \lambda(\alpha, \beta, \ln M(z)). \quad (19)$$

А тому що за умовою (12) $\alpha(\ln \frac{1}{1-z} + O(z)) = o(\beta(\frac{1}{1-z}))$, то в (17) одержуємо нерівності, протилежні до нерівностей (19). Лема 2 доведена.

Лема 2'. Нехай $\alpha(x) \in \Lambda$ задовільняє умову (8). Тоді

$$\rho(\alpha, \ln M(z)) \leq \rho(\alpha, \psi(z)) \leq \max \{ 1, \rho(\alpha, \ln M(z)) \}, \quad (20)$$

$$\lambda(\alpha, \ln M(z)) \leq \lambda(\alpha, \psi(z)) \leq \max \{ 1, \lambda(\alpha, \ln M(z)) \}.$$

Доведення. Завдяки тому, що $\alpha(x) \in \Lambda$ і що

$$\ln \ln M\left(\frac{z+1}{2}\right) + \ln \frac{2}{1-z} \leq 2 \max \left\{ \ln \frac{2}{1-z}, \ln \ln M\left(\frac{z+1}{2}\right) \right\},$$

звісно із (18)

$$\rho(x, V(z)) \leq \max \{t, \varphi(x, \ln M(z))\}, \quad \lambda(x, V(z)) \leq \max \{t, \lambda(x, \ln M(z))\}.$$

Розв'язок в тим, що в (17), звідки умові (8) і означення класу Λ , маємо

$$\rho(x, \ln M(z)) \leq \max \{0, \rho(x, V(z))\} = \rho(x, V(z)),$$

$$\lambda(x, \ln M(z)) \leq \max \{0, \lambda(x, V(z))\} = \lambda(x, V(z)).$$

Лема 2' доведена.

Зауважимо, що нерівності (20) покращити не можна, якщо вказує приклад функції $f(z) = \sum_{n=2}^{\infty} \exp\{\exp(\sqrt{\ln n})\} z^n$. Легко перевірити, що

$$\rho(\ln x, V(z)) = t, \quad \text{а за лемою I (див. (10)) виконується } \rho(\ln x, \ln M(z)) = t.$$

Теорема I. Нехай $\alpha(x) \in \Lambda$, $\beta(x) \in \Lambda$ і виконуються умови (11) і (12). Тоді, якщо

$$f(z) = \sum_{p=0}^{\infty} \alpha_{n_p} z^{n_p}, \quad (21)$$

то

$$\lambda(x, \beta, \ln M(z)) \leq \rho(x, \beta, \ln M(z)) \cdot \lim_{p \rightarrow \infty} \frac{\alpha(n_p)}{\alpha(n_{p+1})}. \quad (22)$$

Доведення. Якщо $\rho(x, \beta, \ln M(z)) = 0$, то нерівність (22) тривіальна. Якщо $\rho(x, \beta, \ln M(z)) > 0$, то за лемою 4 нерівність (22) еквівалентна нерівності

$$\frac{\lambda(x, \beta, V(z))}{\rho(x, \beta, V(z))} \leq \lim_{p \rightarrow \infty} \frac{\alpha(n_p)}{\alpha(n_{p+1})}. \quad (23)$$

Позначимо нижню границю в правій частині (23) через δ ; якщо $\delta = \infty$, то нерівність (23) очевидна, а тому можна припустити, що $\delta < \infty$. Тоді для всього $\varepsilon > 0$ існує послідовність індексів $\{n_k\}$ така, що $\alpha(n_k) \leq (\delta + \varepsilon) \alpha(n_k + 1)$, тобто $n_k \leq \alpha^{-1}\{(\delta + \varepsilon) \alpha(n_k + 1)\}$. Нехай z_k - значення z , при якому $V(z_k - 0) \leq n_k < n_{k+1} \leq V(z_k + 0)$

Тоді

$$\lambda(\alpha, \beta, \vartheta(z)) \leq \limsup_{k \rightarrow \infty} \frac{\alpha(\vartheta(z_k+0))}{\beta(z - z_k)} \leq (6+\varepsilon) \limsup_{k \rightarrow \infty} \frac{\alpha(\vartheta(z_k+0))}{\beta(z - z_k)} \leq (6+\varepsilon) \rho(\alpha, \beta, \vartheta(z)),$$

звідки, завдяки довільності $\varepsilon > 0$, одержуємо (23).

Теорема I'. Нехай $\alpha(x) \in \Lambda$ задовільняє умову (8), а $f(z)$ має вображення (21). Тоді

$$\lambda(\alpha, \ln M(z)) \leq \max \{1, \rho(\alpha, \ln M(z))\} \limsup_{p \rightarrow \infty} \frac{\alpha(\ln n_p)}{\alpha(\ln n_{p+1})}.$$

Доведення теореми I' аналогічне доведенню теореми I, лише використовується лема 2'.

Теорема 2. Нехай $\alpha(x) \in \Lambda$, $\beta(x) \in \Lambda$ і виконуються умови (5) і (6). Нехай, крім того, $\lambda(\alpha, \beta, \ln M(z)) < \gamma < \rho(\alpha, \beta, \ln M(z))$.

Тоді $f(z) = g_r(z) + h_r(z)$, де $g_r(z)$ - аналітична в кругу $|z| < 1$ функція така, що $\rho(\alpha, \beta, \ln M(z, g_r)) \leq \gamma$, а $h_r(z) = \sum_{p=0}^{\infty} \alpha_{m_p} z^{m_p}$ - аналітична в $|z| < 1$ функція, яка задовільняє умову

$$\lambda(\alpha, \beta, \ln M(z, h_r)) \geq \gamma \limsup_{p \rightarrow \infty} \frac{\alpha(m_p)}{\alpha(m_{p+1})}.$$

Доведення. Приймемо $g_r(z) = \sum_n \alpha_n z^n$, де сумування береться по тих значеннях n , для яких $|\alpha_n| \leq \exp \left\{ \frac{n}{F(n; \frac{1}{f})} \right\}$. За лемою I з останньої нерівності випливає, що $\rho(\alpha, \beta, \ln M(z, g_r)) \leq \gamma$.

Тоді приймаємо $h_r(z) = f(z) - g_r(z) = \sum_{p=0}^{\infty} \alpha_{m_p} z^{m_p}$, де $|\alpha_{m_p}| > \exp \left\{ \frac{m_p}{F(m_p; \frac{1}{f})} \right\}$. Виберемо $z_p = 1 - \frac{1}{2F(m_p; \frac{1}{f})}$. Тоді, якщо

$z_p \leq z \leq z_{p+1}$, то $\ln M(z, h_r) \geq \ln |\alpha_{m_p}| + m_p \ln z_p \geq \geq m_p \left\{ \frac{1}{F(m_p; \frac{1}{f})} + \ln \left(1 - \frac{1}{2F(m_p; \frac{1}{f})} \right) \right\} \geq \frac{A m_p}{F(m_p; \frac{1}{f})}$, де A - постійна величина $0 < A < \infty$, $p \geq p_0$. Звідси, внаслідок умови (5) і того, що $\alpha(x) \in \Lambda$ і $\beta(x) \in \Lambda$, одержуємо

$$\frac{d(\ln M(z, h_r))}{\beta \left(\frac{t}{r-z} \right)} \geq \frac{\alpha \left(\frac{A m_p}{F(m_p; \frac{t}{r})} \right)}{\beta \left(\frac{t}{r-z_{p+1}} \right)} \geq \frac{\alpha(m_p)(1+o(1))}{\beta(2F(m_{p+1}; \frac{t}{r}))} = \gamma \frac{\alpha(m_p)}{\alpha(m_{p+1})} (1+o(1)),$$

що і вказує на справедливість теореми 2.

Теорема 2' Нехай $\alpha(x) \in \Lambda$ і виконуються умови (7) і (8). Нехай, крім того, $\lambda(\alpha, \ln M(z)) < \delta < \rho(\alpha, \ln M(z))$. Тоді $f(z) = g_r(z) + h_r(z)$, де $g_r(z)$ - аналітична в $|z| < 1$ функція така, що $\rho(\alpha, \ln M(z, g_r)) \leq \delta$, а $h_r(z) = \sum_{p=0}^{\infty} \alpha_{m_p} z^{m_p}$ - аналітична в $|z| < 1$ функція, яка задовільняє умову

$$\lambda(\alpha, \ln M(z, h_r)) \geq \max(1, \delta) \lim_{p \rightarrow \infty} \frac{\alpha(\ln m_p)}{\alpha(\ln m_{p+1})}.$$

Доведення. Якщо $\rho(\alpha, \ln M(z)) \geq 1$, приймемо $g_r(z) = \sum_n \alpha_n z^n$, де сумування береться по тих індексах n , для яких $|\alpha_n| \leq \exp \left\{ \frac{n}{\exp \{ \Phi(\ln n; \frac{t}{r}) \}} \right\}$. За лемою I з останньої нерівності маємо $\rho(\alpha, \ln M(z, g_r)) \leq \delta$. Тоді приймемо $h_r(z) = f(z) - g_r(z) = \sum_{p=0}^{\infty} \alpha_{m_p} z^{m_p}$, де $|\alpha_{m_p}| > \exp \left\{ \frac{m_p}{\exp \{ \Phi(\ln m_p; \frac{t}{r}) \}} \right\}$. Виберемо $z_p = 1 - \frac{1}{e \cdot \exp \{ \Phi(\ln m_p; \frac{t}{r}) \}}$.

Тоді, якщо $z_p < z < z_{p+1}$, то

$$\ln M(z, h_r) \geq \ln |\alpha_{m_p}| + m_p \ln z_p \geq m_p \left\{ \frac{1}{\exp \{ \Phi(\ln m_p; \frac{t}{r}) \}} + \right.$$

$$\left. + \ln \left(1 - \frac{1}{e \cdot \exp \{ \Phi(\ln m_p; \frac{t}{r}) \}} \right) \right\} \geq \frac{A m_p}{\exp \{ \Phi(\ln m_p; \frac{t}{r}) \}}, \text{ де } A \text{ - постійна}$$

величина, $0 < A < \infty$, $p > p_0$. Тому $\ln \ln M(z, h_r) \geq \ln A + \ln m_p +$

$$+ \Phi(\ln m_p; \frac{t}{r}) \geq B_1 \ln m_p, \text{ якщо } \delta \geq 1, \text{ де } B_1 \text{ - постійна величина}, \\ 0 < B_1 < \infty \text{ і } \ln \ln M(z, h_r) \geq B_2 \Phi(\ln m_p; \frac{t}{r}), 0 < B_2 < \infty,$$

якщо $\delta < 1$. Звідси одержуємо, що якщо $\delta \geq 1$, то

$$\begin{aligned} \frac{\alpha(\ln \ln M(z, h_r))}{\alpha(-\ln(1-z))} &\geq \frac{\alpha(B, \ln m_p)}{\alpha(\ln(2 \exp \Phi(\ln m_{p+1}; \frac{t}{\delta})))} = \\ &= \frac{\alpha(\ln m_p)(1+o(1))}{\alpha(1+\Phi(\ln m_{p+1}; \frac{t}{\delta}))} = \frac{\delta \alpha(\ln m_p)(1+o(1))}{\alpha(\ln m_{p+1})}, \end{aligned} \quad (24)$$

а якщо $\delta < 1$, то

$$\frac{\alpha(\ln \ln M(z, h_r))}{\alpha(-\ln(1-z))} \geq \frac{\alpha(B, \Phi(\ln m_p; \frac{t}{\delta}))}{\alpha(1+\Phi(\ln m_{p+1}; \frac{t}{\delta}))} = \frac{(1+o(1))\alpha(\ln m_p)}{\alpha(\ln m_{p+1})}. \quad (25)$$

Якщо $\rho(d, \ln M(z, f)) < 1$, приймемо $g_r(z) = \sum_n a_n z^n$, де сумаування береться по тих індексах n , для яких $|a_n| < \exp\{\exp\{\Phi(\ln n; \delta)\}\}$. З леми I очевидно, що $\rho(d, \ln M(z, g_r)) < \delta$. Тоді приймемо $h_r(z) = f(z) - g_r(z) = \sum_{n=0}^{\infty} a_{m_p} z^{m_p}$, де $|a_{m_p}| > \exp\{\exp\{\Phi(\ln m_p; \delta)\}\}$. Виберемо $z_p = 1 - \frac{\exp\{\Phi(\ln m_p; \delta)\}}{m_p}$. Легко зауважити, що $0 < z_p < 1$, а також, що $z_p \rightarrow 1$ (див. [4], лема 2). Отже, якщо $z_p < z < z_{p+1}$, то $\ln \ln M(z, h_r) \geq \ln\{\ln|a_{m_p}| + m_p \ln z_p\} \geq \ln m_p$, звідки

$$\frac{\alpha(\ln \ln M(z, h_r))}{\alpha(-\ln(1-z))} \geq \frac{\alpha(\ln m_p)}{\alpha(\ln m_{p+1} - \Phi(\ln m_{p+1}; \frac{t}{\delta}))} = \frac{(1+o(1))\alpha(\ln m_p)}{\alpha(\ln m_{p+1})}. \quad (26)$$

Тепер справедливість теореми 2 випливає з нерівностей (24), (25), (26) і того факту, що якщо $\delta \geq 1$, то $\rho(d, \ln M(z, f)) > 1$.

Література

1. L. R. Sons. Regularity of growth and gaps. Journ. of Math. Analys. and Appl., v. 24, 1968, 296–306.
2. Б. Я. Левин. Распределение корней целых функций. Гостехиздат, М., 1956.

3. М. М. Шеремета. Про зв'язок між ростом функції, аналітичної в кругу, і модулями коефіцієнтів її ряду Тейлора. Вісник Львів. ун-ту, сер. мех.-мат., вып. 2, 1965.

4. М. Н. Шеремета. О связи между ростом целых или аналитических в круге функции нулевого порядка и коэффициентами их степенных разложений. Известия вузов, Математика, № 6, 1968.

5. А. Валирон. Аналитические функции. М., 1957.

---0---

УДК 517.53

О.М.КОСТОВСЬКИЙ, Г.Р.ЦЕГЕЛИК

ПОБУДОВА МАХОРАНТ ТА ДІАГРАМ НЬЮТОНА РЯДІВ ДІРІХЛЕ

В даній роботі розглядається побудова махорант і діаграм Ньютона рядів Діріхле та застосування останніх для встановлення достатніх умов існування смуг, в яких ряди Діріхле не перетворюються в нуль.

Розглянемо ряд Діріхле

$$f(x) = \sum_{v=0}^{\infty} A_v e^{-\lambda_v x} \quad (1)$$

з абсцисою збіжності C ($C < \infty$), де $A_0 \neq 0$, $0 < \lambda_0 < \lambda_1 < \dots$,
 $\lim_{n \rightarrow \infty} \lambda_n = \infty$.

Нехай $\alpha_v = |A_v|$ ($v = 0, 1, \dots$).

Означення I. Точку $P_v(x_v, y_v)$ в площині xy з координатами $x_v = \lambda_v$, $y_v = -\ln \alpha_v$ будемо називати точкою зображення коефіцієнта A_v ряду Діріхле (1).

Припустимо, що в площині xy точки зображення P_v коефіцієнтів

A_v ($v=0, 1, \dots$) побудовані. З кожної точки P_v ($v=0, 1, \dots$) проведемо паралельно осі ординат в додатному напрямку півпряму ℓ_v . Множину точок півпрямих ℓ_v ($v=0, 1, \dots$) позначимо через E . Побудуємо випуклу оболонку $C(E)$ множини точок E . Границею випуклої оболонки $C(E)$ буде деяка випукла вниз ламана лінія \mathcal{L}_f .

Означення 2. Ламану лінію \mathcal{L}_f будемо називати діаграмою Ньютона ряду Діріхле (1).

Нехай $B_v(\lambda_v, x_v)$ - точка діаграми Ньютона \mathcal{L}_f , абсциса якої $x_v = \lambda_v$, а ордината x_v ($v=0, 1, \dots$).

Позначимо

$$T_v = e^{-x_v} > 0.$$

Ряд Діріхле з додатними коефіцієнтами

$$\mathcal{M}_f(x) = \sum_{v=0}^{\infty} T_v e^{-\lambda_v x} \quad (2)$$

є мажорантою ряду (1). Дійсно, з побудови діаграми Ньютона випливає, що

$$-\ln \alpha_v \geq -\ln T_v$$

або

$$|\lambda_v| = \alpha_v \leq T_v.$$

Означення 3. Ряд (2) будемо називати мажорантою Ньютона ряду Діріхле (1).

Означення 4: Величину

$$R_v = \left(\frac{T_{v+1}}{T_v} \right)^{\frac{1}{|\lambda_v - \lambda_{v+1}|}} \quad (v=1, 2, \dots; R_0 = 0)$$

будемо називати v -им числовим нахилом $\mathcal{M}_f(x)$ або $f(x)$; величину

$$D_v = \frac{R_{v+1}}{R_v} \quad (v=0, 1, 2, \dots)$$

будемо називати відхиленням $\mathcal{M}_f(x)$ або $f(x)$.

Означення 5. Якщо точка зображення P_{v_i} знаходить у вершині діаграми Ньютона \mathcal{L}_f , то індекс v_i будемо називати вершинним

індексом; якщо точка зображення P_ν знаходиться на ламаній лінії \mathcal{J}_f , то індекс ν будемо називати діаграмним індексом.

Коефіцієнти мажоранти Ньютона $M_f(z)$ ряду Діріхле (I) визначаються таким чином. Якщо v_{i-1} і v_i — два послідовні вершинні індекси, то

$$T_\nu = \sqrt{\frac{\lambda_{v_i} - \lambda_{v_{i-1}}}{\alpha_{v_{i-1}} - \alpha_{v_i}}} \quad (\nu_{i-1} < \nu \leq v_i).$$

Якщо діаграма Ньютона має півпряму L_{v_n} , яка проведена з точки зображення P_{v_n} вправо з кутовим коефіцієнтом $\kappa = \ln R$, то

$$T_{v_n + \kappa} = \alpha_{v_n} R^{\lambda_{v_n} - \lambda_{v_n + \kappa}} \quad (\kappa = 0, 1, 2, \dots).$$

Теорема 1. Якщо показники ряду Діріхле задовольняють умову

$$\lim_{n \rightarrow \infty} \frac{\ln n}{\lambda_n} = 0,$$

то абсцису збіжності ряду Діріхле C можна визначити за формулой

$$C = \lim_{n \rightarrow \infty} \frac{\ln T_n}{\lambda_n}.$$

Доведення цієї теореми спирається на властивості мажоранти і діаграм Ньютона.

Розглянемо застосування мажорант і діаграм Ньютона рядів Діріхле для встановлення достатніх умов існування смуг, в яких ряди Діріхле не перетворюються в нуль.

Позначимо через $\mathcal{M} = \{\nu\}$ множину всіх індексів ν ряду Діріхле (I) та розглянемо довільну систему множин індексів

$\mathcal{M} = \{\mathcal{M}_n\} (n=0, 1, 2, \dots, m; \infty)$, що задовольняє умови

1. $\mathcal{M}_n \in \mathcal{M}$;
2. $\mathcal{M}_i \cap \mathcal{M}_j = \emptyset$, якщо $i \neq j$;
3. $\bigcup_{n=0}^m \mathcal{M}_n \cup \mathcal{M}_\infty = \mathcal{M}$;
4. $\mathcal{M}_2 \neq \emptyset$;
5. $0 \in \mathcal{M}_\infty$.

Даній системі Ω будемо ставити у відповідність класи $Q_\kappa(\Omega)$ рядів Діріхле для кожного фіксованого $\kappa \in \mathcal{M}_2$. Будемо вважати, що ряд Діріхле $f(z)$ належить до класу $Q_\kappa(\Omega)$, якщо відхилення цього ряду задовільняють умови

$$D_\kappa > U_\kappa^2,$$

$$D_\nu \geq U_\kappa^{c_\nu}, \text{ де } c_\nu = n, \text{ якщо } \nu \in \mathcal{M}_n (\nu \neq \kappa);$$

$$D_\nu = \infty, \text{ якщо } \nu \in \mathcal{M}_\infty,$$

де U_κ - додатний корінь рівняння

$$\begin{aligned} H_\kappa(u) = & -1 + \sum_{\nu=1}^{\kappa} u^{-(\lambda_\kappa - \lambda_{\kappa-\nu})} - \sum_{j=1}^{\nu-1} (\lambda_{\kappa-j} - \lambda_{\kappa-\nu}) C_{\kappa-j} + \\ & + \sum_{\nu=\kappa+1}^{\infty} u^{-(\lambda_{\kappa+\nu} - \lambda_\kappa)} - \sum_{j=1}^{\nu-1} (\lambda_{\kappa+\nu} - \lambda_{\kappa+j}) C_{\kappa+j} = 0. \end{aligned}$$

Теорема 2. Нехай задана довільна система множин індексів Ω і нехай для фіксованого індекса $\kappa \in \mathcal{M}_2$ відповідне рівняння $H_\kappa(u)=0$ має додатний корінь U_κ . Тоді кожний ряд Діріхле, який належить до класу $Q_\kappa(\Omega)$, не перетворюється в нуль у смузі

$$-\ln \frac{R_{\kappa+1}}{U_\kappa} \leq \operatorname{Re}(z) \leq -\ln R_\kappa U_\kappa.$$

Література

1. А. Н. Костовський. Локалізація по модулям нулей ряду Лорана и его производных. Ізд-во Львов. ун-та, 1967.

2. А. І. Кардаш, О. М. Костовський, І. І. Чулик. Мажоранта та діаграми Ньютона функцій багатьох змінних. Вісник Львів. ун-ту, сер. мех.-мат., вип. 3, 1967.

Г.Л.БУЙМОЛА, І.М.ГЛУСТЯК

ВПЛИВ ОПТИЧНИХ ІЛЮЗІЙ НА ТОЧНІСТЬ КРЕСЛЕННЯ

Розглянемо лише ті види оптичних ілюзій, які являють певний інтерес і мають значення в кресленні. Їх необхідно враховувати при виконанні тих креслень, де точність відіграє велику роль.

Так, під впливом тих чи інших зорових ілюзій помилка, що вноситься в геометричну побудову при елементарних операціях креслення (наприклад, встановлення ніжки циркуля в точку перетину ліній), збільшується до значних розмірів.

Часто буває, що кресляр "на око" вносить деякі корективи у виготовлений ним рисунок, і тут зроблені ним помилки під впливом ілюзії, при дальному ускладненні рисунка, приводять до значних помилок. Це часто трапляється в архітектурних кресленнях, геодезії, машинобудівних кресленнях.

В кресленні найчастіше зустрічаємося з ілюзіями, що виникають під впливом фізіологічних та психологічних факторів. Наприклад: 1) білі лінії, проведені на темному фоні, здаються товстішими, ніж такої ж товщини чорні лінії, проведені на білому фоні; 2) перпендикуляр CD , піднесений з середини рівного йому горизонтального відрізка AB , здається більшим за основу AB (рис. I, а). Як показують дослідження, ця різниця збільшується при зменшенні відрізків і досягає 1/5 всієї величини відрізка. Наскільки ця ілюзія значна, показує такий факт. Нами було запропоновано студентам нарисувати на аркуші паперу невеликий відрізок прямої і з його середини піднести рівний йому перпендикуляр. Виявилось, що, не дивлячись на те, що креслили з допомогою приладів, були допущені

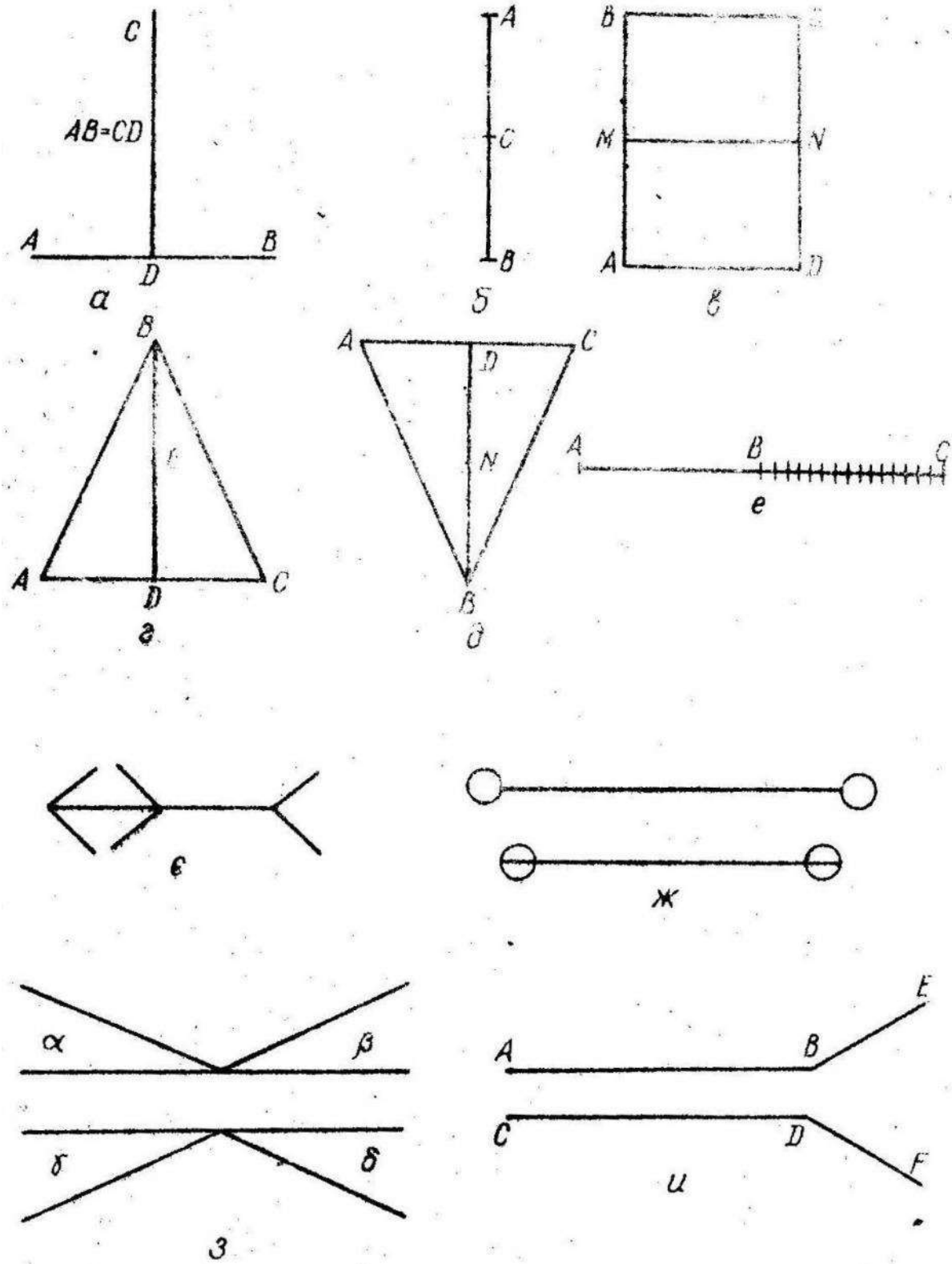


Рис. I.

помилки, причиною яких є згадана ілюзія. Кожен кресляр намагався коректувати рисунок "на око". Помилки ці становили від 1/12 до 1/6 величини заданого горизонтального відрізка.

Причини виникнення ілюзії в кресленні такі:

1. Переоцінка верхньої частини фігури. Якщо взяти вертикальний відрізок AB (рис. I,б) і поділити його пополам, то верхня частина відрізка AC буде здаватися більшою за рівну їй частину – відрізок CB . Ми пропонували креслярам поділити пополам "на око" вертикальний відрізок прямої і після старанного вимірювання виявляли, що верхня частина відрізка завжди була меншою за нижню, хоч "на око" вони здаються рівними. Різниця у величині верхньої і нижньої частин відрізка становить більше 1/14 всього відрізка. Цю ж картину дістанемо, якщо візьмемо прямокутник $ABCD$ (рис. I,в), поділений прямою на дві рівні частини. Верхній прямокутник $MBCN$ здається більшим за рівний йому нижній прямокутник $AMND$. Цей вид ілюзії впливає іноді на саме планування креслень. Якщо ж візьмемо не ізольований відрізок, а відрізок, що міститься всередині якоїсь геометричної фігури, то тут закономірності ілюзії можуть бути іншими. Наприклад, якщо візьмемо рівнобедрений $\triangle ABC$ і з його вершини опустимо перпендикуляр BD (рис. I,г), а потім поділимо його пополам, то верхня його частина BE буде здаватись все не більшою від нижньої ED , а, навпаки, меншою.

Отже, тут вирішальне значення має не положення зверху чи знизу, а приналежність до вершини чи основи перпендикуляра. Ця закономірність зберігається і в тому випадку, коли ми змінимо положення трикутника. На рис. I,д $\triangle ABC$ повернуто вниз вершиною.

2. Переоцінка заповненого простору. При оцінці деяких величин, наприклад віддалі між точками, окремими об'єктами і т.д., необхідно враховувати заповнений між ними простір чи ні, бо заповнений простір здається більшим за рівновеликий йому незаповнений простір. Відрізок BC (рис. I,е) здається більшим за AB , а насправді вони рівні. Ця ілюзія

часто вводить в оману креслярів, які, побудувавши лінійний масштаб "на око", коректують його, вносячи при цьому помилку. Форма фігури, що обмежує довжину відрізка, також впливає на зорові сприйняття, викликуючи неправну оцінку його довжини (рис. I,е, I,ж - фігури Мюллера-Лієра).

З. Переоцінка гострих кутів. Гострі кути здаються нам більшими, ніж вони є в дійсності, що часто приводить до ілюзорних змін в геометричних фігурах (рис. I,з). Дві паралельні лінії через переоцінку величин гострих кутів α , β , γ , і δ здаються нам не паралельними, а трохи звужуються на кінцях. І навпаки, тупі кути здаються меншими, ніж вони є насправді. Так, наприклад, дві паралельні лінії AB і CD (рис. I,и) утворюють з лініями BE і DF тупі кути ABE і CDF . Але через недооцінку величини останніх, ці кінці змішуються і здаються непаралельними. Нам здається, що на кінцях B і D віддаль між ними менша, ніж на кінцях A і C . До цього типу ілюзій відносяться ілюзії Херінга (рис. 2,а і 2,б) і фігури Целльнера (рис. 2,в), де ряд паралельних прямих, перетятах рядом інших ліній, здається непаралельним. Сюди відносяться також ілюзії скривлення прямої (рис. 2,г), якщо кут нахилу прямої поступово змінюється. Через переоцінку величини гострих кутів і недооцінку тупих дістаемо явище ілюзорної деформації різних геометричних фігур (рис. 2,д; 2,е).

Особливе значення в кресленні має ілюзія Логгендорфа. Вона полягає в зміщенні перетинних ліній при паралельних прямих. Це добре видно на рис. 2,е, де дві паралельні лінії AB і CD перетинаються третьою. Нам здається, що KL - пряма. Насправді ж вона ламана, а прямою є KM . Якщо взяти ряд паралельних широких смужок і перетяти їх тонкими лінійми, то ілюзія ще збільшиться (рис. 2,ж). Тут спостерігається "ілюзія додавання". Ефект ілюзії обернено пропорціональний розмірам гострого кута перетину. Ілюзія Логгендорфа треба мати на увазі при проведенні точних побудов. В практиці геометричних побудов особливо часто доводиться визначати положення кутової точки перетину ліній під гострим кутом. Як-

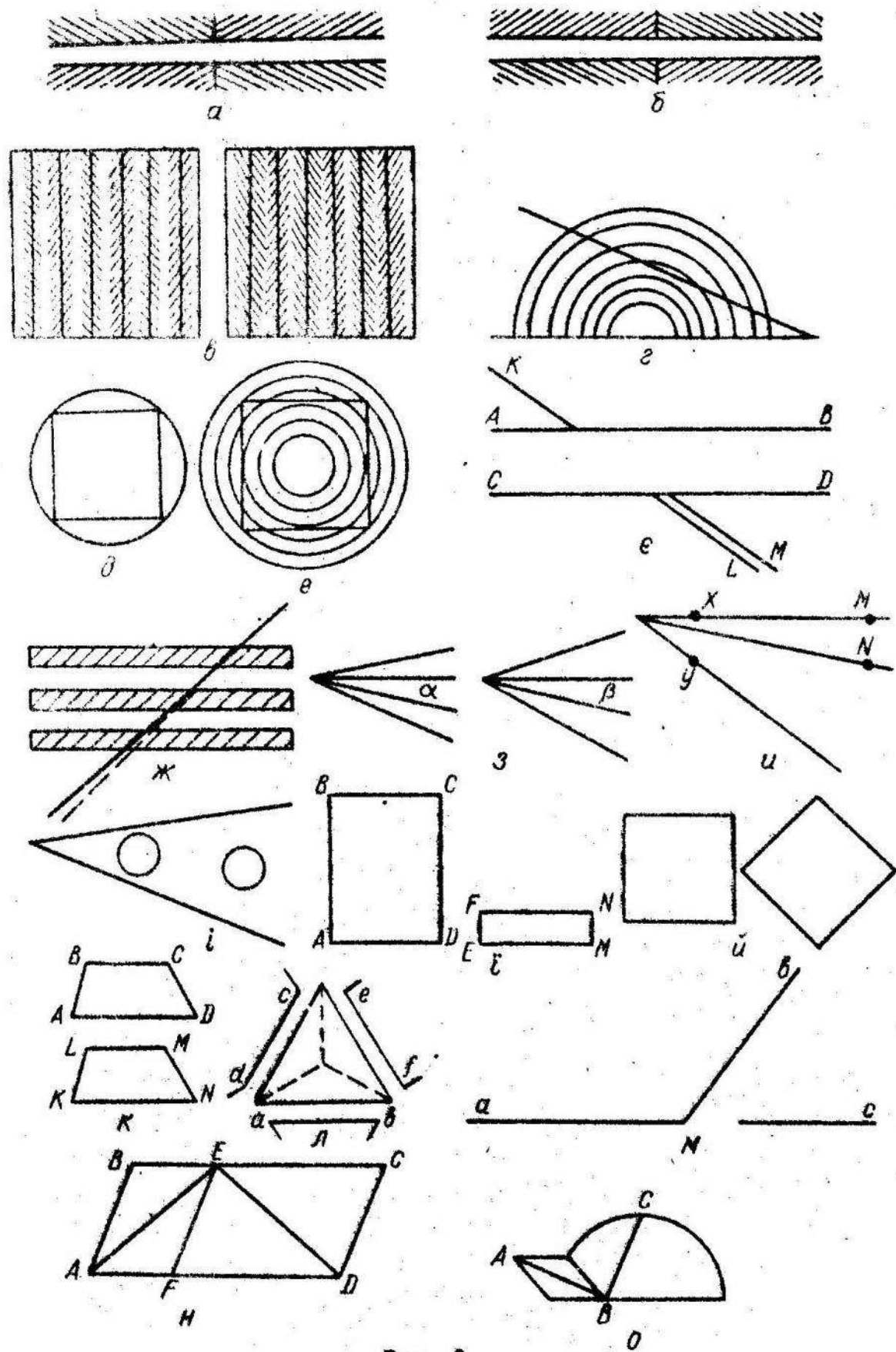


FIG. 2.

при цьому одна з цих ліній трохи товстіша від другої (а це найімовірніше), та треба з особливою увагою встановлювати ніжку циркуля чи гострий кінець олівця, якщо ми хочемо точно фіксувати цю точку.

4. Ілюзії контрасту. Ілюзія контрасту полягає в тому, що дана геометрична фігура, яка межує з іншими фігурами, що відрізняються від неї якоюсь ознакою, змінюється в бік більшого підкреслення цієї ознаки. Так, наприклад, рівні кути α і β (рис. 2, а) здаються нерівними тому, що межують з іншими кутами. Кут α , що межує з більшими, ніж він, кутами, здається меншим за рівний йому кут β , який межує з меншими кутами, через що здається більшим; ніх є насправді. На рис. 2, и віддаль між точками X і Y здається більшою за віддаль між точками M і N . Присутність третьої прямої ще більш посилює ілюзію. Ефект ілюзії залежить ще від взаємного розміщення фігур. На рис. 2, і між сторонами кута нарисовано два рівних кола. Коло, що знаходиться ближче до вершини кута здається більшим. Чим гостріший кут, тим ефект ілюзії більший. Тож саме, з огляду на значну різницю висот прямокутників $ABCD$ і $EFGM$ (рис. 2, 7); нам здається, що основа AD першого чотирикутника менша за EM другого, в той час як насправді вони рівні.

5. Вплив взаємного розміщення фігур. Геометричні фігури або окремі їх частини сприймаються нами не ізольовано від сусідніх геометричних фігур, а в певному взаємозв'язку. Так, наприклад, на рис. 2, й, к, л показані: два рівні квадрати, проте квадрат, поставлений косо, нам здається більшим; трапеція $ABCD$ здається більшою за рівновелику їй трапецію $KLMN$; рівні відрізки ab , cd і ef здаються нерівними. На рис. 2, м маємо два відрізки, a і c , одної прямої, а нам здається, що відрізок C лежить вище від відрізка a . Ілюзія щезає, якщо змінити взаємне розміщення прямих.

Значна частина ілюзій є наслідком оцінки геометричної фігури в цілому і перенесення її властивостей на окремі частини фігури. Наприклад, діагональ ED (рис. 2, н), що належить більшому паралелограмові $ECDF$,

здається довшою за діагональ AE меншого паралелограма, в той час як воно рівні. Аналогічну картину ми дістанемо, якщо порівняємо величини відрізків AB і BC (рис. 2,0), які нам здаються нерівними.

З наведених прикладів аже можна бачити, яке велике значення мають ілюзії в кресленні. При здійсненні геометричних побудов необхідно їх враховувати, щоб досягти якнайбільшої точності. Для цього при виконанні будь-якого креслення не треба покладатись на зорове враження і не вносити в нього ніяких виправлень "на око" без попередніх уважних вимірювань. Щоб зменшити вплив ілюзії Поггендорфа на точність побудов рисунок треба виготовляти лініями однакової товщини. При визначенні точок перетином двох прямих треба перевіряти їх прямолінійність просвіркою лінійкою та уникати перетину їх під дуже гострим кутом, пам'ятаючи, що ефект ілюзії обернено пропорціональний розмірам гострого кута перетину.

Література

1. С. Толанский И. Оптические иллюзии. "Мир", М., 1967.
2. И. Д. Артамонов. Иллюзии зрения. "Наука", М., 1969.
3. Kazimierz Bartel. Perspektywa malarcka, том II, Warszawa, 1958.

—0—

УДК 611

О.М.ВВЕДЕНСЬКИЙ

ДУАЛЬНІСТЬ У ЕЛІПТИЧНИХ КРИВИХ НАД КВАЗІЛОКАЛЬНИМ ПОЛЕМ

Нехай k — квазілокальне поле (тобто повне дискретно нормоване поле з алгебраїчно замкненим полем лішків характеристики ρ ; далі з суто технічних міркувань $\rho > 3$).

Метою цієї роботи є побудова аналога квазілокальної теорії полів

класів мультиплікативної групи [1] для еліптичних кривих.

Питання про побудову квазілокальної теорії дуальності для абсолютної многовидів було поставлене І.Р.Шафаревичем в роботі [2], де фактично розв'язано випадок $q \neq p$ компонент (див. також у [3]).

1. Позначення. Вони в основному стандартні. \mathcal{O}_k - кільце цілих, \mathcal{U}_k - група одиниць, P - максимальний ідеал кільця цілих - все у полі k ; ℓ/k - окінчене розширення Галуа, $g = Gal(\ell/k)$; \mathcal{O}_ℓ , \mathcal{U}_ℓ - відповідні об'єкти для поля ℓ . Якщо $X-g$ - модуль, то $\mathcal{H}^n(g, X)$ ($n \in \mathbb{Z}$) - тейтівські когомології.

Нехай A - еліптична крива над k , V - представник класу з групи $\mathcal{H}(k, A)$ головних однопідніх просторів над A . $m = \sum z_i (z_i -$ реальні точки V) - дивізор на кривій V з сепарабельними носіями, раціональний над k . Через V/m позначимо звичайну [4] факторизацію $V_{mod m}$. Якщо X - схема над \mathcal{O}_k , то $X_n = X \otimes_{\mathcal{O}_k} \mathcal{O}_\ell / P^n$ ($n \in \mathbb{Z}, n > 0$). Якщо X - схема над схемою Y , то $\underline{Pic}^{\circ}_{X/Y}$ - зв'язана компонента схеми Пікара [5], якщо остання існує. Врешті, якщо X - проалгебраїчна група, то $\pi_1(X)$ - фундаментальна група групи X ; якщо X - проалгебраїчна група розмірності нуль, то X^* - її дуальна.

2. Аналог ізоморфізму взаємності. Нехай $M(V)$ - мінімальна модель для V , тобто регулярна схема над \mathcal{O}_k , для якої $M(V) \otimes_{\mathcal{O}_k} k = V$. Нескладне коректування міркувань дає існування деякої "мінімальної моделі" $M(V/m)$ для V/m у відношенні до морфізму факторизації $V \rightarrow V/m$ (див. [4]). Застосування до даної ситуації методики теореми існування відносних схем Пікара [5] визначає морфізм схем

$$\underline{Pic}^{\circ}_{M(V/m)/\mathcal{O}_k} \longrightarrow \underline{Pic}^{\circ}_{M(V)/\mathcal{O}_k}$$

Нехай ℓ вибрано так, що $\ell \supset k(P_i)$ для всіх $P_i \in supp m$. Запишемо стандартно [4] ядра у стрічках комутативних діаграм

$$\begin{array}{ccc} \left(\frac{\text{Pic}}{\text{Pic}}_{\mathcal{U}(V/m)/U_e}\right)_n & \longrightarrow & \left(\frac{\text{Pic}}{\text{Pic}}_{\mathcal{U}(V/U_e)}\right)_n \\ \downarrow & & \downarrow \\ \left(\frac{\text{Pic}}{\text{Pic}}_{\mathcal{U}(V/m)/U_e}\right)_{n+s} & \longrightarrow & \left(\frac{\text{Pic}}{\text{Pic}}_{\mathcal{U}(V)/U_e}\right)_{n+s} \end{array}$$

Застосуємо до цих діаграм з ядрами функтор Грінберга, потім по одержаних діаграмах квазіалгебраїчних груп перейдемо до проективної границі і отримаємо точну послідовність проалгебраїчних груп

$0 \rightarrow U_e \rightarrow H_e \rightarrow F_e \rightarrow A_e^{\circ} \rightarrow 0$,
де H_e° - зв'язна компонента проалгебраїчної групи H_e . Звідси маємо точну послідовність \mathfrak{g} -модулів

$$0 \rightarrow \pi_*(U_e) \rightarrow \pi_*(H_e) \rightarrow \pi_*(F_e) \rightarrow \pi_*(A_e^{\circ}) \rightarrow 0,$$

яка визначає гомоморфізм

$$\begin{aligned} \delta_2(V, m) : \pi_*(A_k) &\longrightarrow \mathcal{H}^2(g, \pi_*(U_e)) \subset \\ &\subset \lim_{\ell \rightarrow k_s} \mathcal{H}^2(g, \pi_*(U_\ell)) \xrightarrow{\sim} \mathbb{Q}/\mathbb{Z}. \end{aligned}$$

Теорема I. $\delta_2(V, m)$ залежить лише від класу головних однорідних просторів, у якому лежить V , і визначає, таким чином, відображення множин

$$\mathcal{H}^2(k, A) \xrightarrow{\theta} \pi_*(A_k)^*,$$

яке є ізоморфізмом відповідних групових структур.

Доведення теореми I - це доведення гомоморфності θ за допомогою Вейлівського означення добутку двох головних однорідних просторів і техніки, а також пряме обчислення аналога ізоморфізму взаємності для простих цикліческих розширень у кривих трьох основних типів.

3. Уточнення аналога ізоморфізму
зважимості - зважодія фільтрації.

Задано зростаючу фільтрацію у $\mathcal{H}'(k, A)$ підгрупами ($n \in \mathbb{Z}, n > 0$)

$$(\mathcal{H}'(k, A))^n = \begin{cases} \text{індуктивна границя } \mathcal{H}'(g, A_e) \text{ по всіх } \ell/k \text{ так-} \\ \text{ких, що } g^n - \{1\} \text{ } (n\text{-на підгрупа верхньої фільт-} \\ \text{рації у } g \text{ - однійчна).} \end{cases}$$

Для кривих третього основних типів некай A_k° - ав'язана компонента A_k ;

$A_k^{(n)} = T_k^{(n)}$ - n -на підгрупа фільтрації Летці підгрупи Летці
 $T_k = T_k^{(1)}$ групи A_k для всіх $n \geq 1$. Аналогічно визна-
чається фільтрація у групі A_k для довільної кривої A над k (по-
трібно використати $M(A)$).

Нехай для $n \in \mathbb{Z}, n > 0$

$$(\pi_*(A_k)^*)^n = \begin{cases} \text{група всіх характерів } \pi_*(A_k) \text{, які тривіальні на} \\ \text{підгрупі } \pi_*(A_k^{(n)}). \end{cases}$$

Теорема 2. $\Theta((\mathcal{H}'(k, A))^n) \subset (\pi_*(A_k)^*)^n$ для всіх $n \in \mathbb{Z}, n > 0$.

4. Когомології вищих розмірностей.

Розглядаючи добуток g -модулів за Тейтом.

$$\mathcal{H}'(\ell, A) \times \pi_*(A_k) \longrightarrow Q/Z,$$

який визначено теоремою 1, дістаемо:

Теорема 3. Існує добуток

$$\mathcal{H}'^n(g, A^\ell) \times \mathcal{H}'^{1-n}(g, \pi_*(A_k)) \longrightarrow Q/Z,$$

який встановлює дуальності в Центригінім групп-множників для всіх $n \in \mathbb{Z}$.

Доведення теорем 2 і 3 без особливих труднощів випливає з теореми 1
і обчислень.

Література

1. J. P. Serre. BSMF, 89, 1961.
2. Н. Р. Шафаревич. Труды МИАН, 64, 1961.
3. А. Р. Огг. Ann. Math., 76, 1962.
4. Я. П. Серр. Алгебраические группы и поля классов. М., 1968.
5. А. Гротендіек, Sem. Bourbaki, II 232, 236, 1961.

У.А.МІШКОВЕЦЬ

ПОБУДОВА ОДНОГО КЛАСУ МАЙХЕ ПЕРІОДИЧНИХ ФУНКІЙ

§ 1. Простір Q^2 майхе періодичних функцій

Майхе періодичні (м.п.) функції Степанова (S'), Вейля (W'), Безиковича (B') [1,2], Левітана [2,4], являють собою узагальнення м.п. функцій Бора [1,2,3] в сенсі узагальнення поняття майхе періоду і, відповідно, в сенсі наближення тригонометричними сумами в більш загальних метриках.

Означення м.п. функцій Бора, Степанова, Вейля, Ковансько і Левітана дається за допомогою поняття майхе періоду у відповідних метриках. Для кожного з цих класів доводиться теорема про наближення такої функції тригонометричними сумами у відповідній метриці. В якомусь розумінні трактується теорема єдності та виводиться рівність Парсеваля для $p = 2$.

Означення I. Функція $f(x)$ називається B' -майхе періодичною, якщо існує поспідовність тригонометричних сум $S_n(x) = \sum_{k=1}^{\infty} A_k e^{i k x}$; ($n = 1, 2, \dots$), для яких

$$\lim_{n \rightarrow \infty} \left\{ \overline{\lim}_{T \rightarrow \infty} \frac{1}{2T} \int_{-T}^T |f(x) - S_n(x)|^p dx \right\}^{1/p} = 0.$$

Означення I м.п. функцій Безиковича (B') за своїм характером відрізняється від означень м.п. функцій інших класів. Тут береться за означення те, що для інших класів є теоремою.

Число

$$\left\{ \lim_{T \rightarrow \infty} \frac{1}{2T} \int_{-T}^T |f(x)|^p dx \right\}^{1/p}, \quad p \geq 1$$

називається нормою функції простору B' .

В класі м.п. функцій Банаховича (B') справедлива теорема Picard-Fijera.

Дамо означення одного класу м.п. функцій, яке основане на новій ідеї.

Означення 2. Суміжність E вимірних локально інтегровних комплекснозначних функцій на дійсній прямій, для яких середнє значення

$$\mathcal{M}_t \{ f(x+t) \bar{g(t)} \} = \lim_{T \rightarrow \infty} \frac{1}{2T} \int_{-T}^T f(x+t) \bar{g(t)} dt; \quad f(x), g(x) \in E$$

існує рівномірно для всіх $x \in (-\infty, \infty)$, назовемо простором Q' .

З властивостей м.п. функцій Бора випливає, що простір м.п. функцій Бора є підпростором простору Q' .

Під скалярним добутком в просторі Q' розуміємо число

$$(f, g) = \mathcal{M} \{ f(t) \bar{g(t)} \} = \lim_{T \rightarrow \infty} \frac{1}{2T} \int_{-T}^T f(t) \bar{g(t)} dt.$$

Функція

$$R_f(x) = \mathcal{M} \{ f(x+t) \bar{f(t)} \} = \lim_{T \rightarrow \infty} \frac{1}{2T} \int_{-T}^T f(x+t) \bar{f(t)} dt \quad (1)$$

називається згорткою функції $f(x)$.

Число

$$\sqrt{R_f(0)} = \left\{ \lim_{T \rightarrow \infty} \frac{1}{2T} \int_{-T}^T |f(t)|^2 dt \right\}^{1/2} = \|f\| < \infty \quad (2)$$

називається нормою функції $f(x)$.

Покажемо, що простір Q^2 є нормованим простором.

Справді, $\|f\| > 0$; $\|\lambda f(t)\| = |\lambda| \|f(t)\|$. Залишається показати, що $\|f + g\| \leq \|f\| + \|g\|$.

При будь-якому фіксованому T будемо мати

$$\begin{aligned} \frac{1}{2T} \int_{-T}^T |f(t) + g(t)|^2 dt &= \frac{1}{2T} \int_{-T}^T [f(t) + g(t)] [\overline{f(t)} + \overline{g(t)}] dt = \\ &= \frac{1}{2T} \int_{-T}^T |f(t)|^2 dt + \frac{1}{2T} \int_{-T}^T |g(t)|^2 dt + 2 \frac{1}{2T} \int_{-T}^T \operatorname{Re}[f(t) \overline{g(t)}] dt. \end{aligned}$$

З нерівності

$$|\operatorname{Re}[f(t) \overline{g(t)}]| \leq |f(t) \overline{g(t)}|$$

за нерівності Коши-Буняковського

$$|(f, g)| \leq \|f\| \cdot \|g\|$$

одержуємо

$$\left\{ \frac{1}{2T} \int_{-T}^T \operatorname{Re}[f(t) \overline{g(t)}] dt \right\}^2 \leq \frac{1}{2T} \int_{-T}^T |f(t)|^2 dt \cdot \frac{1}{2T} \int_{-T}^T |g(t)|^2 dt.$$

Тому

$$\frac{1}{2T} \int_{-T}^T |f(t) + g(t)|^2 dt \leq \left\{ \sqrt{\frac{1}{2T} \int_{-T}^T |f(t)|^2 dt} + \sqrt{\frac{1}{2T} \int_{-T}^T |g(t)|^2 dt} \right\}^2.$$

При переході до границі, $T \rightarrow \infty$, одержуємо

$$\|f + g\| \leq \|f\| + \|g\|.$$

При $\overline{g(t)} = e^{-i\lambda t}$ (λ - дійсне число) в означення 2 одержуємо

$$\mathcal{M}\{f(x+t)e^{-itx}\} = \lim_{T \rightarrow \infty} \frac{1}{2T} \int_{-T}^T f(x+t)e^{-itx} dt = A_f(\lambda) e^{i\lambda x}, \quad (3)$$

т.е.

$$A_f(\lambda) = \lim_{T \rightarrow \infty} \frac{1}{2T} \int_{-T}^T f(t)e^{-it\lambda} dt. \quad (4)$$

Функції (3) будемо називати компонентами функції $f(x)$, а лінію $e^{i\lambda x}$ - базою простору \mathcal{Q}^* . Спектральну функцію (4) можна трактувати як числову "проекцію" функції $f(x)$ на базу $e^{i\lambda x}$. Природно називати функції простору \mathcal{Q}^* вектор-функціями.

За допомогою диференціалу відомо можна зробитися, що спектральна функція $A_f(\lambda)$ відмінна від нуля не більше як на істотній інтервалі значень аргумента λ .

Сума компонент

$$\sum_{k=1}^{\infty} A_f(\lambda_k) e^{i\lambda_k x}; \quad A_f(\lambda_k) \neq 0$$

є рядом Фур'є функції $f(x)$.

Будь-який функції $f(x) \in \mathcal{Q}^*$ отримується у відповідності ряд Фур'є

$$f(x) \sim \sum_{k=1}^{\infty} A_f(\lambda_k) e^{i\lambda_k x}.$$

Доклади, для зручності, будемо писати так:

$$f(x) \sim \sum_{\lambda} A_f(\lambda) e^{i\lambda x} = \sum_{k=1}^{\infty} A_f(\lambda_k) e^{i\lambda_k x}.$$

Тригонометричний мінімочлен $S_n(x) = \sum_{k=0}^n A_k e^{i\lambda_k x}$ буде можна записувати так: $S_n(x) = \sum_{k=0}^n A(\lambda_k) e^{i\lambda_k x}$, бо $A_{\lambda_k}(x) \neq 0$ лише для $\lambda = \lambda_k$, тому $A_k = A(\lambda_k)$.

Теорема 1. Спектральна функція $A_f(\lambda)$ задовільняє нерівність

$$|A_f(\lambda) - A_f(\lambda_0)| \leq \sqrt{2} \|f\|,$$

де λ_0 - довільно фіксоване.

Теорема безпосередньо випливає з нерівності Буніковського-Іварда

$$\begin{aligned} |A_f(\lambda) - A_f(\lambda_0)| &= \left| \lim_{T \rightarrow \infty} \frac{1}{2T} \int_{-T}^T [e^{-i\lambda x} - e^{-i\lambda_0 x}] f(x) dx \right| \leq \\ &\leq \left\{ \lim_{T \rightarrow \infty} \frac{1}{2T} \int_{-T}^T |e^{-i\lambda x} - e^{-i\lambda_0 x}|^2 dx \right\}^{1/2} \left\{ \lim_{T \rightarrow \infty} \frac{1}{2T} \int_{-T}^T |f(x)|^2 dx \right\}^{1/2} \end{aligned}$$

та рівності

$$|e^{-i\lambda x} - e^{-i\lambda_0 x}|^2 = 2[1 - \cos(\lambda - \lambda_0)x].$$

Наочідок. Якщо $A_f(\lambda) \neq 0$, то $\|f\| > 0$.

Якщо $\|f\| = 0$, то $A_f(\lambda) = 0$.

§ 2. Теорема єдності в просторі Q^2

Двої різними функціям $f(x), g(x)$ відповідають різні ряди Фур'є тоді і лише тоді, коли відповідні їм спектральні функції не тотожні, тобто $A_f(\lambda) - A_g(\lambda) \neq 0$.

Теорема 2. (єднота). В просторі Q^2 умова

$$\|f - g\| > 0 \tag{5}$$

є необхідною і достатньою для того, щоб $A_f(\lambda) - A_g(\lambda) \neq 0$.

Необхідність. Позначимо через $A_h(\lambda)$ спектральну функцію різниці $f(x) - g(x) - h(x)$. Якщо $A_h(\lambda) - A_f(\lambda) - A_g(\lambda) \neq 0$, то з наслідку теореми 1 одержуємо, що $\|h\| = \|f - g\| > 0$.

Достатність. Доведемо, що з умови $\|h\| - \|f - g\| > 0$ випливатиме, що $A_h(\lambda) = A_f(\lambda) - A_g(\lambda) \neq 0$.

В просторі Q^2 справедлива формула

$$\begin{aligned} A_{R_f}(\lambda) &= \mathcal{U} \left\{ R_f(x) e^{-i\lambda x} \right\} = \\ &= \mathcal{U}_x \left\{ \mathcal{U}_t \left\{ f(x+t) \overline{f(t)} \right\} e^{-i\lambda x} \right\} = \\ &= \mathcal{U}_t \left\{ \mathcal{U}_x \left\{ f(x+t) e^{-i\lambda x} \right\} \overline{f(t)} \right\}, \end{aligned} \tag{6}$$

і оскільки середнє, яке визначає функцію $R_f(x)$, інше рівномірно, то від перестановки порядку середніх результат не зміниться.

На підставі формул (6) одержуємо, що спектральна функція $A_{R_f}(\lambda)$, згортки функції $f(x)$, визначається через спектральну функцію $A_f(\lambda)$ так:

$$A_{R_f}(\lambda) = |A_f(\lambda)|^2.$$

Тому

$$R_f(x) \sim \sum_{n=1}^{\infty} |A_f(\lambda_n)|^2 e^{i\lambda_n x}.$$

Оскільки тригонометричний ряд $\sum_{n=1}^{\infty} |A_f(\lambda_n)|^2 e^{i\lambda_n x}$ здійснюється рівномірно, то

$$S(x) = \sum_{n=1}^{\infty} |A_f(\lambda_n)|^2 e^{i\lambda_n x}$$

є н.п. функція Бора. З теореми єдності для таких функцій одержимо

$$R_f(x) = \sum_{n=1}^{\infty} |A_f(\lambda_n)|^2 e^{i\lambda_n x}. \tag{7}$$

В центральну співвідношенню, коли $x = 0$, з формул (2) і (7) одержуємо

рівність Парсеваля

$$R_f(0) = \|f\|^2 = \sum_{n=1}^{\infty} |A_n(a_n)|^2.$$

Звичайне рівняння Фур'євого конволюції до вимінення

$$R_h(0) = \|h\|^2 = \sum_{n=1}^{\infty} |B_n(a_n)|^2 = \sum_{n=1}^{\infty} |A_n(h_n)|^2. \quad (6)$$

Виводимо через $R_h(x)$ згортку рівнані $f(x) - g(x) = h(x)$

$$\begin{aligned} R_h(x) &= \lim_{T \rightarrow \infty} \frac{1}{2T} \int_{-T}^T h(x+t) \bar{h(t)} dt = \\ &= \lim_{T \rightarrow \infty} \frac{1}{2T} \int_{-T}^T [f(x+t) \bar{f(t)} - g(x+t) \bar{f(t)} - f(x+t) \bar{g(t)} + g(x+t) \bar{g(t)}] dt. \end{aligned}$$

Використовуючи формулу (6), після досить перетворень одержимо

$$A_{h_n}(x) = |A_n(x) - A_n(0)|^2.$$

Тому

$$R_h(x) = \sum_n |A_n(x) - A_n(0)|^2 e^{-i2nx}. \quad (9)$$

Рівність Парсеваля для різних значень x так:

$$R_h(0) = \|h\|^2 = \|f - g\|^2 = \sum_n |A_n(x) - A_n(0)|^2. \quad (10)$$

З цієї формули і умови $\|f - g\| > 0$ одержуємо, що

$$A_f(x) - A_g(x) \neq 0. \text{ Теорема доведена.}$$

Теорему однозначності в просторі Q^* можна трактувати ще так: функція $f(x) \in Q^*$ однозначно визначається своїми рядом Фур'є лише з точністю до "нульових" функцій $h(x)$ в нормі $\|h\| = 0$.

Іншими словами, якщо і.п. функції $f(x) \in Q^*$ з кор-

мою $\|f\| > 0$, яка була б ортогональна до всіх функцій тригонометричної системи

$$\{e^{i\lambda x}\}, \quad \lambda \in (-\infty, \infty). \quad (II)$$

Це означає, що $A_f(\lambda) \neq 0$, якщо $\|f\| > 0$.

Цей факт можна виразити таким терміном: тригонометрична система (II) повна в класі м.п. функцій $f(x) \in Q^2$.

Спираючись на факт повноти, доводиться така теорема для простору Q^2 .

Теорема (Picca-Fisher). Необхідною і достатньою умовою того, щоб довільно заданий тригонометричний ряд $\sum_{k=1}^{\infty} A(\lambda_k) e^{i\lambda_k x}$ був рядом Фур'є деякої м.п. функції $f(x) \in Q^2$, є просто збіжність ряду $\sum_{k=1}^{\infty} |A(\lambda_k)|^2$.

Відомо, що довільно заданий тригонометричний ряд, якщо навіть сума квадратів модулів його коефіцієнтів збігається, не завжди є рядом Фур'є м.п. функції $f(x) \in W^2$.

Клас м.п. функцій простору Q^2 є ширший класу м.п. функцій W^2 .

Простір Q^2 є гільбертовий простір: нормований (норма породжена скалярним добутком), повний.

Простір S^2 є підпростором простору Q^2 .

Література

1. Г. Бор. Почти периодические функции. ГИТТЛ, 1934.
2. Б. М. Левитан. Почти периодические функции. ГИТТЛ, 1953.
3. Б. П. Демидович. Лекции по математической теории устойчивости. "Наука", 1967.
4. Б. М. Левитан. Новое обобщение почти периодических функций. Записки Харьков. науч. иссл. ин-та мат. и мех., т. XIV, 2, 1938.

С.В.ДЕНИСКО

ДЕЯКІ ТЕОРЕМИ ПРО ПОВЕРХНІ \sum ТА \triangle -ПОВЕРХНІ

I. Нехай конгруенція C згинатися в конгруенцію \tilde{C} . Якщо при цьому деяка лінійчаста поверхня конгруенції C еквівалентно відображається на відповідну лінійчасту поверхню конгруенції \tilde{C} , то ці поверхні називаються поверхнями \sum [1].

Нехай другі квадратичні форми Куммера конгруенцій C , \tilde{C} відповідно будуть [2] :

$$-[a(\omega_1^3)^2 + (b+b')\omega_1^3\omega_2^3 + c(\omega_2^3)^2];$$

$$-\left[\tilde{a}(\tilde{\omega}_1^3)^2 + (\tilde{b}+\tilde{b}')\tilde{\omega}_1^3\tilde{\omega}_2^3 + \tilde{c}(\tilde{\omega}_2^3)^2\right].$$

Притому вважаємо, що опорні поверхні конгруенцій C , \tilde{C} в різними положеннями поверхні, яка здійснює згинання конгруенції C . Тоді диференціальні рівняння поверхонь \sum запишуться таким чином:

$$\left. \begin{aligned} (\omega_1^3)^2 + (\omega_2^3)^2 &= (\tilde{\omega}_1^3)^2 + (\tilde{\omega}_2^3)^2; \quad (a) \\ a(\omega_1^3)^2 + (b+b')\omega_1^3\omega_2^3 + c(\omega_2^3)^2 &= \\ = \tilde{a}(\tilde{\omega}_1^3)^2 + (\tilde{b}+\tilde{b}')\tilde{\omega}_1^3\tilde{\omega}_2^3 + \tilde{c}(\tilde{\omega}_2^3)^2. \quad (b) \end{aligned} \right\}$$

З цих рівнянь випливає така теорема.

Теорема I. Для того, щоб відповідні лінійчасті поверхні конгруенцій C , \tilde{C} були поверхнями \sum , необхідно і достатньо, щоб

1) сферичні відображення цих поверхонь згинанням конгруенції C в конгруенцію \tilde{C} ізометрично відображалися одно на друге;

2) отриканий лінії на цих поверхнях згинанням конгруенції C в конгруенцію \tilde{C} відображалися одна на другу.

Теорема 2. Якщо ізотропні конгруенції C , \tilde{C} містять в собі поверхні Σ , то згинанням конгруенції C в конгруенцію \tilde{C} середні поверхні цих конгруенцій відображаються одна на другу.

Доведення. В силу теореми I структурні лінії поверхонь Σ згинанням конгруенції C в конгруенцію \tilde{C} відображаються одна на другу. Але структурні лінії всіх лінійчастих поверхонь ізотропної конгруенції проходять через центр променя [2]. Тому, оскільки середня поверхня конгруенції є поверхня, що складається з центрів променів, справедливе наше твердження.

2. Нехай в тривимірному евклідовому просторі задано поле вектора \bar{v} . Зв'язуємо з кожною точкою простору ортонормальний репер векторів $\bar{e}_1, \bar{e}_2, \bar{e}_3$ так, щоб вектор \bar{e}_3 був напрямним ортом вектора \bar{v} . Тоді для довільного елементарного переміщення одержуємо

$$\left. \begin{aligned} d\bar{M} &= \omega^1 \bar{e}_2, \\ d\bar{e}_k &= \omega_k^1 \bar{e}_2. \end{aligned} \right\}, \quad (1)$$

Введемо позначення:

$$\begin{aligned} \omega_2^3 &= -\omega_3^2 = \rho, \quad \omega_1^3 = -\omega_3^1 = -q, \\ \omega_1^2 &= -\omega_2^1 = \tau. \end{aligned}$$

Оскільки форми $\omega^1, \omega^2, \omega^3$ лінійно незалежні, то

$$\rho = \rho_\alpha \omega^\alpha, \quad q = q_\alpha \omega^\alpha, \quad \tau = \tau_\alpha \omega^\alpha. \quad (2)$$

Повертаємо в кожній точці простору вектор \bar{v} на один і той же нескінченно малий кут φ . Будемо вважати, що вектор \bar{e}_3 вибрано в площині повертання вектора \bar{v} .

Лінійчасті поверхні поля, лінійний елемент яких в результаті повороту поля змінюється на нескінченно малу вище першого порядку малими відносно кута φ , називаються поверхнями Δ , а криві, навколо яких здійснюється поворот твірних поверхонь Δ , - кривими δ [3], [4].

Для того щоб крива була кривою δ , необхідно і достатньо, щоб еле-

ментарні переміщення вздовж цієї кривої задовільняють умови

$$\left. \begin{array}{l} \omega^2 z - \omega^3 q = 0, \\ \rho z = 0, \\ \omega^1 = 0. \end{array} \right\} \quad (3)$$

З третьої рівності системи (3) маємо таку теорему.

Теорема 1. Дотична до кривої δ міститься в площині, що проходить через вектор поля перпендикулярно до площини повороту.

Як видно з (3), існують тільки такі криві δ :

- 1) $z = 0, q = 0, \omega^1 = 0;$
- 2) $z = 0, \omega^3 = 0, \omega^1 = 0;$
- 3) $\rho = 0, \omega^2 z - \omega^3 q = 0, \omega^1 = 0,$

які відповідно будемо називати кривими $\delta_1, \delta_2, \delta_3$. Поверхні Δ , що відповідають кривим $\delta_1, \delta_2, \delta_3$, будемо називати поверхнями $\Delta_1, \Delta_2, \Delta_3$.

В силу (2) рівняння кривих $\delta_1, \delta_2, \delta_3$ записуються таким чином:

$$z_2 \omega^2 + z_3 \omega^3 = 0, \quad q_2 \omega^2 + q_3 \omega^3 = 0, \quad \omega^1 = 0; \quad (4)$$

$$z_2 \omega^2 = 0, \quad \omega^3 = 0, \quad \omega^1 = 0; \quad (5)$$

$$\rho_2 \omega^2 + \rho_3 \omega^3 = 0, \quad (\omega^2)^2 z_2 + \omega^2 \omega^3 (z_3 - q_2) - (\omega^3)^2 q_3 = 0, \quad (6)$$

$$\omega^1 = 0.$$

Теорема 2. Для того щоб криві простору були кривими δ_i , необхідно і достатньо, щоб вони були ортогональними траекторіями поля сталої вектора \bar{e}_i .

Доведення. Нехай дана крива простору є кривою δ_i . Тоді в силу (4₁), (4₂) з (1₂) маємо, що вектор \bar{e}_i - сталий. Крім цього, з (4₃) та (1₁) виходить, що дана крива є ортогональною траекторією поля вектора \bar{e}_i .

Очевидно і навпаки, якщо дана крива простору є ортогональною траекторією поля сталої вектора \bar{e}_i , то вона є кривою δ_i .

Теорема 3. Для того щоб криві простору були кривими δ_2 , необхідно і достатньо, щоб вони були векторними лініями поля вектора \bar{e}_2 і геодезичними лініями поля вектора \bar{v} .

Доведення. З (5) виходить, що криві простору є кривими δ_2 тоді і тільки тоді, коли вони є векторними лініями поля вектора \bar{e}_2 і коли

$$\zeta_2 = 0. \quad (7)$$

Оскільки умова (7) є необхідною і достатньою для того, щоб векторні лінії поля вектора \bar{e}_2 були геодезичними лініями поля вектора \bar{v} [5], то теорему доведено.

Теорема 4. Криві δ_2 , δ_3 є асимптотичні лінії поля вектора \bar{e}_2 .

Доведення. Рівняння асимптотичних ліній поля вектора \bar{e}_2 записуються таким чином [5] :

$$\left. \begin{aligned} \zeta_2(\omega^2)^2 + (\zeta_3 - q_2)\omega^2\omega^3 - q_3(\omega^3)^2 &= 0, \\ \omega^4 &= 0. \end{aligned} \right\} \quad (8)$$

Звідси та з рівнянь (5), (6) виходить справедливість теореми.

Теорема 5. Для того щоб векторні лінії поля вектора \bar{v} були лініями δ_1 , необхідно і достатньо, щоб вони були геодезичними лініями та лініями кривини поля вектора \bar{e}_2 .

Доведення. Рівняння ліній кривини поля вектора \bar{e}_2 мають вигляд [5]

$$\left. \begin{aligned} \zeta_3(\omega^3)^2 + (\zeta_4 + p_3)\omega^3\omega^4 + p_4(\omega^4)^2 &= 0, \\ \omega^2 &= 0. \end{aligned} \right\} \quad (9)$$

З рівнянь (4) маємо необхідні і достатні умови для того, щоб векторні лінії поля вектора \bar{v} були лініями δ_1 ,

$$\zeta_3 = 0, \quad q_3 = 0. \quad (10)$$

Але умова (10₂) є необхідною і достатньою, щоб векторні лінії поля вектора \bar{v} були геодезичними лініями поля вектора \bar{e}_2 [5], а умова (10₁),

з огляду на (9), є необхідною і достатньою, щоб ці лінії були лініями кривини поля вектора \bar{e}_s .

Отже, теорему доведено.

Теорема 6. Для того щоб векторні лінії поля вектора \bar{v} були лініями δ_s , необхідно і достатньо, щоб вони були асимптотичними лініями як поля вектора \bar{e}_s , так і поля вектора \bar{e}_s .

Доведення. З (6) видно, що векторні лінії поля вектора \bar{v} є лініями δ_s , тоді і тільки тоді, коли

$$\rho_s = 0, \quad q_s = 0. \quad (II)$$

Тому, якщо взяти до уваги (8), а також рівняння асимптотичних ліній поля вектора \bar{e}_s , переконуємося в справедливості теореми.

Теорема 7. Якщо асимптотичні лінії поля вектора \bar{e}_s невизначені, то і лінії δ_s невизначені.

Доведення. Оскільки асимптотичні лінії поля вектора \bar{e}_s невизначені, то з системи (8) маємо

$$\gamma_s = 0, \quad \gamma_s = q_s, \quad q_s = 0.$$

Тому рівняння (4) набувають вигляду

$q_s \omega^3 = 0, \quad q_s \omega^2 = 0, \quad \omega^4 = 0,$
звідки $q_s = 0$, що і доводить справедливість нашого твердження.

Література

1. С. В. Дениско. Про один клас метричних згинань прямолінійної конгруенції. Доповіді АН УРСР, 3, 1965, 288-290.
2. С. П. Фиников. Теория конгруэнций. Гостехиздат, М.-Л., 1950.
3. С. В. Дениско. Об одном классе линейчатых поверхностей прямолинейной конгруэнции. Тезисы докладов Второй всесоюзной геометрической конференции, Харьков, 1964.
4. С. В. Дениско, О. І. Приходська. Δ -поверхні прямолінійної конгруенції. Вісник Львів. ун-ту, сер. мех.-мат., вип. 3, 1967.

5. С. С. Б о и г е н с . Геометрия векторного поля. Известия АН СССР,
10, 1946, 73-96.

—0—

УДК 515.69

А.О.КОПИСТЯНСЬКИЙ

ПРО ДЕЯКІ УЗАГАЛЬНЕННЯ ПОБУДОВ АКСОНОМЕТРИЧНИХ
ПРОЕКЦІЙ

Згідно з теоремою Польке-Шварца, довільний чотирикутник є паралельною проекцією тетраедра, подібного заданому (рис. I). Ця узагальнююча

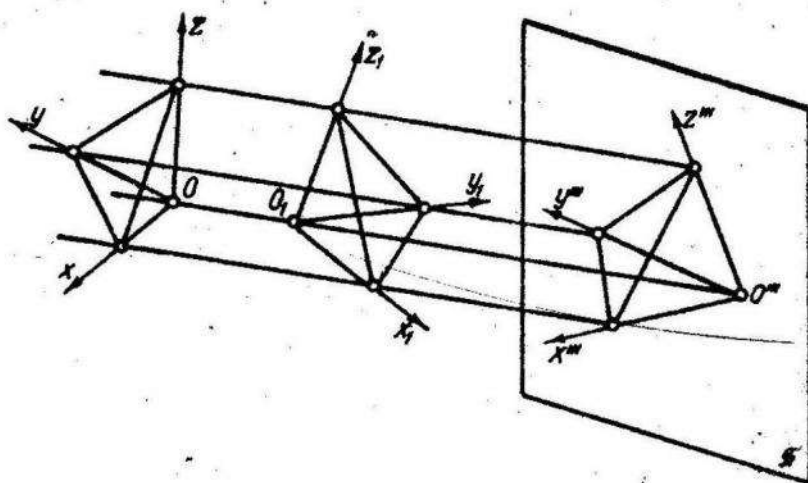


Рис. I.

основа, використана в побудові аксонометричних проекцій, зберігається тільки з певним наближенням точності до подібності.

Причини відхилень точності такі:

I. Перетворення побудов виконуються в графічній площині реальними інструментами.

2. Побудова позбавлена безпосереднього зв'язку між елементами перетворення. Точніше, аксонометрична проекція виконується шляхом переносу певних величин, які характеризують дану геометричну форму.

3. В побудові використовуються коефіцієнти спотоврення, дані з певним наближенням.

Проаналізувавши ці причини відхилення точності побудов аксонометричних проекцій, приходимо до висновку, що є можливість ліквідувати тільки дві останні причини неточностей побудов. А це можна здійснити введенням такої основи побудов, яка дозволяє безпосередній зв'язок заданого образу та його зображення.

В цій роботі будуть пояснені побудови аксонометричних проекцій і знаходження показників характеристики для довільних систем на базі ортогональних комплексних проекцій при збереженні безпосереднього зв'язку між ортогональними та аксонометричними проекціями.

В основу побудови входить довільне проектування (ортогональне, кооскутне, центральне) на довільно розміщену площину.

Як відомо, в ортогональних комплексних проекціях немає обмежень щодо розміщення площин проекцій. Тим більше, одна із них може бути прийнята довільно. Саме ця площа може бути аксонометричною площею. Як перший приклад, приймемо, що аксонометрична площа - горизонтально проектуюча, а проектування - ортогональне (рис. 2). Приймемо, що $f_\alpha = z$ і $h_\alpha = y$.

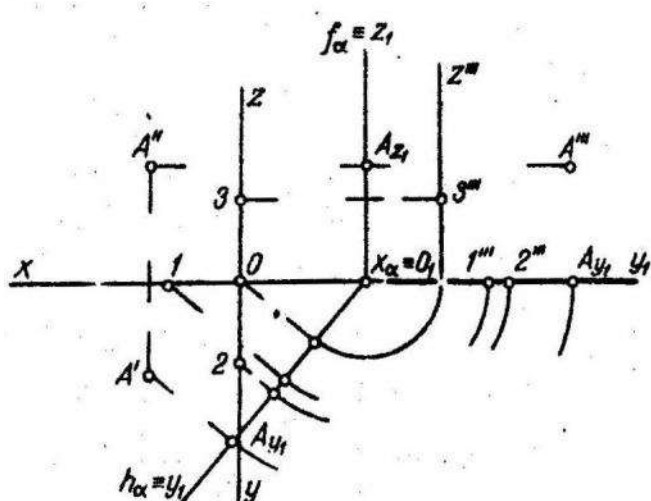


Рис. 2.

площиною. Як перший приклад, приймемо, що аксонометрична площа - горизонтально проектуюча, а проектування - ортогональне (рис. 2). Приймемо, що $f_\alpha = z$ і $h_\alpha = y$. Знаходимо суміщене положення y''' і при збереженні перпендикулярності ліній проекційного зв'язку будуємо аксонометрич-

не зображення точки A'' . Для встановлення розміщення аксонометричних осей x'', y'', z'' , а також для встановлення коефіцієнтів спотворення проектуємо, як і раніше, відрізки O_1, O_2, O_3 , які відповідають однічним відрізкам осей x, y, z . У даному випадку x і y проектується в пряму.

Більш характерну побудову показано на рис. 3. Аксонометрична проекція побудована на площині загального положення, але також способом ортогонального проектування.

Побудова ортогональної проекції точки A на площину загального розміщення відбувається, як і в побудові на рис. 2, ускладненням лише в знаходженні суміщеної осі z_1 . Для встановлення масштабу спотворень знайдено також проекції відрізків осей x, y, z , відповідно O_1, O_2, O_3 . Таким чином, при збереженні безпосереднього зв'язку між образом та його зображенням побудовано основні елементи аксонометричного зображення. Очевидно, що в цій побудові можна міняти тип аксонометричних проекцій зміною нахилу площини. Наприклад, ізометричну проекцію можна одержати, якщо осі y і z утворюють в віссі x кут 45° .

Такий засіб перетворень можна використати також для побудов косокутних аксонометричних проекцій. З цією метою застосовується метод косокутного проектування на базі заданих ортогональних проекцій даної геометричної форми. В цій побудові (рис. 4) за аксонометричну площину прийнято горизонтально проектиручу.

Спочатку знаходимо напрямки ліній проекційного зв'язку, тому що в косокутному проектуванні лінії проекційного зв'язку не перпендикулярні

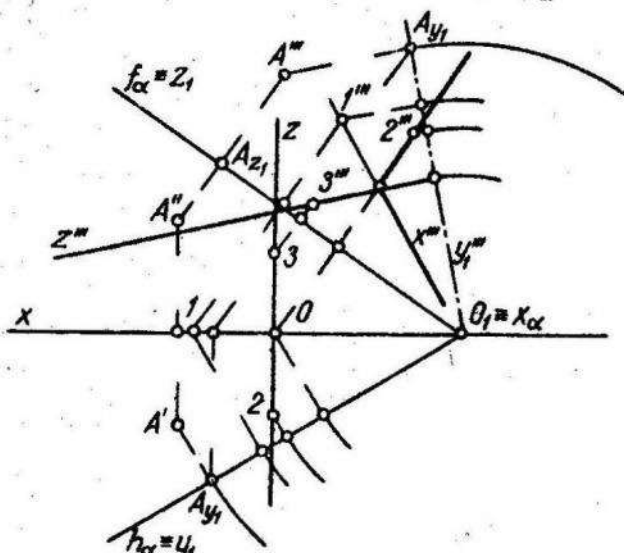


Рис. 3.

осям x , y , z . Ці напрямки можна знайти як лінії перетину проектуючих площин, що проходять через заданий напрямок проектування з аксонометричною площинами y , z , а далі побудови проводяться, як і раніше, при збе-

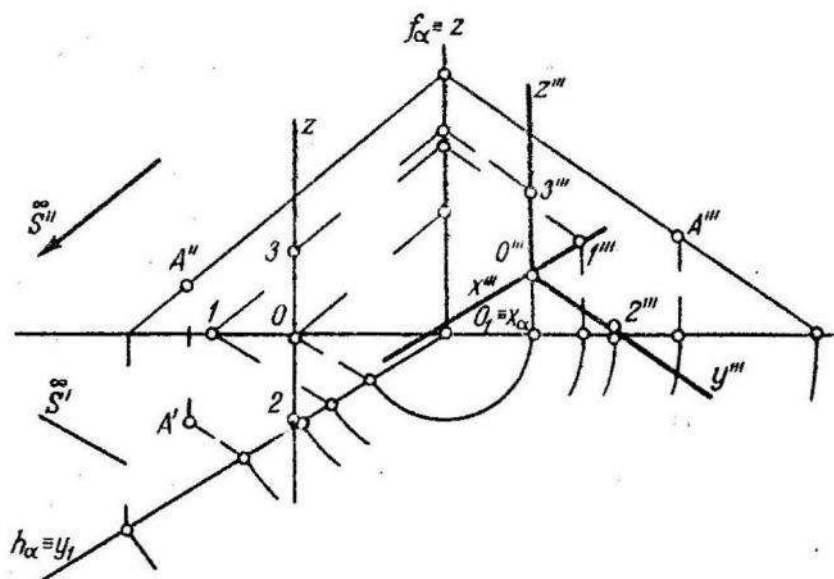


Рис. 4.

реженні напрямків ліній проекційного зв'язку. Для спрощення побудови на рис. 4 знайдено напрямки ліній проекційного зв'язку зразу для предметної точки А. Знаходження аксонометричної проекції одиничних відрізків осей x , y , z , - 01, 02, 03 виконується при збереженні ліній проекційного зв'язку, встановлених для першої побудови.

Як в побудовах прямокутних аксонометрических проекцій, так і в косокутних аксонометрических проекціях можна відтворити різні системи пляхом зміни розміщення площини та напрямку проектування.

Наприклад, косокутну діаметрію можна відтворити так: нехай аксонометрична площа збігається з фронтальною площею проекції і напрямок проектування встановлюється так, щоб одиничний відрізок осі y проектувався на аксонометричну площину вдвое меншим.

На рис. 5 показано побудову аксонометричної проекції точки А і оди-

ничних відрізків осей x , y , z (відповідно O_1 , O_2 , O_3) у косокутній діаметрі Γ .

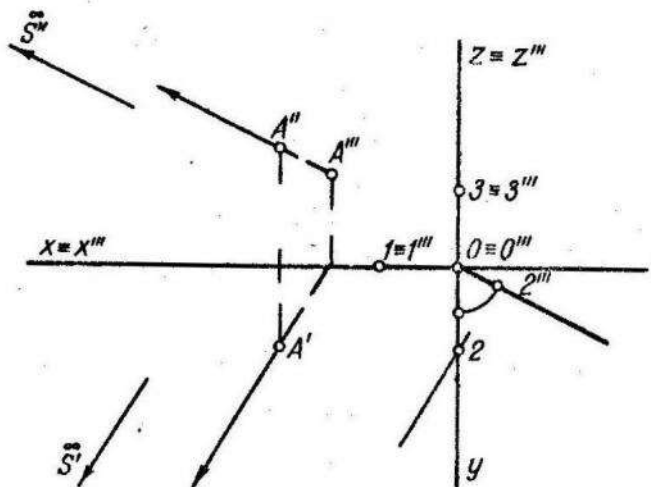


Рис. 5.

Для скорочення викладу побудови, зв'язані з центральними аксонометричними проекціями, вивяснимо без конкретних прикладів. Проекції окремих точок на довільну аксонометричну площину знаходяться як для косокутних проекцій з тим, що в дальших побудовах операції спрощуються. Для фіксації коєфіцієнтів спотворення осей x , y , z , в даному випадку в розумінні перетворень в проективній площині, зв'язане зі збереженням складного відношення чотирьох точок. Тому необхідно побудувати проекції трьох точокожної осі. Четверта точка може бути побудована як гармонічна.

Пропонована побудова аксонометричних проекцій має ряд переваг над побудовами, які використовуються на практиці, зокрема:

- 1) поширює можливості необмеженого використання довільних аксонометрических систем (на практиці використовуються тільки деякі системи, зокрема прямокутна діаметрія та ізометрія, та декілька косокутних проекцій);
- 2) збільшує точність побудов за рахунок безпосереднього зв'язку прообразу та зображення та за рахунок графічного перетворення коєфіцієнтів спотворення;

3) дає змогу практично використати центральні аксонометричні проекції;

4) об'єднує два методи побудови в єдиний метод.

—0—

УДК 517.944:947

МАРІЯ Д. МАРТИНЕНКО

ДЕЯКІ КРАЙОВІ ЗАДАЧІ ДЛЯ ЕЛІПТИЧНИХ СИСТЕМ

Розглядається задача про визначення розв'язку еліптичної системи рівнянь в частинних похідних другого порядку варіаційного типу від додатного визначеного функціоналу у тривимірному просторі з розрізом задовіль незамкненої поверхні типу Ляпунова за заданими на двох сторонах цієї поверхні граничними умовами типу Діріхле або типу Неймана.

I. Розглянемо еліптичну систему рівнянь другого порядку:

$$A(x, \frac{\partial}{\partial x}) u(x) = \sum_{i,j=1}^3 \frac{\partial}{\partial x_j} (B_{ij}(x) \frac{\partial u}{\partial x_i}) + \sum_{i=1}^3 \frac{\partial}{\partial x_i} (C'_i(x) u) - \\ - \sum_{i=1}^3 C_i(x) \frac{\partial u}{\partial x_i} + B_o u = 0, \quad (1)$$

де $B'_{ji} = B_{ij}$, $B_o = B'_o$ (птихом позначено транспонування). Систему (1) запишемо у вигляді

$$A(x, \frac{\partial}{\partial x}) u(x) = A_o(x, \frac{\partial}{\partial x}) u(x) + A'_i(x, \frac{\partial}{\partial x}) u(x) = 0, \quad (2)$$

де $A_o(x, \frac{\partial}{\partial x})$ - однорідний оператор другого порядку; $A'_i(x, \frac{\partial}{\partial x})$ - оператор, що містить всі інші похідні, $x = (x_1, x_2, x_3)$.

Має місце така теорема.

Теорема. Нехай існує така додатна в E_3 функція $F(x)$, що

¹⁾ Система (1) - загальна система другого порядку варіаційного типу.

$$\iiint_{\infty} \frac{dx}{F(x)} < \infty \text{ та } \frac{|\det(A_0(x, 2\pi i \lambda) - \mu I)|}{[F(x)]^{\mu} |\lambda|^{2\mu} + \lambda^{2\mu}} > \mu > 0 \quad (3)$$

для кожної точки $x \in E_j$, і для кожної дійсної точки $(\lambda, \lambda_1, \lambda_2, \lambda_3) \neq 0$;
 деякай λ^* - достатньо велике додатне число. Якщо при цьому коефіцієнти
 оператора $A_0(x, \frac{\partial}{\partial x})$ неперервно диференційовані три рази в E_j , кое-
 фіцієнти при похідних порядку j ($j = 0, 1$) в операторі $A_1(x, \frac{\partial}{\partial x})$
 неперервно диференційовані в E_j , j раз, причому коефіцієнти оператора
 $A_0(x, \frac{\partial}{\partial x})$ будуть порядку $O(F(x))$; похідні до другого порядку від
 цих коефіцієнтів, коефіцієнти оператора $A_1(x, \frac{\partial}{\partial x})$ та їх похідних до
 другого порядку ростуть не швидше, ніж $F(x)$ при $|x| \rightarrow \infty$, а система
 (2) являє собою систему Ейлера від додатно визначеного функціоналу, то-
 ді існує едина фундаментальна матриця системи (1) в рімановому просторі
 з простою гладкою замкненою лінією галуження.

Доведення теореми проводиться за допомогою інтегральних рівнянь.
 Цей метод є узагальненням методу Д.П.Мельник відносно ріманового просто-
 ру.

Далі вважаємо, що коефіцієнти системи (1) задовільняють умови
 сформульованої теореми.

2. Позначимо через S незамкнену поверхню типу Ляпунова, обмежену
 гладкою кривою \mathcal{T} , через \mathcal{R} - дволистий рімановий простір з лінією
 галуження \mathcal{T} , а через $K(x, y)$ - фундаментальну матрицю системи (1)
 у дволистому рімановому просторі, лінією галуження є крива \mathcal{T} .

Розглянемо такі країові задачі.

Задача типу Діріхле: визначити неперервно диференційованій у всьо-
 му тривимірному просторі, два рази неперервно диференційованій в просто-
 рі E_j , зовні поверхні S розв'язок системи (1), що зникає на безмежно-
 сті та приймає на даній незамкненій поверхні S задані значення f , та
 f_- при наближенні до поверхні S по напрямку додатної та від'ємної

нормалей відповідно. Тут f_+ та f_- - неперевні функції, визначені на S , які збігаються на контурі \mathcal{T} , що обмежує S .

Задача типу Неймана: визначити неперевно диференційований розв'язок системи в просторі E_3 , що задовільняє на поверхні S умови

$$B(y, \frac{\partial}{\partial y}) v(y) \Big|_{S_+} = f_+(y), \quad B(y, \frac{\partial}{\partial y}) v(y) \Big|_{S_-} = f_-(y), \quad (4)$$

де f_+ та f_- - задовільняють вказане вище припущення, а

$$B(y, \frac{\partial}{\partial y}) = 2 \sum_{i,j=1}^3 \tilde{B}_{ij}(y) v_i(y) \frac{\partial}{\partial y_i} + \sum_{i=1}^3 C'_i(y) v_i(y), \quad (5)$$

причому \tilde{B}_{ij} однозначно визначається із співвідношення

$$-2 \sum_{i,j=1}^3 \tilde{B}_{ij} v_i \tau_j - Re \left[\int A_o^{-1}(\beta \nu + \tau) d\beta \right]^{-1} \int \beta A_o^{-1}(\beta \nu + \tau) d\beta \sum_{i,j=1}^3 (\tilde{B}_{ij} + \tilde{B}_{ji}) v_i v_j, \quad (6)$$

де $\tilde{B}_{ij} + \tilde{B}_{ji} = 2 \tilde{B}_{ij}$, $\tilde{B}_{ij} = \tilde{B}'_{ji}$, ν та τ - одиничні вектори; $(\tau, \nu) = 0$, $\int (...) d\beta$ означає інтегрування по простому додатно орієтованому контурі, що охоплює β корені рівняння $\det A_o(\beta \nu + \tau) = 0$ з додатними уявними частинами,

$$A_o(\lambda) = \sum_{i,j=1}^3 B_{ij} \lambda_i \lambda_j, \quad \lambda = (\lambda_1, \lambda_2, \lambda_3).$$

Зобразимо розв'язок задачі типу Діріхле у вигляді

$$u(x) = \iint_S \mathcal{G}^{(n)}(x, y) \mu_+(y) dy, S + \iint_S \mathcal{G}^{(n)}(x, y) \mu_-(y) dy, S, \quad (7)$$

де

$$\mathcal{G}(x, y) = \sum_{i,j=1}^3 \frac{\partial K(x, y)}{\partial y_i} \tilde{B}_{ij} v_j + \sum_{i=1}^3 C_i(x) v_i(x) K(x, y), \quad (8)$$

²⁾ Оператор $B(y, \frac{\partial}{\partial y})$ вперше був введений М.С. Воломінкою [1].

³⁾ Це співвідношення вперше введено М.С. Воломінкою [1].

а $\mu_+(y)$ та $\mu_-(y)$ - невідомі густини, для визначення яких легко одержимо таку систему інтегральних рівнянь Фредгольма другого роду

$$\mu_+(x) + \iint_S G^{(v)}(x_+, y_+) \mu_+(y) d_y S + \iint_S G^{(v)}(x_-, y_-) \mu_-(y) d_y S = f_+(x), \quad (9)$$

$$\mu_-(x) + \iint_S G^{(v)}(x_-, y_+) \mu_+(y) d_y S + \iint_S G^{(v)}(x_-, y_-) \mu_-(y) d_y S = f_-(x).$$

Подамо розв'язок задачі типу Неймана у вигляді

$$v(x) = \iint_S K(x, y_+) \mu_+(y) d_y S + \iint_S K(x, y_-) \mu_-(y) d_y S, \quad (10)$$

де μ_+ , μ_- - невідомі густини, що визначаються з системи інтегральних рівнянь

$$\mu_+(x) + \iint_S B^{(v)}(x, \frac{\partial}{\partial x}) K(x_+, y_+) \mu_+(y) d_y S + \iint_S B^{(v)}(x, \frac{\partial}{\partial x}) K(x_-, y_-) \mu_-(y) d_y S = f_+(x);$$

$$\mu_-(x) + \iint_S B^{(v)}(x, \frac{\partial}{\partial x}) K(x_-, y_+) \mu_+(y) d_y S + \iint_S B^{(v)}(x, \frac{\partial}{\partial x}) K(x_-, y_-) \mu_-(y) d_y S = f_-(x). \quad (11)$$

Таке зображення розв'язку істотно спирається на те, що ядра відповідних інтегралів мають тільки точкову особливість в розглядуваному випадку [1]. Единість розв'язку сформульованих задач випливає з першої формули Гріна.

Дослідження резольвент систем (9), (11) показує, що всі поляги. Їх прості, дійсні та лежать зовні проміжку. Звідси випливає розв'язність систем (9) та (11) методом послідовних наближень.

Література

1. М. С. Воломіна. Про деякі властивості одного класу симплітичних систем диференціальних рівнянь із змінними коефіцієнтами. ДАН УРСР, № 10, 1958, 1033-1036.

2. Д. П. Мельник. Фундаментальна матриця системи варіаційного типу для необмеженого простору. ДАН УРСР, № 6, 1958.

3. М. Мартиненко і М. Мартиненко. Фундаментальні розв'язки симплітичних систем у рімановому просторі. ДАН УРСР, сер. А, № 603, 1968.

-0-

Я.Г.ПРИТУЛА

ПРО АБСОЛЮТНУ ЗБІЖНІСТЬ РЯДІВ ФУР'Є
МАЙКЕ ПЕРІОДИЧНИХ ФУНКІЙ

I. Нехай $f(x)$ - рівномірна майже періодична (р.м.п.) функція, спектр якої має єдину точку згущення $\lambda^* = 0$ [1]. Запишемо II ряд Фур'є в симетричній формі:

$$f(x) \sim \sum_{j=-\infty}^{\infty} A_j e^{i\lambda_j x} \quad (1)$$

($\lambda_j > 0$ при $j > 0$; $\lambda_{-j} = -\lambda_j$; $|A_j| + |A_{-j}| > 0$; $\lambda_j \neq 0$; $\lambda_{j+1} < \lambda_j$, при $j > 0$).

Для ряду (1) розглянемо такий ряд:

$$\sum_{j=-\infty}^{\infty} |A_j|^p |j|^r. \quad (2)$$

Нижче подаємо достатні умови збіжності ряду (2).

Розглянемо для р.м.п. функції $f(x)$ функцію

$$\mathcal{F}(x) = \int_{-\infty}^{\infty} e^{-t\delta} f(x-t) dt, \quad \delta > 0.$$

Легко показати, що $\mathcal{F}(x)$ є р.м.п. функція.

Нехай

$$\bar{\omega}_p(\delta, f) = \delta \left[M_x \left\{ \left| \int_{-\infty}^{\infty} e^{-t\delta} f(x-t) dt \right|^p \right\} \right]^{1/p}, \quad \delta > 0.$$

Як побачимо, величина $\bar{\omega}_p(\delta, f)$ у випадку, якщо р.м.п. функція $f(x)$ має єдину точку згущення $\lambda^* = 0$, є аналогом звичайного модуля неперервності для випадку $\lambda^* = \infty$.

Т е о р е м а I. Якщо для р.м.п. функції $f(x)$, спектр якої має точку згущення $\lambda^* = 0$, ряд

$$\sum_{v=0}^{\infty} 2^{-v(\delta + \frac{q-\beta}{q})} \bar{\omega}_\rho^\beta(\lambda_{2^v}, f) \quad (3)$$

$$1 < \rho \leq 2, \quad \frac{1}{\rho} + \frac{1}{q} = 1, \quad 0 < \beta < q, \quad \delta > 0$$

збігається, то і ряд (2) збігається.

Д о в е д е н и я. Запишемо ряд Фур'є функції $F(x)$

$$F(x) \sim \sum_{j=-\infty}^{\infty} \frac{\delta A_j}{\delta + i \lambda_j} e^{i \lambda_j x}.$$

Дійсно

$$\begin{aligned} \lim_{T \rightarrow \infty} \frac{1}{2T} \int_{-T}^T F(x) e^{-i \lambda_j x} dx &= M_x \{ F(x) e^{-i \lambda_j x} \} = \\ &= M_x \left\{ \delta \int_0^{\infty} e^{-\delta t} f(x-t) dt \cdot e^{-i \lambda_j x} \right\} = \\ &= \delta \int_0^{\infty} [M_x \{ f(x-t) e^{-i \lambda_j x} \} e^{-\delta t}] dt = \\ &= \delta A_j \int_0^{\infty} e^{-(\delta + i \lambda_j)t} dt = \frac{\delta A_j}{i \lambda_j + \delta}. \end{aligned}$$

З нерівності Хаусдорфа-Лінга [4], доведення якої переносяться на випадок р.м.п. функцій повністю, одержуємо

$$\bar{\omega}_\rho(\delta, f) = \delta \left[M_x \left\{ \left| \int_0^{\infty} e^{-\delta t} f(x-t) dt \right|^p \right\} \right]^{\frac{1}{p}} \geq \left[\delta^q \sum_{j=-\infty}^{\infty} \left| \frac{A_j}{\delta + i \lambda_j} \right|^q \right]^{\frac{1}{q}}, \quad 1 < \rho \leq 2. \quad (4)$$

Приймемо в (4) $\delta = \lambda_{2^{v-1}}$, одержимо

$$2^{-\frac{q}{2}} \sum_{j=2^{v-1}+1}^{2^v} |A_j|^q \leq \bar{\omega}_\rho^q(\lambda_{2^{v-1}}, f). \quad (5)$$

Використавши нерівність Гельдера і нерівність (5), знаходимо

$$\begin{aligned} \sum_{j=2^{k-1}+1}^{2^k} |A_j|^{\rho} j^r &\leq \left\{ \sum_{j=2^{k-1}+1}^{2^k} |A_j|^q \right\}^{\rho/q} \cdot \left\{ \sum_{j=2^{k-1}+1}^{2^k} j^{r \frac{q}{q-\rho}} \right\}^{1-\frac{\rho}{q}} \leq \\ &\leq 2^{\frac{\rho k}{2}} \bar{\omega}_{\rho}^{\rho}(\lambda_{2^{k-1}}, f) \cdot \left(2^{(k-1)(\frac{q}{q-\rho})} \cdot 2^{k-1} \right)^{\frac{q-\rho}{q}} = \\ &= 2^{\frac{\rho k}{2}} \bar{\omega}_{\rho}^{\rho}(\lambda_{2^{k-1}}, f) \cdot 2^{(k-1)(\frac{q}{q-\rho})} = \\ &= 2^{\frac{\rho k}{2} + r} \cdot 2^{(k-1)(\frac{q}{q-\rho})} \bar{\omega}_{\rho}^{\rho}(\lambda_{2^{k-1}}, f). \end{aligned}$$

Звідси маємо, що

$$\sum_{j=2^{k-1}+1}^{2^k} |A_j|^{\rho} j^r \leq C 2^{(k-1)(r + \frac{q-\rho}{q})} \bar{\omega}_{\rho}^{\rho}(\lambda_{2^{k-1}}, f). \quad (6)$$

Сумуємо нерівність (6) по ν і одержуємо

$$\sum_{\nu=1}^{\infty} \sum_{j=2^{k-1}+1}^{2^k} |A_j|^{\rho} j^r \leq C \sum_{\nu=1}^{\infty} 2^{(\nu-1)(r + \frac{q-\rho}{q})} \bar{\omega}_{\rho}^{\rho}(\lambda_{2^{k-1}}, f)$$

або

$$\sum_{j=2}^{\infty} |A_j|^{\rho} j^r \leq C \sum_{\nu=0}^{\infty} 2^{\nu(r + \frac{q-\rho}{q})} \bar{\omega}_{\rho}^{\rho}(\lambda_{2^{k-1}}, f). \quad (7)$$

Враховуючи, що $\lambda_{-j} = -\lambda_j$, і прийнявши в (4) $\delta = |\lambda_{-2^{k-1}}|$, маємо

$$2^{-\frac{q}{q-\rho}} \sum_{j=-2^k}^{2^{k-1}} |\lambda_j|^q \leq \bar{\omega}_{\rho}^q(|\lambda_{-2^{k-1}}|, f) = \bar{\omega}_{\rho}^q(\lambda_{2^{k-1}}, f).$$

Далі, подібно як вище, приходимо до нерівності

$$\sum_{j=-\infty}^{-\infty} |A_j|^{\rho} |j|^r < C \sum_{j=0}^{\infty} 2^{j(r+\frac{q-\beta}{q})} \bar{\omega}_{\rho}^{\beta}(\lambda_2, f). \quad (8)$$

З нерівностей (7) і (8) випливає справедливість теореми 1.

Нехай $\{\lambda_j\}_{j=-\infty}^{\infty}$ спектр р.м.п. функції. Введемо такі позначення:

$$B_n = \{j: 2^{-n-1} \leq \lambda_j < 2^{-n}\}; \quad (9)$$

$$B_{-n} = \{j: -2^{-n-1} < \lambda_j < -2^{-n}\};$$

$$J_n = \max_{j \in B_n} |j|, \quad \mu(a) = \sum_{\lambda_j \geq a} 1.$$

Теорема 2. Якщо для р.м.п. функції $f(x)$, спектр якої має одну точку згущення $\lambda^* = 0$, ряд

$$\sum_{n=1}^{\infty} J_n^r [\mu(2^{-n-1}) - \mu(2^{-n})]^{1-\frac{\beta}{q}} \bar{\omega}_{\rho}^{\beta}(2^{-n}, f) \quad (10)$$

$1 < \rho < 2, \frac{1}{\rho} + \frac{1}{q} = 1, 0 < \beta < q, r > 0$
збігається, то і ряд (2) збігається.

Доведення. З нерівності (4), прийнявши $\delta = 2^{-n}$, одержуємо

$$\sum_{j \in B_n} |A_j|^q < 2^{\frac{q}{2}} \bar{\omega}_{\rho}^q(2^{-n}, f). \quad (11)$$

Використовуючи нерівність Гельдера і (11), маємо

$$\begin{aligned} \sum_{j \in B_n} |A_j|^{\rho} j^r &\leq \left\{ \sum_{j \in B_n} |A_j|^q \right\}^{\frac{1}{q}} \left\{ \sum_{j \in B_n} j^{r \frac{q}{q-\beta}} \right\}^{1-\frac{\beta}{q}} \leq \\ &\leq J_n^r [\mu(2^{-n-1}) - \mu(2^{-n})]^{1-\frac{\beta}{q}} \cdot 2^{\frac{q}{2}} \bar{\omega}_{\rho}^q(2^{-n}, f). \end{aligned}$$

Просумуємо одержану нерівність по n

$$\begin{aligned} \sum_{n=1}^{\infty} \sum_{j \in B_n} |A_j|^{\beta} |j|^r &\leq \\ &\leq 2^{\beta/2} \sum_{n=1}^{\infty} J_n^r [\mu(2^{-n-1}) - \mu(2^{-n})]^{1-\beta/q} \bar{\omega}_{\rho}^{\beta}(2^{-n}, f). \end{aligned} \quad (12)$$

Даліше зауважимо, що $J_{-n} = J_n$ (де випливає з рівності $\lambda_{-j} = -\lambda_j$) і кількість елементів множин B_n і B_{-n} збігається. Тому одержимо, подібно як вище, нерівність

$$\begin{aligned} \sum_{n=1}^{\infty} \sum_{j \in B_{-n}} |A_j|^{\beta} |j|^r &\leq \\ &\leq 2^{\beta/2} \sum_{n=1}^{\infty} J_n^r [\mu(2^{-n-1}) - \mu(2^{-n})]^{1-\beta/q} \bar{\omega}_{\rho}^{\beta}(2^{-n}, f). \end{aligned} \quad (13)$$

З нерівностей (12) і (13) випливає твердження теореми.

Нехай р.м.п. функція $f(x)$ задовільняє для деякого α $0 < \alpha \leq 1$ таку умову:

$$\left| \int_0^u f(x-t) dt \right| \leq K |u|^{\alpha}. \quad (14)$$

Покажемо, що в цьому випадку

$$\bar{\omega}_{\rho}(\delta, f) \leq N \delta^{\alpha}. \quad (15)$$

Дійсно, проінтегруємо по частинах внутрішній інтеграл у виразі для $\bar{\omega}_{\rho}(\delta, f)$. (Такі міркування є в роботі [2]).

$$\left| \int_0^{\infty} e^{-\delta t} f(x-t) dt \right| = \left| \int_0^{\infty} e^{-\delta t} d \left(\int_0^t f(x-t_s) dt_s \right) \right| =$$

$$\begin{aligned}
&= \left| e^{-\delta t} \int_0^t f(x-t_s) dt_s \right|_0^\infty + \delta \int_0^\infty e^{-\delta t} \left(\int_0^t f(x-t_s) dt_s \right) dt \leq \\
&\leq K \delta \int_0^\infty e^{-\delta t} t^{1-\alpha} dt = K \delta^{\alpha-1} \int_0^\infty e^{-t} t^{1-\alpha} dt = \\
&= N \delta^{\alpha-1},
\end{aligned}$$

де

$$N = K \int_0^\infty e^{-t} t^{1-\alpha} dt.$$

Тепер уже легко побачити, що з умови (14) випливає (15).

З теорем I і 2 одержуємо:

Наслідок 1. Нехай р.м.п. функція $f(x)$ задовільняє умови (14) і

$$\sum_{n=1}^{\infty} n^{\frac{\beta}{\theta}} (\lambda_n)^{\theta\alpha} < \infty, \quad (16)$$

тоді ряд (2) збігається.

Дійсно, з умови (14) випливає (15), а тому

$$\sum_{v=1}^{\infty} 2^{\frac{1}{\theta}(\Gamma + \frac{\beta - \theta}{\theta})} \bar{\omega}_\rho^\theta (\lambda_{2^v}, f) \leq N \sum_{v=1}^{\infty} 2^{\frac{1}{\theta}(\Gamma + \frac{\beta - \theta}{\theta})} (\lambda_{2^v})^{\theta\alpha}$$

Збіжність ряду в правій частині нерівності еквівалентна збіжності ряду (16) внаслідок монотонності послідовності $\{\lambda_n\}_{n=1}^{\infty}$.

Наслідок 2. Нехай р.м.п. функція $f(x)$ задовільняє умови (14) і

$$\sum_{n=1}^{\infty} J_n^r [\mu(2^{-n-1}) - \mu(2^{-n})]^{1-\frac{\theta}{\theta}} \cdot 2^{-n\alpha} < \infty,$$

тоді ряд (2) збігається.

Доведення очевидне.

Прийнявши в (15) $\delta = 0$, $\beta = 1$, $\rho = 2$, $\lambda_n = O(1/n)$, одержимо, що при $\alpha > \frac{1}{2}$ ряд Фур'є збігається абсолютно. Цей результат одержано як наслідок також в роботі [2], де вивчаються умови абсолютної збіжності рядів Фур'є р.м.п. функцій.

2. Нехай $f(x)$ — майже періодична функція Безіковича (B^{ρ} -м.п. функція) [1], спектр якої має одну точку згущення $\lambda^* = \infty$. Іф ряд Фур'є запищемо в симетричній формі

$$f(x) \sim \sum_{j=-\infty}^{\infty} A_j e^{i\lambda_j x} \quad (17)$$

$$(\lambda_j > 0, \lambda_{j+1} > \lambda_j \text{ при } j > 0; \lambda_{-j} = -\lambda_j; |A_j| + |A_{-j}| > 0).$$

Нехай

$$\omega_p(\delta, f) = \sup_{|h| \leq \delta} \left[M_x \left\{ |f(x+h) - f(x)|^p \right\} \right]^{1/p}.$$

Наведемо одну теорему про збіжність ряду

$$\sum_{j=-\infty}^{\infty} |A_j|^p |j|^r. \quad (18)$$

Умови збіжності ряду (18) вивчаються і в роботі [3].

Теорема 3. Якщо для B^{ρ} -м.п. функції $f(x)$ ($1 < \rho \leq 2$), спектр якої має одну точку згущення $\lambda^* = \infty$, ряд

$$\sum_{j=1}^{\infty} (\lambda_{2j}/\lambda_{2j-1})^{\rho} \omega_p^{\rho}(1/\lambda_{2j}, f) 2^{r(r+\frac{q-\rho}{\rho})} \quad (19)$$

$$0 < \rho < q, r > 0$$

збігається, тоді і ряд (18) збігається.

Доведення. Легко побачити, що

$$f(x+h) - f(x-h) \sim \sum_{j=-\infty}^{\infty} A_j i \sinh h \lambda_j e^{i\lambda_j x}.$$

З нерівності Хаусдорфа-Юга маємо:

$$\left[\sum_{j=-\infty}^{\infty} |A_j|^q |\sin h \lambda_j|^q \right]^{q/p} \leq [M_x \{ |f(x+h) - f(x-h)|^p \}]^{q/p}. \quad (20)$$

Прийнявши в (20) $h = 1/2 \lambda_2$, одержуємо

$$|\sin \lambda_{2^{j-1}}/2 \lambda_2|^q \sum_{j=2^{j-1}+1}^{2^j} |A_j|^q \leq \omega_p^q (1/\lambda_{2^j}, f);$$

враховуючи нерівність

$$\sin x \geq \frac{x}{\pi} x, \quad 0 < x \leq \pi/2,$$

приходимо до нерівності

$$\sum_{j=2^{j-1}+1}^{2^j} |A_j|^q \leq (\pi \lambda_{2^j} / \lambda_{2^{j-1}})^q \omega_p^q (1/\lambda_{2^j}, f). \quad (21)$$

Використовуючи нерівність Гельдера і (21), маємо

$$\begin{aligned} \sum_{j=2^{j-1}+1}^{2^j} |A_j|^\beta j^r &\leq \left\{ \sum_{j=2^{j-1}+1}^{2^j} |A_j|^q \right\}^{p/q} \cdot \left\{ \sum_{j=2^{j-1}+1}^{2^j} j^{r \frac{q}{q-p}} \right\}^{1-p/q} \\ &\leq C (\lambda_{2^j} / \lambda_{2^{j-1}})^\beta \cdot 2^{j(r + \frac{q-p}{q})} \omega_p^\beta (1/\lambda_{2^j}, f). \end{aligned}$$

Далі доведення проводиться аналогічно теоремі I.

Аналог теореми 2 для випадку, коли B' -м.п. функція має одну точку згущення $\lambda^* = \infty$, наведений в роботі [3].

Використовуючи теорему I з роботи [5], можна одержати з теорем I, 2, 3 твердження відносно абсолютної сумовності по Чезаро від'ємного порядку рядів Фур'є м.п. функцій (I), (17).

Л і т е р а т у р а

1. Б. М. Левитан. Почти периодические функции. М., 1953.
2. Н. П. Купцов. Об абсолютной и равномерной сходимости рядов Фурье почти периодических функций. Мат. сборник, т. 40 (82), № 2, 1956.
3. J. Maslak. On absolute convergence of Fourier series of some almost periodic functions. Ann. polon. math., VI, № 2, 1959.
4. F. Hausdorff. Eine Ausdehnung des Parsevalsehnen Satzes über Fourier reihen. Math. Zeitschrift, 16, 1929.
5. G. Sanoouchi. On the absolute summability of Fourier series. J. Math. Japan, v. 1, № 2, 1949.

—0—

УДК 517.946

М.І.ІВАНЧОВ

ПРО ЗАДАЧУ ДІРІХЛЕ В НЕОБМежЕНИХ ОБЛАСТЯХ

В необмеженій області Ω n -вимірного евклідового простору, що лежить зовні поверхні S , розглянемо рівняння еліптичного типу

$$Lu = a_{ij}(x) u_{x_i x_j} + a_i(x) u_{x_i} + a(x) u = f(x) \quad (1)$$

з обмеженими коефіцієнтами і правою частиною, що належить до класу $C_{\alpha,\omega}(\bar{\Omega})$, $\bar{\Omega} = \Omega \cup S$. Для рівняння (1) задамо граничну умову

$$u(x)|_{S} = \varphi(x). \quad (2)$$

Відомо [1], що коли $f(x) = 0$, то задача Діріхле для рівняння (1) завжди має обмежений розв'язок при $a(x) < 0$. Якщо $f(x) \neq 0$, то вимоги, які потрібно налаштити на $f(x)$ для існування обмеженого розв'язку, істотно залежать від поведінки $a(x)$ при великих $|x|$, $|x| = \sqrt{x_1^2 + \dots + x_n^2}$. У випадку, коли $a(x) \leq -m^2 < 0$, $m = \text{const}$, від правої ча-

стини рівняння (1) досить вимагати обмеженості для того, щоб існував обмежений розв'язок задачі Діріхле для рівняння (1) [2]. Якщо ж коефіцієнт $\alpha(x)$ прямує до нуля при $|x| \rightarrow \infty$, то для існування обмеженого розв'язку задачі (1)-(2) від $f(x)$ та $\varphi(x)$ так потрібно вимагати прямуснія до нуля з деякою швидкістю. Дійсно, розглянемо рівняння

$$\Delta u - \frac{n-2+\epsilon}{|x|^2} x_i \frac{\partial u}{\partial x_i} - \frac{1}{|x|^\epsilon} u = -f \quad (3)$$

у випадку центральної симетрії, тобто $u = u(z)$, $z = \sqrt{x_1^2 + \dots + x_n^2}$. Тоді для знаходження невідомої функції $u(x)$ одержимо звичайне диференціальне рівняння

$$\Delta u - \frac{n-2+\epsilon}{|x|^2} x_i \frac{\partial u}{\partial x_i} - \frac{1}{|x|^\epsilon} u = -f, \quad (4)$$

загальний розв'язок якого має вигляд

$$u(z) = C_1 \varphi_1(z) + C_2 \varphi_2(z) + z^\sigma,$$

де $\{\varphi_1(z), \varphi_2(z)\}$ – фундаментальна система розв'язків відповідного одновідного рівняння. Легко бачити, що при довільних значеннях постійних C_1 і C_2 цей розв'язок буде необмежено зростати при $z \rightarrow \infty$. А це й означає, що в даному випадку рівняння (3) не має подібного обмеженого розв'язку.

Наведемо достатню умову існування обмеженого розв'язку задачі Діріхле для рівняння (1) у випадку, коли $\alpha(x) \leq -\frac{C}{\tau(x)}$, де $\tau(x) > 0$ – деяка необмежена зростаюча функція.

Теорема 1. Нехай коефіцієнти і права частина рівняння (1) обмежені і належать до класу $C_{0,\alpha}(\Omega)$, гранична функція $\varphi(x)$ в умові (2) належить до класу $C_{\epsilon,\alpha}(S)$ і, крім того,

$$a_{ij}(x) f_i f_j \geq \sum_{i=1}^n \xi_i^2.$$

Якщо $\alpha(x) \leq -\frac{C}{\tau(x)}$, то для існування обмеженого розв'язку задачі (1)-(2) з класу $C_{\epsilon,\alpha}(\bar{\Omega})$ досить вимагати, щоб права частина рівняння (1) задовільнила умову $|f(x)| \leq \frac{C_1}{\tau(x)}$.

Доведення опирається на таку теорему [1] :

Теорема 2. Якщо коефіцієнти і права частина рівняння (1) і гранична функція $\varphi(x)$ неперервні і обмежені в $\bar{\Omega}$ і, крім того,

$a_{ij}, f_i, f_j > 0$, то необхідною і достатньою умовою розв'язності задачі (1)-(2) в класі $C(\bar{\Omega}) \cap C_2(\Omega)$ є існування пари обмежених функцій $\bar{\omega}(x)$ і $\underline{\omega}(x)$ в класу $C_2(\bar{\Omega})$, таких, що

$$L\bar{\omega}(x) \leq f(x) \leq L\underline{\omega}(x).$$

Доведення теореми 1. Легко бачити, що в ролі функції $\bar{\omega}(x)$ досить взяти $\frac{C_1}{C}$, а $\underline{\omega}(x)$ можна прийняти рівною $-\frac{C_1}{C}$. Звідси випливає справедливість теореми 1.

Твердження теорем 1 і 2 легко переносяться на випадок необмежених областей з нескінченими границями.

Література

1. N. Meyers, J. Serrin. The exterior Dirichlet problem for second order elliptic partial differential equations. Journal of Mathematics, 9, № 4, 1960, 513-538.

2. T. Kusano. On bounded solutions of exterior boundary value problems for linear and quasilinear elliptic differential equations. Japanese Mathematical Journal, 2, 1965, 536-562.

Д.В.ГРИЛІЦЬКИЙ, Б.Г.ШЕЛЕСТОВСЬКИЙ

ТИСК ГАРЯЧОГО КІЛЬЦЕВОГО ШТАМПА
НА ТРАНСВЕРСАЛЬНО-ІЗОТРОПНИЙ ПІВПРОСТІР

Оссесиметрична контактна задача термопружності про тиск гарячого кільцевого штампа на ізотропний півпростір при однорідних умовах для температури на границі розглянута Ф.Н.Бородачовою [1].

В нашій праці розглядається задача про тиск гарячого кільцевого штампа з плоскою основою на трансверсально-ізотропний півпростір при мішаних умовах для температури на границі півпростору. При розв'язуванні задачі використано метод, запропонований З.Олесяком [2]. За допомогою інтегрального перетворення Ханкеля задача зводиться до розгляду парних інтегральних рівнянь, розв'язок яких знаходиться за формулами обернення Б.Нобл [3]. Для двох розглянутих нижче випадків наводимо формули, для нормальних контактних напружень під штампом на поверхні півпростору та співвідношення, які встановлюють залежність між стискаючою силою, яка діє на штамп, температурою і зміщенням штампа.

I. Розв'язок осесиметричної температурної задачі теорії пружності для трансверсально-ізотропного тіла за допомогою функцій напружень в циліндричній системі координат дав А.Синг [4]:

$$\begin{aligned}\sigma_{zz} &= \frac{\partial^2 \Phi}{\partial z^2} + \frac{1}{2} \frac{\partial \Phi}{\partial z} = \nabla_z^2 \Phi, \\ \sigma_{zz} &= \frac{\partial^2 \Phi}{\partial z^2} + \frac{1}{2} \left(K_{11}^2 \frac{\partial \Phi}{\partial z} + \frac{\partial \Psi}{\partial z} \right), \\ \sigma_{rz} &= -\frac{\partial^2 \Phi}{\partial z \partial r};\end{aligned}\quad (I.1)$$

$$u = -\alpha_e \left(K_{11} \frac{\partial \Phi}{\partial z} + \frac{\partial \Psi}{\partial z} \right),$$

$$w = -\alpha_e \left(K_{12} \frac{\partial \Phi}{\partial z} - \frac{\partial \Psi}{\partial z} \right); \quad (1.2)$$

$$\nabla_z^2 \Phi + K_{22}^2 \frac{\partial^2 \Phi}{\partial z^2} = \frac{1}{\alpha} \left(\frac{\partial^2 \Psi}{\partial z^2} - c T \right),$$

$$\nabla_z^2 \Psi + K_{22}^2 \frac{\partial^2 \Psi}{\partial z^2} = \alpha_e^{(1)} T. \quad (1.3)$$

Температура задовільняє рівняння тепlopровідності

$$\nabla_z^2 T + L^2 \frac{\partial^2 T}{\partial z^2} = 0, \quad \left(\nabla_z^2 = \frac{\partial^2}{\partial z^2} + \frac{1}{z} \frac{\partial}{\partial z} \right).$$

Нами використані позначення праці [4], що дає можливість на цьому не зупинятися.

Якщо на границі півпростору задані температура $T(z)$ і нормальні напруження $\sigma_{zz}(z)$ при відсутності дотичного, то, застосовуючи інтегральне перетворення Ханкеля ([5], [6]) до вищезгаданих співвідношень, одержимо формули, які пов'язують переміщення точок границі півпростору з нормальними напруженнями і температурою на границі,

$$w(z, 0) = \frac{\alpha_e}{h_2(K_{21} - K_{22})} \int_0^\infty [\bar{\sigma}(\xi) +$$

$$+ \frac{N(L - K_{22}) + Mh_2(K_{22} - K_{21})}{L} \bar{T}(\xi)] J_0(\xi z) d\xi; \quad (1.4)$$

$$u(z, 0) = \alpha_e \int_0^\infty \left[\frac{K_{11}^2 h_2(K_{22} - K_{21}) + R_{e1}}{h_2(K_{21} - K_{22})} \bar{\sigma}(\xi) + \right.$$

$$\left. + \frac{N(L - K_{22})K_{21} + Mh_2(K_{22} - K_{21})L}{L h_2(K_{21} - K_{22})} \bar{T}(\xi) \right] J_1(\xi z) d\xi. \quad (1.5)$$

Якщо ввести позначення

$$C_0 = \frac{K_a(K_{zz} - K_{xx})}{\alpha_z}, \quad K_0 = \frac{N(L - K_{zz}) + Mh_a(K_{zz} - K_{xx})}{L},$$

то формула (1.4) набуває вигляду

$$-\dot{c}_0 w(z, 0) = \int_0^\infty [\tilde{\sigma}(\xi) + K_0 \bar{T}(\xi)] J_0(\xi z) d\xi. \quad (1.6)$$

2. Розглядаємо круговий кільцевий штамп з плошкою основою, геометрична вісь симетрії якого збігається з віссю Ox циліндричної системи координат. Штамп втискується в трансверсально-ізотропний півпростір $z > 0$ під дією сили P , яка направлена вздовж осі симетрії. Границя півпростору зовні і всередині штампа не завантажена, сили тертя між штампом і дівпростором відсутні. Площина, яка обмежує штамп, має задану температуру, і тому, вважаючи тепловий контакт штампа з півпростором досконалім, температуру поверхні півпростору в межах площини контакту будемо вважати рівною температурі поверхні штампа. Температура поверхні півпростору всередині штампа рівна нульові, а за штампом поверхня півпростору теплоізользована.

Потрібно знайти розподіл нормальних контактних напружень під штампом.

Границі умови задачі при $Z = 0$:

$$\begin{aligned} \tilde{\sigma}_{zz}(z, 0) &= 0, \quad 0 < z < b; & w(z, 0) &= \delta, \\ T(z, 0) &= 0, & T(z, 0) &= T_0, \quad b < z < \alpha; \\ \tilde{\sigma}_{zz}(z, 0) &= 0, & & z > \alpha; \\ \frac{\partial T}{\partial z}(z, 0) &= 0, & \sigma_{zz}(z, 0) &= 0, \quad 0 < z < \infty. \end{aligned} \quad (2.1)$$

Знайдемо температуру поверхні півпростору для $z > \alpha$. Розв'язок рівняння тепlopровідності беремо у вигляді

$$T(z, z) = \int_0^\infty C(\alpha) e^{-\frac{\alpha z}{L}} J_0(\alpha z) dz, \quad z > 0.$$

Функція $C(\alpha)$ знаходитьться, задовільняючи граничні умови для температури,

$$\int_0^\infty C(\alpha) J_0(\alpha z) dz = \begin{cases} 0, & 0 < z < b, \\ T_0, & b < z < \alpha, \end{cases} \quad (2.2)$$

$$\int_b^\infty 2C(\alpha) J_0(\alpha z) dz = 0, \quad z > \alpha.$$

Застосовуючи формулу обернення [5] до парних рівнянь (2.2), знаходимо функцію $C(\alpha)$:

$$C(\alpha) = \frac{2}{\pi} \alpha^2 T_0 \int_{b/\alpha}^1 \frac{x \cos(\alpha \ln x)}{\sqrt{\alpha^2 x - b^2}} dx;$$

$$T(z, 0) = \int_0^\infty C(\alpha) J_0(\alpha z) dz = \frac{2}{\pi} T_0 \alpha z \sin \frac{\sqrt{\alpha^2 - b^2}}{\sqrt{z^2 - b^2}}, \quad z > \alpha.$$

Розглянемо спочатку задачу з такими граничними умовами:

$$\begin{aligned} w(z, 0) &= \delta, & \sigma_{zz}(z, 0) &= 0, \\ T(z, 0) &= T_1, & \frac{\partial T}{\partial z}(z, 0) &= 0, \\ \sigma_{zz}(z, 0) &= 0, \quad 0 < z < \infty; & & \end{aligned} \quad (2.3)$$

т.е.

$$T_1 = \begin{cases} 0, & 0 < z < b, \\ T_0, & b < z < \alpha. \end{cases}$$

Подібно як і в праці [7], формулу (I.6) запишемо у вигляді

$$-\alpha c_0 w(\alpha \rho) = \int_0^\infty \bar{\sigma}\left(\frac{\rho}{\alpha}\right) J_0(\rho \rho) d\rho + \frac{2K_0 T_0 \alpha^3}{\pi} \times \quad (2.4)$$

$$\times \int_{b/\alpha}^1 \frac{t dt}{\sqrt{\alpha^2 t^2 - b^2}} \left\{ \int_0^1 \frac{\cos pt J_0(pt) - 1}{p} dp + \int_1^\infty \frac{\cos pt J_0(pt)}{p} dp \right\}.$$

Задовільняючи граничні умови (2.3), використовуючи при цьому співвідношення (2.4) і теорему обернення для перетворення Ханкеля, приходимо до парних інтегральних рівнянь

$$\int_0^\infty \bar{\sigma}\left(\frac{\rho}{\alpha}\right) J_0(\rho \rho) d\rho + \frac{2K_0 T_0}{\pi} \alpha^3 \int_{b/\alpha}^1 \frac{t dt}{\sqrt{\alpha^2 t^2 - b^2}} \left\{ \int_0^\infty \frac{\cos pt J_0(pt) dp}{p} \right. +$$

$$+ \int_0^1 \frac{\cos pt J_0(pp) - 1}{p} dp \Big\} = \alpha c_0 w(\alpha p), \quad 0 < p < 1, \quad (2.5)$$

$$\int_0^\infty p \tilde{\delta}(\frac{p}{\alpha}) J_0(pp) dp + \frac{2\kappa_0 T_0 \alpha^3}{\pi} \int_{\alpha/\sqrt{\alpha^2 - b^2}}^\infty \frac{tdt}{\sqrt{\alpha^2 t^2 - b^2}} \int_0^\infty \cos pt J_0(pp) dp =$$

$$= \frac{2\kappa_0 T_0 \alpha^2}{\pi} \arcsin \frac{\sqrt{\alpha^2 - b^2}}{\sqrt{\alpha^2 p^2 - b^2}},$$

Функцію $\arcsin \frac{\sqrt{\alpha^2 - b^2}}{\sqrt{z^2 - b^2}}$ апроксимуємо виразом

$$\frac{\sqrt{\alpha^2 - b^2}}{z} + \left(\frac{\pi}{2} - \frac{\sqrt{\alpha^2 - b^2}}{\alpha} \right) \frac{\alpha^3}{z^3}, \quad z > \alpha.$$

Застосовуючи формулу обернення для парних інтегральних рівнянь (2.5), а також теорему обернення для перетворення Ханкеля, одержимо співвідношення для визначення контактних напружень під штампом

$$\begin{aligned} \sigma_{zz}^{(n)} = & -\frac{2c_0 \delta}{\pi \sqrt{\alpha^2 - z^2}} - \kappa_0 T_s - \frac{4}{\pi^2} \kappa_0 T_0 \sqrt{\alpha^2 - b^2} \frac{\ln 2}{\sqrt{\alpha^2 - z^2}} - \\ & - \frac{2}{\pi} \left(1 - \frac{2\sqrt{\alpha^2 - b^2}}{\pi \alpha} \right) \kappa_0 T_0 \left\{ \frac{a}{\sqrt{\alpha^2 - z^2}} + \frac{a\sqrt{\alpha^2 - z^2}}{z^2} - \right. \\ & \left. - \frac{\pi \alpha^3}{z^3} + \frac{\alpha^3}{z^3} \arccos \frac{z}{a} \right\}, \quad 0 < z < \alpha. \end{aligned} \quad (2.6)$$

Щоб зняти напруження на поверхні півпростору в межах $0 < z < b$, накладемо на розв'язок задачі (2.3) розв'язок іншої задачі з такими граничними умовами:

$$\sigma_{zz}(z, 0) = -\sigma_{zz}^{(n)}, \quad 0 < z < b, \quad w(z, 0) = 0, \quad z > b; \quad (2.7)$$

$$\sigma_{zz}(z, 0) = 0, \quad 0 < z < \infty.$$

Розв'язуючи задачу (2.7) за вищезгаданою схемою, одержимо формулу для визначення нормальніх напружень на граніці півпростору для значень $\gamma > \delta$.

В результаті накладання напружених станив (2.3) і (2.7) отримаємо формулу для нормальних контактних напружень під штампом. Роблячи заміну $\rho = \frac{\gamma}{\alpha}$ і позначаючи $\beta = \frac{\delta}{\alpha}$, знаходимо

$$\begin{aligned}\sigma_{xx}(\rho, 0) = & -\frac{2c_0\delta}{\pi\alpha\sqrt{1-\rho^2}} - \left(\frac{2c_0\delta}{\pi^2\alpha} + \frac{4}{\pi^3} \sqrt{1-\beta^2} K_0 T_0 \ln 2 \right) \times \\ & \times \left[\frac{1}{\sqrt{\rho^2-\beta^2}} \ln \frac{1+\beta}{1-\beta} - \frac{1}{\sqrt{1-\rho^2}} \left(\arcsin \frac{\rho^2+\beta}{\rho(1+\beta)} - \arcsin \frac{\rho^2-\beta}{\rho(1-\beta)} \right) \right] - \\ & - K_0 T_0 - \frac{4K_0 T_0 \sqrt{1-\beta^2} \ln 2}{\pi^2 \sqrt{1-\rho^2}} - \frac{2}{\pi} \left(1 - \frac{2}{\pi} \sqrt{1-\beta^2} \right) K_0 T_0 \times \\ & \times \left[\frac{1}{\sqrt{1-\rho^2}} + \frac{\sqrt{1-\rho^2}}{\rho^2} - \frac{\pi}{2\rho^3} + \frac{1}{\rho^3} \arccos \rho \right] + \Phi(\rho), \quad \beta < \rho < 1;\end{aligned}$$

$$\begin{aligned}\sigma_{xx}(\rho, 0) = & -\left(\frac{2c_0\delta}{\pi^2\alpha} + \frac{4}{\pi^3} \sqrt{1-\beta^2} K_0 T_0 \ln 2 \right) \left[\frac{1}{\sqrt{\rho^2-\beta^2}} \ln \frac{1+\beta}{1-\beta} + \right. \\ & \left. + \frac{1}{\sqrt{\rho^2-1}} \ln \frac{(\sqrt{(\rho^2-1)(\rho^2-\beta^2)} + \rho^2 + \beta)(1-\beta)}{(\sqrt{(\rho^2-1)(\rho^2-\beta^2)} + \rho^2 - \beta)(1+\beta)} \right] + \Phi(\rho), \quad \rho > 1,\end{aligned}$$

де

$$\begin{aligned}\Phi(\rho) = & \frac{4}{\pi^2} \left(1 - 2\sqrt{1-\beta^2} \right) K_0 T_0 \left[\left(\frac{1}{3} + \frac{3}{10} \rho^2 + \frac{15}{56} \rho^4 \right) \arcsin \frac{\beta}{\rho} - \right. \\ & \left. - \left(\frac{1}{3} \beta + \frac{1}{5} \beta^3 + \frac{1}{7} \beta^5 \right) \frac{1}{\sqrt{\rho^2-\beta^2}} - \left(\frac{3}{10} \beta + \frac{5}{28} \beta^3 + \frac{15}{56} \beta \rho^2 \right) \sqrt{\rho^2-\beta^2} \right].\end{aligned}$$

Напруження σ_{xx} для $\rho > 1$ вказує на похибку, яку ми допускаємо при такому наближеному розв'язуванні задачі. Відносна похибка при $\beta \leq 0,7$ не перевищує 7%.

Встановимо залежність між силами P , температурою T_0 і зміщенням штампа δ

$$P = -2\pi \int_{-\delta}^{\alpha} \sigma_{zz}(z, 0) z dz,$$

$$P = \alpha \left\{ \frac{4C_0\delta}{\pi} \sqrt{1-\epsilon^2} \ln \frac{1+\epsilon}{1-\epsilon} + \frac{8C_0\delta}{\pi} \arcsin \sqrt{1-\epsilon^2} \right\} + f;$$

$$\begin{aligned} f = & K_0 T_0 \alpha^2 \left\{ (1-\epsilon^2) \pi + \frac{8\sqrt{1-\epsilon^2}}{\pi^2} \ln 2 \left[\sqrt{1-\epsilon^2} \ln \frac{1+\epsilon}{1-\epsilon} + \right. \right. \\ & \left. \left. + 2 \arcsin \sqrt{1-\epsilon^2} \right] + 4 \left(1 - \frac{2}{\pi} \sqrt{1-\epsilon^2} \right) \left(\frac{\pi}{2} - \frac{\pi}{2\epsilon} + \frac{1}{\epsilon} \arccos \epsilon \right) + \right. \\ & \left. + \frac{8}{\pi} \left(1 - \frac{2}{\pi} \sqrt{1-\epsilon^2} \right) \left[0,23927 \arcsin \epsilon - \left(\frac{1}{6} \epsilon + \frac{1}{8} \epsilon^3 + \frac{1}{12} \epsilon^5 \right) \sqrt{1-\epsilon^2} + \right. \right. \\ & \left. \left. + \left(\frac{1}{8} \epsilon + \frac{5}{28} \epsilon^3 \right) \sqrt{(1-\epsilon^2)^3} - \frac{17}{336} \epsilon \sqrt{(1-\epsilon^2)^5} - \frac{\pi}{12} \epsilon^2 - \right. \right. \\ & \left. \left. - \frac{3\pi}{80} \epsilon^4 - \frac{5\pi}{224} \epsilon^6 \right] \right\}. \end{aligned}$$

3. Розглянемо осесиметричну контактну задачу термопружності для трансверсально-ізотропного півпростору при таких умовах на границі:

$$\begin{aligned} \sigma_{zz}(z, 0) &= 0, & w(z, 0) &= \delta, & b < z < \alpha; \\ \frac{\partial T}{\partial t}(z, 0) &= 0, & 0 < z < \delta; & T(z, 0) &= T_0, \\ \sigma_{zz}(z, 0) &= 0, & z > \alpha; & \sigma_{zz}(z, 0) &= 0, \\ \sigma_{zz}(z, 0) &= 0, & 0 < z < \infty; & T(z, 0) &= 0, \end{aligned} \quad (3.1)$$

Температура поверхні півпростору для $0 < z < \delta$ визначається за формуловою

$$T(z, 0) = \frac{2}{\pi} T_0 \arcsin \frac{\sqrt{\alpha^2 - \epsilon^2}}{\sqrt{\alpha^2 - z^2}}$$

Як і в попередньому випадку, розв'язок цієї задачі знайдемо шляхом накладання розв'язків таких двох задач:

$$\begin{aligned} w(z, 0) &= \delta, \quad 0 < z < a; \quad \sigma_{zz}(z, 0) = 0, \quad z > a; \\ T(z, 0) &= 0, \quad 0 < z < \infty; \quad \sigma_{zz}(z, 0) = 0, \quad 0 < z < \infty. \end{aligned} \quad (3.2)$$

Розв'язок задачі з граничними умовами (3.2) відомий. Для нормальних напружень під штампом маємо формулу

$$\sigma_{zz}^{(1)} = -\frac{2c_0\delta}{\pi\sqrt{a^2-z^2}}, \quad 0 < z < a. \quad (3.3)$$

Другий напруженний стан відповідає таким умовам при $z = 0$:

$$\begin{aligned} \sigma_{zz}(z, 0) &= -\sigma_{zz}^{(1)}, \\ \frac{\partial T}{\partial z}(z, 0) &= 0, \quad 0 < z < b; \quad W(z, 0) = 0, \quad z > b, \\ T(z, 0) &= T_0, \quad b < z < a; \\ T(z, 0) &= 0, \quad z > a; \quad \sigma_{zz}(z, 0) = 0, \quad 0 < z < \infty. \end{aligned} \quad (3.4)$$

Задовільняючи граничні умови (3.4), приходимо до парних інтегральних рівнянь

$$\begin{aligned} \int_0^\infty [\bar{\sigma}(\xi) + \kappa_0 \bar{T}(\xi)] J_0(\xi z) d\xi &= \frac{2c_0\delta}{\pi\sqrt{a^2-z^2}} + \\ &+ \frac{2\kappa_0 T_0}{\pi} \alpha z \operatorname{arcsin} \frac{\sqrt{a^2-b^2}}{\sqrt{a^2-z^2}}, \quad 0 < z < b; \end{aligned} \quad (3.5)$$

$$\int_0^\infty [\bar{\sigma}(\xi) + \kappa_0 \bar{T}(\xi)] J_0(\xi z) d\xi = 0, \quad z > b.$$

Функцію $\frac{2}{\pi} \alpha z \operatorname{arcsin} \frac{\sqrt{a^2-b^2}}{\sqrt{a^2-z^2}}$ на $0 < z < b$ апроксимуємо виразом

$$C_1^0 + C_2^0 z^2 + C_3^0 z^4,$$

де

$$C_1^0 = \frac{2}{\pi} \alpha z \operatorname{arcsin} \frac{\sqrt{a^2-b^2}}{a},$$

$$C_2^o = \frac{32}{3\pi b^4} \arcsin \frac{2\sqrt{a^2-b^2}}{\sqrt{4a^2-b^2}} - \frac{10}{\pi b^4} \arcsin \frac{\sqrt{a^2-b^2}}{a} - \frac{1}{3b^4},$$

$$C_3^o = \frac{8}{\pi b^4} \arcsin \frac{\sqrt{a^2-b^2}}{a} - \frac{32}{3\pi b^4} \arcsin \frac{2\sqrt{a^2-b^2}}{\sqrt{4a^2-b^2}} + \frac{4}{3b^4}.$$

Застосувавши формулу обернення для парних інтегральних рівнянь, а також теорему обернення інтегрального перетворення Ханкеля, одержимо спiввiдношення для визначення нормальнiх напруженiй на границi пiвпростору для значень $z > b$.

Накладаючи напруженi стани (3.2) та (3.4), одержимо формулу для визначення контактних напруженiй пiд кiльцевим штамгом. Зробивши замiну $\rho = \frac{z}{a}$ i ввiвши позначення

$$C_1^o = C_1, \quad C_2^o = \frac{C_2}{b^2}, \quad C_3^o = \frac{C_3}{b^4}, \quad \ell = \frac{\ell}{a},$$

знаходимо

$$\begin{aligned} \sigma_{zz}(\rho, 0) = & -\frac{2c_o\delta}{\pi^2 a \sqrt{1-\rho^2}} - \frac{2c_o\delta}{\pi^2 a} \ln \frac{1+\ell}{1-\ell} - \frac{1}{\sqrt{\rho^2-\ell^2}} + \\ & + \frac{2c_o\delta}{\pi^2 a \sqrt{1-\rho^2}} \left[\arcsin \frac{\rho^2+\ell^2}{\rho(1+\ell)} - \arcsin \frac{\rho^2-\ell^2}{\rho(1-\ell)} \right] - K_o T_o + \\ & + \frac{\varepsilon}{\pi} K_o T_o \left[\left(C_1 + C_2 \frac{\rho^2}{\ell^2} + C_3 \frac{\rho^4}{\ell^4} \right) \arcsin \frac{\ell}{\rho} - \right. \\ & \left. - \frac{(15C_1 - 5C_2 - 2C_3)\ell^4 + (15C_2 - 5C_3)\ell^2\rho^2 + 15C_3\rho^4}{15\ell^3 \sqrt{\rho^2-\ell^2}} \right], \quad \ell < \rho < 1. \end{aligned}$$

$$\begin{aligned}\sigma_{zz}(\rho, \delta) = & -\frac{2C_0\delta}{\pi^2\alpha} \left(\frac{1}{\sqrt{\rho^2-\epsilon^2}} \ln \frac{1+\epsilon}{1-\epsilon} + \frac{1}{\sqrt{\rho^2-1}} \times \right. \\ & \times \ln \frac{(\sqrt{(\rho^2-1)(\rho^2-\epsilon^2)} + \rho^2 + \epsilon)(1-\epsilon)}{(\sqrt{(\rho^2-1)(\rho^2-\epsilon^2)} + \rho^2 - \epsilon)(1+\epsilon)} \Big) + \frac{2}{\pi} K_0 T_0 \left[(C_1 + C_2 \frac{\rho^2}{\epsilon^2} + C_3 \frac{\rho^4}{\epsilon^4}) \times \right. \\ & \times \arcsin \frac{\epsilon}{\rho} - \frac{(15C_1 - 5C_2 - 2C_3)\epsilon^4 + (15C_2 - 5C_3)\epsilon^2\rho^2 + 15C_3\rho^4}{15\epsilon^3 \sqrt{\rho^2 - \epsilon^2}} \Big], \quad \rho > 1.\end{aligned}$$

Як і в першому випадку, напруження σ_{zz} для $\rho > 1$ вказує на похибку розв'язку. Відносна похибка не перевищує 7% при $\epsilon < 0,7$.

Зв'язок між силовою P , переміщенням δ і температурою T_0 штампа дается за формулами

$$\begin{aligned}P = & \alpha \left[\frac{4C_0\delta}{\pi} \sqrt{1-\epsilon^2} \ln \frac{1+\epsilon}{1-\epsilon} + \frac{8C_0\delta}{\pi} \arcsin \sqrt{1-\epsilon^2} \right] + j; \\ j = & K_0 T_0 \alpha^2 \left\{ (1-\epsilon^2)\pi - 4 \left[\left(\frac{C_1}{2} + \frac{C_2}{4\epsilon^2} + \frac{C_3}{6\epsilon^4} \right) \arcsin \epsilon - \right. \right. \\ & - (30C_1 + 25C_2 + 22C_3) \frac{\epsilon \sqrt{1-\epsilon^2}}{60} - (16C_3 + 9C_2) \frac{\sqrt{(1-\epsilon^2)^3}}{36\epsilon} - \\ & \left. \left. - \frac{\sqrt{(1-\epsilon^2)^5}}{6\epsilon^3} - \frac{\pi\epsilon^2}{4} \left(C_1 + \frac{C_2}{2} + \frac{C_3}{3} \right) \right] \right\}.\end{aligned}$$

Нами знайдені також формули для визначення нормальніх переміщень граничних точок півпростору, але для скорочення викладу тут їх не наводимо.

На рис. 1 і 2 показано розподіл нормальних контактних напружень під штампом, відповідно у першому і другому випадках при $\epsilon = 0,2$.

$$\sigma_{zz}^{(1)} = \frac{\pi \alpha^2 \sigma_{xx}^{(P)}}{P}$$

- напруження, які викликані стискаючою силою P ;

$$\sigma_{zz}^{(2)} = \frac{\sigma_{zz}^{(T)}}{K_0 T_0}$$

- напруження, які викликані температурою T_0 .

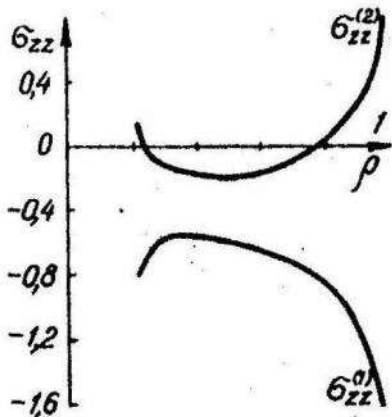


Рис. 1.

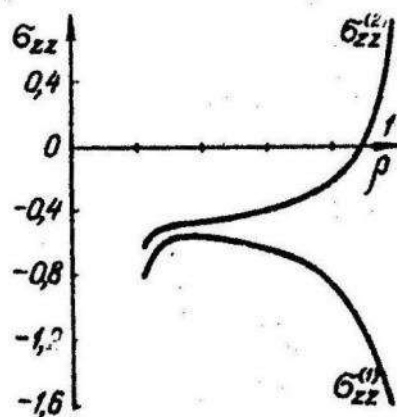


Рис. 2.

В таблиці подано значення коефіцієнтів K_0 , C_0 для деяких матеріалів

Матеріал	Магній	Пісковик	Ізотропний магній
$C_0 \left(\frac{kg}{cm^2} \right)$	$2,523 \cdot 10^5$	$1,957 \cdot 10^5$	$2,283 \cdot 10^5$
$K_0 \left(\frac{kg}{^oC cm^2} \right)$	8,42	8,50	8,18

Для ізотропного матеріалу коефіцієнти K_0 та C_0 набирають значення

$$C_0 = \frac{G}{1-\nu}; \quad K_0 = \frac{\alpha(1+\nu)}{1-\nu} G,$$

де G - модуль зсуву; ν - коефіцієнт Пуассона; α - коефіцієнт лінійного температурного розширення.

Л і т е р а т у р а

1. Ф. Н. Б о р о д а ч е в а. Термоупругая контактная задача для кольцевого штампа. Сб. "Некоторые задачи прочности и устойчивости плоских и пространственных систем", Приволжское кн. изд-во, Саратов, 1966.
2. Z. O l e s i a k. Annular Punch on Elastic Semispace, Arch. Mech. Stosow; vol. 17, N 4, 1965.
3. B. N o b l e. The solution of Bessel function dual integral equations by a multiplying-factor method. Proc. Cambridge Philos. Soc., vol. 59, N 2, 1963.
4. A. S i n g h. Axisymmetrical Thermal Stresses in Transversaly Geotropic Bodies, Arch. Mech. Stosow., vol. 12, N 3, 1960.
5. И. С и е д д о н. Преобразования Фурье, ИЛ, М., 1955.
6. Я. С. У ф л я н д. Интегральные преобразования в задачах теории упругости. "Наука", Л., 1967.
7. Mahalanabis Ranjiz Kumars. A mixed boundary values problem of thermoelasticity for a halfspace, Quart. J. Mech. and Appl. Math., vol. 20, N 1, 1967.

---0---

УДК 539

Т.Л.МАРТИНОВИЧ, В.П.ВУШКО

КРУГОВЕ ЕКСЦЕНТРИЧНЕ КІЛЬЦЕ З ПІДСИЛЕНИМ ВНУТРІШНІМ КРАЄМ

Розглянемо пластинку, обмежену двома неконцентричними колами \mathcal{L}_1 і \mathcal{L}_2 радіусів ζ_1 і ζ_2' ($\zeta_2' > \zeta_1$). Нехай для означеності внутрішній край пластинки \mathcal{L}_1 підсиленій пружним кільцем (стержнем) сталого перерізу, а до зовнішнього краю пластинки \mathcal{L}_2 прикладені напруження N_2 і T_2 (N_2 , T_2 – нормальні і дотичні складові заданих напружень).

Вважається, що зовнішні зусилля, прикладені до пластинки, задовільняють умови статики. Для одержання контурних умов розглядуваної задачі в думці відкинемо кільце, а дію його на пластинку замінимо контактними напруженнями $N_i^{(ii)}$ і $T_i^{(ii)}$ або переміщеннями u_i , v_i точок контура \mathcal{L}_i . Розглядаючи окрім першу і змінну основні крайові задачі для пластини, обмеженої контуром $\mathcal{L} = \mathcal{L}_1 + \mathcal{L}_2$, на підставі

[1,2] маємо

$$\int_{\mathcal{L}_2} \Phi_i(t) \bar{F}_i(t) dt - \alpha e \int_{\mathcal{L}_1} \Phi_i(t) \bar{F}_i(t) dt - \int_{\mathcal{L}} \bar{\Phi}_i(t) \bar{F}'_i(t) d\bar{t} = \quad (1)$$

$$= \int_{\mathcal{L}_2} (N_e + i T_e) \bar{F}_i(t) dt - 2\mu \int_{\mathcal{L}_1} \bar{F}_i(t) d(u_i + i v_i);$$

$$\int_{\mathcal{L}} \Phi_i(t) \bar{F}_i(t) dt - \int_{\mathcal{L}} \bar{\Phi}_i(t) \bar{F}'_i(t) t d\bar{t} = \int_{\mathcal{L}_2} (N_e + i T_e) \bar{F}'_i(t) dt + \quad (2)$$

$$+ \int_{\mathcal{L}_1} (N_i^{(ii)} + i T_i^{(ii)}) \bar{F}_i(t) dt;$$

$$\int_{\mathcal{L}} \bar{\Psi}_i(t) F_i(t) d\bar{t} = \int_{\mathcal{L}} \bar{\Phi}_i(t) F'_i(t) t dt + \int_{\mathcal{L}_2} (N_e + i T_e) F_i(t) dt + \quad (3)$$

$$+ \int_{\mathcal{L}_1} (N_i^{(ii)} + i T_i^{(ii)}) F_i(t) dt;$$

$$\int_{\mathcal{L}} \bar{\Psi}_i(t) F_i(t) d\bar{t} = (\alpha e + i) \int_{\mathcal{L}_1} \Phi_i(t) F_i(t) dt + \int_{\mathcal{L}} \bar{\Phi}_i(t) F'_i(t) t dt + \quad (4)$$

$$+ \int_{\mathcal{L}_2} (N_e + i T_e) F_i(t) dt - 2\mu \int_{\mathcal{L}_1} F_i(t) d(u_i + i v_i).$$

Віднімаючи з рівності (4) рівність (3), одержимо

$$(1 + \alpha e) \int_{\mathcal{L}_1} \Phi_i(t) F_i(t) dt = \int_{\mathcal{L}_1} (N_i^{(ii)} + i T_i^{(ii)}) F_i(t) dt + 2\mu \int_{\mathcal{L}_1} F_i(t) d(u_i + i v_i). \quad (5)$$

Тут t - афіко точки контура \mathcal{L} ; μ - модуль зовбу; $\alpha = \frac{\beta - \nu}{1 + \nu}$ - для плоского напруженого стану; $\Phi_i(t) = \Psi'_i(t)$, $\Psi_i(t) = \Psi'_i(t)$ - комплексні потенціали [3]; $F_i(x)$ - довільна голоморфна функція в області пластинки.

Напружено-деформований стан підсилювального кільця описується рівнянням малих деформацій тонких криволінійних стержнів. Тому залежність між переміщеннями точок крайнього волокна стержня \mathcal{L}_i , спаяного з пластинкою, відносним подовженням його волокна \mathcal{L}_o , нейтрального для чистого згину стержня, і кутом повороту поперечного перерізу θ можемо подати, згідно з [4], такою формулою:

$$d(u_i + i v_i) = \left[\frac{z_i}{\bar{z}_i} e_o + (z_i - z_o) t \frac{d\theta}{dt} + i \theta \right] dt, \quad (6)$$

де z_o - радіус кривини нейтральної для чистого згину лінії \mathcal{L}_o , яка зміщена від осі стержня до центра ІІ кривини на величину γ_c . З рівнянь рівноваги елемента стержня, з врахуванням його розмірів [4] і закону Гука [5]

$$V_n = g e_o, \quad M = g \gamma_c z_i t \frac{d\theta}{dt}, \quad (7)$$

одержуємо

$$(N_i^{(ii)} + i T_i^{(ii)}) dt = \pm \frac{i}{2h} d \left[t(V_n + i V_\tau) \right] + \frac{h^2}{h} \frac{z_i}{\bar{z}_i} (N_i + T_i) dt, \quad (8)$$

де

$$\begin{aligned} t(V_n + i V_\tau) &= \frac{d}{dt} \left[g(z_o - z_i) e_o + g \gamma_c z_i t \frac{d\theta}{dt} \right] + i g e_o t \pm \\ &\pm 2h^2 (z_i - z_o) \frac{z_i}{\bar{z}_i} t T_i. \end{aligned} \quad (9)$$

Верхній знак береться при $z_i < z_o$; нижній - при $z_i > z_o$. Тут позначено: V_n і V_τ - поперечна і поздовжня складові головного вектора; $M = M_c + \gamma_c V_\tau$ - головний момент внутрішніх зусиль в довільному

перерізі стержня; N_1 , T_1 - зовнішні напруження, прикладені до стержня; $2h$ - товщина пластинки; $2h^*$ - товщина стержня; r_1 і r_2 - радіуси кривини крайніх волокон стержня, причому під r_1 будемо розуміти радіус кривини того крайового волокна \mathcal{L} , вздовж якого стержень сплюснутий з пластинкою; $i = \frac{dt}{ds}$.

Далі розглядувану область, зайняту пластинкою, конформно відобразимо на кільце, що міститься між концами причіними колами γ_1 і γ_2 радіусів ρ_1 і ρ_2 площини S , прийнявши [3]

$$z = \omega(S) = \frac{s}{1-\alpha s}, \quad \rho_1 \leq \rho \leq \rho_2 < \frac{1}{\alpha}. \quad (10)$$

Внесемо вирази (6) і (8) в (1)-(5) та проведемо потрібні перетворення; одержимо в області S при відсутності навантаження на кільце ($N_1 = 0$, $T_1 = 0$) такі крайові умови задачі ($r_1 > r_0$):

$$\int_{\Gamma} \Phi(\sigma) \bar{F}(\sigma) \omega'(\sigma) d\sigma - \int_{\Gamma} \bar{\Phi}(\sigma) \bar{F}'(\sigma) \omega(\sigma) d\bar{\sigma} = \frac{g}{2h} \int_{\Gamma_1} e_o \bar{F}'(\sigma) \frac{\sigma \omega'(\sigma)}{\rho_1 |\omega'(\sigma)|} d\bar{\sigma} - \frac{g}{2h} \int_{\Gamma_1} [(r_0 - r_1) e_o + i \frac{r_0 r_1 \sigma}{\rho_1 |\omega'(\sigma)|} \frac{d\theta}{d\sigma}] d\left\{ \frac{\bar{F}'(\sigma)}{\omega(\sigma)} \right\} + \int_{\Gamma_2} (N_2 + i T_2) \bar{F}(\sigma) \omega'(\sigma) d\sigma; \quad (11)$$

$$\int_{\Gamma_2} \Phi(\sigma) \bar{F}'(\sigma) \omega'(\sigma) d\sigma - \alpha e \int_{\Gamma_1} \Phi(\sigma) \bar{F}(\sigma) \omega'(\sigma) d\sigma - \int_{\Gamma} \bar{\Phi}(\sigma) \bar{F}'(\sigma) \omega(\sigma) d\bar{\sigma} = 2\mu \int_{\Gamma_1} \left[\frac{r_0}{r_1} e_o + i \frac{(r_1 - r_0)\sigma}{\rho_1 |\omega'(\sigma)|} \frac{d\theta}{dt} + i\theta \right] \bar{F}'(\sigma) \omega'(\sigma) d\sigma + \int_{\Gamma_2} (N_2 + i T_2) \bar{F}'(\sigma) \omega'(\sigma) d\sigma; \quad (12)$$

$$(1 + \alpha e) \int_{\Gamma_1} \Phi(\sigma) \bar{F}(\sigma) \omega'(\sigma) d\sigma = 2\mu \int_{\Gamma_1} \left[\frac{r_0}{r_1} e_o + i \frac{(r_1 - r_0)\sigma}{\rho_1 |\omega'(\sigma)|} \frac{d\theta}{dt} + i\theta \right] \bar{F}'(\sigma) \omega'(\sigma) d\sigma - \frac{g}{2h} \int_{\Gamma_1} e_o \bar{F}'(\sigma) \frac{\sigma \omega'(\sigma)}{\rho_1 |\omega'(\sigma)|} d\sigma + \frac{g}{2h} \int_{\Gamma_1} [(r_0 - r_1) e_o + i \frac{r_0 r_1 \sigma}{\rho_1 |\omega'(\sigma)|} \frac{d\theta}{d\sigma}] d\left\{ \frac{\bar{F}'(\sigma) \sigma^2}{\rho_1 \omega'(\sigma)} \right\}; \quad (13)$$

$$\int_{\Gamma} \overline{\Psi(\sigma)} F(\sigma) \bar{\omega}'(\sigma) d\bar{\sigma} = (\alpha e + i) \int_{\Gamma_1} \Phi(\sigma) F(\sigma) \omega'(\sigma) d\sigma + \int_{\Gamma} \overline{\Phi(\sigma)} F'(\sigma) \omega(\sigma) d\sigma -$$
(14)

$$- 2\mu \int_{\Gamma_1} \left[\frac{z_s}{2} e_o + i \frac{(z_s - z_e)\sigma}{\rho_s |\omega'(\sigma)|} \frac{d\theta}{d\sigma} + i\theta \right] F(\sigma) \omega'(\sigma) d\sigma + \int_{\Gamma_2} (N_e + i T_e) F(\sigma) \omega'(\sigma) d\sigma.$$

Тут σ - афінна точка контура $\Gamma = \Gamma_1 + \Gamma_2$;

$$\Phi(\sigma) = \Phi_i[\omega(\sigma)]; \quad \Psi(\sigma) = \Psi_i[\omega(\sigma)]; \quad F(\sigma) = F_i[\omega(\sigma)]. \quad (15)$$

При обході контура $\Gamma = \Gamma_1 + \Gamma_2$ область повинна залишатися зліва. До системи контурних умов (II)-(14) необхідно додути умову однозначності переміщень (6)

$$\int_{\Gamma_1} \left[\frac{z_s}{2} e_o + i \frac{(z_s + z_e)\sigma}{\rho_s |\omega'(\sigma)|} \frac{d\theta}{d\sigma} + i\theta \right] \omega'(\sigma) d\sigma = 0. \quad (16)$$

Функції (15), голоморфні в кільці $\rho_1 < |\sigma| < \rho_2$, розвинемо у ряди Лорана:

$$\begin{aligned} \Phi(\sigma) &= \sum_{k=0}^{\infty} A_k \sigma^k + \sum_{k=1}^{\infty} B_k \sigma^{-k}; \\ \Psi(\sigma) &= \sum_{k=0}^{\infty} A'_k \sigma^k + \sum_{k=1}^{\infty} B'_k \sigma^{-k}; \\ F(\sigma) &= \sum_{n=0}^{\infty} C_n \sigma^n + \sum_{n=1}^{\infty} D_n \sigma^{-n}. \end{aligned} \quad (17)$$

Величини e_o і θ , що описують деформацію кільця, а також навантаження $N_e + iT_e$, подамо у формі комплексних рядів Фур'є

$$\begin{aligned} e_o &= \sum_{k=0}^{\infty} \alpha_k \sigma^k + \sum_{k=1}^{\infty} \rho_s^{2k} \bar{\alpha}_k \sigma^{-k}; \\ \theta &= \sum_{k=0}^{\infty} \beta_k \sigma^k + \sum_{k=1}^{\infty} \rho_s^{2k} \bar{\beta}_k \sigma^{-k}; \\ N_e + iT_e &= \sum_{k=0}^{\infty} \gamma_k^{(2)} \sigma^k + \sum_{k=1}^{\infty} \delta_k^{(2)} \sigma^{-k}. \end{aligned} \quad (18)$$

Внесемо розклади (17), (18) і вираз (10) у крайові умови (11)-(13).
Після вичислення контурних інтегралів з врахуванням довільності функції $F(\zeta)$, дістанемо таку нескінченну систему лінійних алгебраїчних рівнянь відносно шуканих коефіцієнтів A_k , B_k , α_k і β_k :

$$\begin{aligned}
 & (\rho_2^{2n} - \rho_1^{2n}) \left[\sum_{k=0}^{n-1} (n-k) \alpha^{-k} A_k + \sum_{k=n}^{\infty} (n+k) \alpha^k B_k \right] - \\
 & - n \left[\sum_{k=0}^{\infty} (\rho_2^{2(n+k)} - \rho_1^{2(n+k)}) \alpha^k \bar{A}_k + \sum_{k=n}^{n-1} (\rho_2^{2(n-k)} - \rho_1^{2(n-k)}) \alpha^{-k} \bar{B}_k \right] = \\
 & = - \frac{g}{2h} n \rho_1^{2n-1} \left[\sum_{k=0}^{n-1} \alpha^{-k} (1 - \alpha^2 \rho_1^2) \alpha_k - \alpha^{-n+2} \rho_1^2 \alpha_n + \sum_{k=n}^{\infty} \alpha^k \rho_1^{2k} (1 - \alpha^2 \rho_1^2) \bar{\alpha}_k \right] + \\
 & + \frac{g}{2\alpha^{n-1} h} (z_0 - z_1) n \rho_1^{2(n-1)} \left[(1-n) \alpha_{n-1} + 2n \alpha \rho_1^2 \alpha_n - (n+1) \alpha^2 \rho_1^2 \alpha_{n+1} \right] + \quad (19) \\
 & + \frac{gi}{2\alpha^{n-1} h} \gamma_c z_1 n \rho_1^{2n-3} \left\{ \alpha (n-1)(n-2) \beta_{n-2} - (n-1) \left[(n-1) + (3n-1) \alpha^2 \rho_1^2 \right] \beta_{n-1} + \right. \\
 & + n \alpha \rho_1^2 \left[(3n-1) + (3n+1) \alpha^2 \rho_1^2 \right] \beta_n - (n+1) \alpha^2 \rho_1^4 \left[(3n+1) + (n+1) \alpha^2 \rho_1^2 \right] \beta_{n+1} + \\
 & \left. + (n+1)(n+2) \alpha^3 \rho_1^6 \beta_{n+2} \right\} + \rho_2^{2n} \left[\sum_{k=0}^{n-1} \delta_k^{(2)} (n-k) \alpha^{-k} + \sum_{k=n}^{\infty} (n+k) \alpha^k \delta_k^{(2)} \right] \\
 & (n = 0, 1, 2, \dots);
 \end{aligned}$$

$$\begin{aligned}
 & (\rho_2^{-2n} - \rho_1^{-2n}) \sum_{k=n+1}^{\infty} (k-n) \alpha^k B_k + n \sum_{k=n+1}^{\infty} [\rho_2^{e(k-n)} - \rho_1^{e(k-n)}] \alpha^k \bar{A}_k - \\
 & = \frac{g}{2h} n \rho_1^{-2n-1} \left[\sum_{k=n+1}^{\infty} \rho_1^{2k} \alpha^k \bar{\alpha}_k - \alpha^2 \rho_1^2 \sum_{k=n}^{\infty} \rho_1^{2k} \alpha^k \bar{\alpha}_k \right] -
 \end{aligned}$$

$$\begin{aligned}
& -\frac{g}{2h} \alpha^{n+1} (z_0 - z_i) n \left[(n-1) \alpha^2 \bar{\Delta}_{n-1} - 2n \alpha \bar{\Delta}_n + (n+1) \bar{\Delta}_{n+1} \right] - \quad (20) \\
& - \frac{ig}{2h} \alpha^{n+1} \eta_c z_i \rho_i^{-1} n \left\{ \alpha^3 (n-1)(n-2) \bar{\beta}_{n-2} - (n+1) \alpha^2 \left[(3n-1) + (n-1) \alpha^2 \rho_i^2 \right] \bar{\beta}_{n-1} + \right. \\
& + n \alpha \left[(3n-1) \alpha^2 \rho_i^2 + (3n+1) \right] \bar{\beta}_n - (n+1) \left[(3n+1) \alpha^2 \rho_i^2 + (n+1) \right] \bar{\beta}_{n+1} + \\
& \left. + \alpha \rho_i^2 (n+1)(n+2) \bar{\beta}_{n+2} \right\} + \rho_i^{-2n} \sum_{k=n+1}^{\infty} (k-n) \alpha^k \delta_k^{(2)} \\
& (n = 1, 2, 3, \dots);
\end{aligned}$$

$$\begin{aligned}
& (\rho_e^{2n} + \partial e \rho_e^{2n}) \left[\sum_{k=0}^{n-1} (n-k) \alpha^{-k} A_k + \sum_{k=1}^{\infty} (n+k) \alpha^k B_k \right] - \\
& - n \left[\sum_{k=0}^{\infty} (\rho_e^{2(n+k)} - \rho_i^{2(n+k)}) \alpha^k \bar{A}_k + \sum_{k=1}^{n-1} (\rho_e^{2(n-k)} - \rho_i^{2(n-k)}) \alpha^{-k} \bar{B}_k \right] = \\
& = 2\mu \rho_i^{2n} \frac{z_0}{z_i} \left[\sum_{k=0}^{n-1} (n-k) \alpha^{-k} \bar{\Delta}_k + \sum_{k=1}^{\infty} \rho_i^{2k} (n+k) \alpha^k \bar{\Delta}_k \right] + \quad (21) \\
& + 2\mu \rho_i^{2n} i \left\{ n \beta_0 + \sum_{k=1}^{n-1} \alpha^{-k} [n-k+k(z_i - z_0) \rho_i^{-k} (1 - \alpha^2 \rho_i^2)] \right\} \beta_n - \\
& - (z_i - z_0) \rho_i^{2n} \beta_n \} + 2\mu \rho_i^{2n} i \sum_{k=1}^{\infty} \rho_i^{2k} \alpha^k [n+k+k(z_i - z_0) \rho_i^{-k} (\alpha^2 \rho_i^2 - 1)] \bar{\beta}_k + \\
& + \rho_e^{2n} \left[\sum_{k=0}^{n-1} (n-k) \alpha^{-k} \bar{\gamma}_k^{(2)} + \sum_{k=1}^{\infty} (n+k) \alpha^k \delta_k^{(2)} \right] \\
& (n = 0, 1, 2, 3, \dots);
\end{aligned}$$

$$\begin{aligned}
& (\rho_2^{-en} + \alpha e \rho_1^{-en}) \sum_{k=n+1}^{\infty} (k-n) \alpha^k B_k + n \sum_{k=n+1}^{\infty} \alpha^k (\rho_2^{e(k-n)} - \rho_1^{e(k-n)}) A_k = \\
& = 2\mu \rho_1^{-en} \frac{z_0}{z_1} \sum_{k=n+1}^{\infty} \rho_1^{ek} (k-n) \alpha^k \bar{L}_k + 2\mu \rho_1^{-en} i \left\{ \alpha^{n+2} (z_1 - z_0) \rho_1^{en+1} n \bar{\beta}_n + \right. \\
& \left. + \sum_{k=n+1}^{\infty} \rho_1^{ek} [(k-n) \alpha^k + \alpha^n (z_1 - z_0) \rho_1^{-1} k (\alpha^2 \rho_1^2 - 1)] \bar{\beta}_k \right\} + \rho_2^{-en} \sum_{k=n+1}^{\infty} \delta_k^{(2)} (k-n) \alpha^k \\
& (n = 1, 2, 3, \dots)
\end{aligned} \tag{22}$$

До системи рівнянь (19)-(22) потрібно додути умову однозначності переміщень (16)

$$\frac{z_0}{z_1} \sum_{k=1}^{\infty} k \rho_1^{ek} \alpha^{k-1} \bar{L}_k + i \sum_{k=1}^{\infty} k \rho_1^{ek} \alpha^{k-1} \left\{ 1 + (z_1 - z_0) \rho_1^{-1} [\alpha^2 \rho_1^2 - 1] \right\} \bar{\beta}_k = 0 \tag{23}$$

та умову голоморфності функції $\Psi(\xi)$ (кільце вільне від зовнішнього навантаження)

$$\sum_{k=1}^{\infty} k \alpha^{k-1} B_k = 0. \tag{24}$$

Функція напружень $\Psi(\xi)$ визначається з контурної умови (14). Для кільця прямокутного перерізу з розмірами $2h^* \times b$

$$g = 2h^* E^* b, \quad \delta = \frac{h^*}{h}, \quad F = 2h^* b, \quad \sigma = \frac{\delta}{z_1};$$

$$\eta_c \cong \frac{\delta}{6(2-\delta)} \cdot b; \quad z_1 - z_0 \cong \frac{b}{2} \left(1 + \frac{\delta}{3(2-\delta)} \right);$$

$$\eta_c z_1 \cong \frac{1}{6(2-\delta)} \cdot b^2; \quad \frac{z_0}{z_1} \cong 1 - \frac{1}{2} \delta \left(1 + \frac{\delta}{3(2-\delta)} \right);$$

b - ширина кільця в площині його кривини.

Для числового прикладу візьмемо мідну пластину і сталеве кільце прямокутного перерізу при таких значеннях пружних сталих матеріалу і геометричних параметрів:

$$\mu = 4,42 \cdot 10^5 \text{ кг/см}^2; \quad \alpha = 2,08; \quad E^* = 2,1 \cdot 10^6 \text{ кг/см}^2;$$

$$\frac{z'_1}{z_1} = \frac{z'_2}{e} = 3; \quad r = 1; \quad \delta = 0,2; \quad z'_2 = 1.$$

До зовнішнього краю пластинки Σ_2 прикладений рівномірний тиск інтенсивності p_2 . Розв'язувалась укорочена система одержаних рівнянь (22) порядку на ЕОЦМ "Мінск-22".

Нижче наведені числові значення кільцевих напружень σ_θ в пластинці і σ - в кільці в окремих точках вздовж лінії спар.

θ	0°	30°	60°	90°	120°	150°	180°
σ_θ / p_2	-1,42	-1,48	-1,59	-1,70	-1,73	-1,71	-1,69
σ / p_2	-2,75	-2,94	-3,12	-3,27	-3,36	-3,32	-3,26
$\sigma_\theta^{(0)} / p_2$	-2,20	-2,26	-2,40	-2,52	-2,56	-2,54	-2,52

Через $\sigma_\theta^{(0)}$ позначено напруження в пластинці при відсутності кільця. Нормальні напруження в перерізі кільця вчислялися за формулами

$$\sigma = \frac{V_r}{F} \cdot \frac{z}{r} + \frac{M}{Fr_c} \left(1 - \frac{z}{r} \right),$$

де r - радіус кривини довільного волокна стержня.

Література

1. Т. Л. Мартынович. Обобщение теоремы Бетти-Максвелла в двумерной теории упругости. Прикладная механика, т. II, вып. 3, 1966.
2. Т. Л. Мартынович, В. П. Вулико. Про один спосіб розв'язування зміщаних задач для однорідних і кусочно-однорідних середовищ. Вісник Львів. ун-ту, сер. мех.-мат., вип. 5, 1970.
3. Н. И. Мусхелишивили. Некоторые основные задачи математической теории упругости. "Наука", М., 1966.
4. Т. Л. Мартынович. Пружна рівновага пластинки з криволінійним контуром, підкріпленим пружним кільцем. Вісник Львів. ун-ту, сер. мех.-мат., вип. 1, 1965.

5. В. И. Федосьев. Сопротивление материалов. Физматгиз, 1960.

6. М. П. Переиметев. Пластиинки с подкрепленным краем. Изд-во Львов. ун-та, 1960.

7. Ю. И. Соловьев. Плоская задача теории упругости для концентрического кольца с подкрепленным контуром. Труды Новосибирского ин-та ин. т. д. транспорта, вып. I4, 1948.

—0—

УДК 517.3

Д.В.ГРИЛІЦЬКИЙ, В.Г.ГАБРУСЄВ, О.П.ПІДДУБНЯК

ДЕЯКІ ВИПАДКИ ОСЕСИМЕТРИЧНОЇ ЗАДАЧІ ТЕРМОПРУЖНОСТІ
ДЛЯ ТРАНСВЕРСАЛЬНО-ІЗОТРОПНОГО ШАРУ

I. З теорії осесиметричної задачі термопружності для трансверсально-ізотропних тіл [5] відомі такі співвідношення:

$$\begin{aligned} T(z, z) &= A_{33} A_{44} \left(\mu_1^2 \nabla^2 + \frac{\partial^2}{\partial z^2} \right) \left(\mu_3^2 \nabla^2 + \frac{\partial^2}{\partial z^2} \right) \Psi(z, z); \\ \sigma_{zz}(z, z) &= \beta A_{33} A_{44} \nabla^2 \left(d \nabla^2 + e \frac{\partial^2}{\partial z^2} \right) \Psi(z, z); \\ \sigma_{rz}(z, z) &= -\beta A_{33} A_{44} \frac{\partial^2}{\partial z \partial z} \left(d \nabla^2 + e \frac{\partial^2}{\partial z^2} \right) \Psi(z, z). \end{aligned} \quad (I.1)$$

Функція $\Psi(z, z)$ у випадку стаціонарного температурного поля і при відсутності в тілі джерел тепла визначається з рівняння

$$\left(\mu_1^2 \nabla^2 + \frac{\partial^2}{\partial z^2} \right) \left(\mu_3^2 \nabla^2 + \frac{\partial^2}{\partial z^2} \right) \left(\mu_3^2 \nabla^2 + \frac{\partial^2}{\partial z^2} \right) \Psi(z, z) = 0, \quad (I.2)$$

де

$$\nabla^2 = \frac{\partial^2}{\partial z^2} + \frac{1}{z} \frac{\partial}{\partial z} \quad (1.3)$$

В (1.1) та (1.2) використані позначення праці [5].

2. Розглянемо безмежний плоскопаралельний трансверсально-ізотропний шар скінченої товщини $2h$, граничні площини якого вільні від навантаження.

Вважаємо, що площини ізотропії пружного шару паралельні граничним площинам.

Помістимо початок циліндричної системи координат z , φ , z в серединній площині шару, а вісь z направимо перпендикулярно до площин ізотропії (рис. 1).

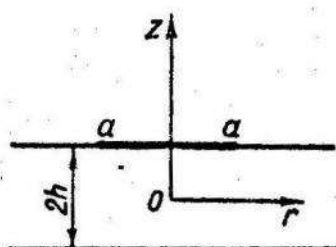


Рис. 1.

Розглянемо таку задачу осесиметричної теорії термопружності при однорідних умовах для температури на границі шару.

На кругі радіуса $z = a$ площини $z = h$ задана температура $T(z, z) = T_0$, а поза кругом $-T(z, z) = 0$; на нижній границі шару, тобто при $z = -h$

$T(z, z) = 0$. Потрібно визначити температурне поле і температурні напруження в шарі.

Будемо розв'язувати задачу в двох стадіях.

В першій стадії розглянемо температурне поле, симетричне відносно площини $z = 0$, в другій - антисиметричне [5].

У випадку симетричного температурного поля граничні умови мають вигляд

$$T^{(s)}(z, \pm h) = \begin{cases} \frac{1}{2} T_0 & 0 < z < a; \\ 0, & z > a; \end{cases} \quad (2.1)$$
$$\sigma_{zz}^{(s)}(z, \pm h) = 0, \quad z \geq 0;$$
$$\sigma_{rz}^{(s)}(z, \pm h) = 0, \quad z \geq 0.$$

Застосовуючи до формул (1.1) інтегральні перетворення Ханкеля [7] і [8], знайдемо інтегральні вирази для температури і температурних напружень через трансформанту Ханкеля, яка визначається із рівняння (1.2),

$$\bar{\varphi}(\alpha, z) = \sum_{j=1,3,5} C_j \operatorname{ch} \mu_j \alpha z + D_j \operatorname{sh} \mu_j \alpha z. \quad (2.2)$$

Вимагаючи виконання граничних умов (2.1), визначимо коефіцієнти C_j , D_j .

При обчисленні інтегралів, через які визначається температура і напруження, ми користуємося методом лішків [4], враховуючи при цьому деякі властивості функцій Бесселя [2] (див. також працю [10]).

Пропускаючи проміжні викладки, наведемо остаточні результати:

$$T^{(s)}(z, z) = \frac{T_o(0)}{2} \left\{ \begin{array}{l} - \\ + \end{array} \right\} \frac{T_o \alpha}{\mu_s h} \sum_{n=1}^{\infty} (-1)^{n+1} \cos(\mu_s z \rho_{n,s}) \left\{ \begin{array}{l} I_o(z \rho_{n,s}) K_i(\alpha \rho_{n,s}) \\ I_i(\alpha \rho_{n,s}) K_o(z \rho_{n,s}) \end{array} \right\},$$

для $\begin{cases} 0 < z < \alpha \\ z > \alpha \end{cases}$, $|z| \leq h$;

$$\tilde{G}_{zz}^{(s)}(z, z) = \frac{\beta T_o f(\mu_s) \alpha}{B} \left\{ \begin{array}{l} + \\ - \end{array} \right\} \sum_{n=1}^{\infty} \sum_{m=1}^2 \sum_{j=1,3,5} \cos(\mu_j z \rho_{n,m}) \frac{\delta_j^{(s)}(\rho_{n,m})}{S_m(\rho_{n,m})} \left\{ \begin{array}{l} I_o(z \rho_{n,m}) K_i(\alpha \rho_{n,m}) \\ I_i(\alpha \rho_{n,m}) K_o(z \rho_{n,m}) \end{array} \right\},$$

для $\begin{cases} 0 < z < \alpha \\ z > \alpha \end{cases}$, $|z| \leq h$; (2.3)

$$\tilde{\sigma}_{zz}^{(s)}(z, z) = \frac{\beta T_o f(\mu_s) \alpha}{B} \sum_{n=1}^{\infty} \sum_{m=1}^2 \sum_{j=1,3,5} \sin(\mu_j z \rho_{n,m}) \frac{\delta_j^{(s)}(\rho_{n,m})}{S_m(\rho_{n,m})} \left\{ \begin{array}{l} I_i(z \rho_{n,m}) K_i(\alpha \rho_{n,m}) \\ I_i(\alpha \rho_{n,m}) K_i(z \rho_{n,m}) \end{array} \right\},$$

для $\begin{cases} 0 < z < \alpha \\ z > \alpha \end{cases}$, $|z| \leq h$.

Тут введені позначення:

$$f(\mu_j) = e\mu_j^2 - d, \quad B = (\mu_s^2 - \mu_i^2)(\mu_s^2 - \mu_e^2), \quad \rho_{n,i} = \frac{\varepsilon_{n,i}}{2} \frac{\pi}{\mu_s h};$$

$\rho_{n,i}$ - корені трансцендентного рівняння

$$\mu_s \cos \mu_s h \rho_{n,i} \sin \mu_s h \rho_{n,i} - \mu_e \cos \mu_e h \rho_{n,i} \sin \mu_e h \rho_{n,i} = 0,$$

які є дійсними [3] :

$$\delta_j^{(s)}(d) = \mu_s \cos \mu_s h \sin \mu_s h \alpha - \mu_e \cos \mu_e h \sin \mu_e h \alpha, \quad (2.4)$$

причому $j=1, \ell=3, \kappa=5; j=3, \ell=5, \kappa=1; j=5, \ell=1, \kappa=3;$

$$S_1(\rho_{n,i}) = (-1)^{n+i} \mu_s h \delta_s^{(s)}(\rho_{n,i}),$$

$$S_2(\rho_{n,i}) = (\mu_i^2 - \mu_s^2) h \cos \mu_s h \rho_{n,i} \cos \mu_s h \rho_{n,i} \cos \mu_s h \rho_{n,i};$$

$I_\nu(x), K_\nu(x)$ - модифіковані функції Бесселя.

Розглянемо антисиметричне температурне поле відносно площини $Z=0$. Границі умови задачі мають вигляд

$$T^{(a)}(z, \pm h) = \begin{cases} \pm \frac{1}{2} T_o & 0 \leq z < a, \\ 0 & z > a; \end{cases} \quad (2.5)$$

$$\sigma_{zz}^{(a)}(z, \pm h) = 0, \quad z \geq 0;$$

$$\sigma_{zz}^{(a)}(z, \pm h) = 0, \quad z \geq 0.$$

Провівши викладки, аналогічні симетричному випадку, одержимо

$$T^{(a)}(z, z) = \frac{T_o}{2} \left\{ \begin{matrix} \frac{z}{h} \\ 0 \end{matrix} \right\} + \left\{ \begin{matrix} - \\ + \end{matrix} \right\} \frac{T_o a}{\mu_s h} \sum_{n=1}^{\infty} (-1)^{n+i} \sin(\mu_s z \rho_{n,i}) \begin{cases} I_o(z \rho_{n,i}) K_i(a \rho_{n,i}) \\ I_i(a \rho_{n,i}) K_o(z \rho_{n,i}) \end{cases},$$

для $\begin{cases} 0 \leq z \leq a \\ z > a \end{cases}, |z| \leq h;$

$$\sigma_{zz}^{(a)}(z, z) = \frac{\beta T_o f(\mu_s) a}{B} \left\{ \begin{matrix} - \\ + \end{matrix} \right\} \sum_{n=1}^{\infty} \sum_{m=1}^2 \sum_{j=1,3,5} \sin(\mu_j z \rho_{n,m}) \frac{\delta_j^{(a)}(\rho_{n,m})}{\Phi_m \mu_{n,m}} \begin{cases} I_o(z \rho_{n,m}) K_i(a \rho_{n,m}) \\ I_i(a \rho_{n,m}) K_o(z \rho_{n,m}) \end{cases},$$

для $\begin{cases} 0 \leq z \leq a \\ z > a \end{cases}, |z| \leq h;$ (2.6)

$$\sigma_{zz}^{(a)}(z, z) = \frac{\beta T_0 f(\mu_s) a}{B} \sum_{n=1}^{\infty} \sum_{m=1}^2 \sum_{j=1,3,5} \mu_j \cos(\mu_j z d_{n,m}) \frac{\delta_j^{(a)}(d_{n,m})}{\Phi_m(d_{n,m})} \begin{cases} I_1(z d_{n,m}) K_1(a d_{n,m}) \\ I_1(a d_{n,m}) K_1(z d_{n,m}) \end{cases},$$

для $\begin{cases} 0 \leq z \leq a \\ z > a \end{cases}$, $|z| \leq h$.

Тут використані позначення

$$\delta_j^{(a)}(d) = \mu_j \cos \mu_j h d \sin \mu_j h d - \mu_j \cos \mu_j h d \sin \mu_j h d,$$

причому $j = 1, \ell = 3, \kappa = 5; j = 3, \ell = 5, \kappa = 1; j = 5, \ell = 1, \kappa = 3;$

$$d_{n,1} = \pi n \frac{1}{\mu_5 h};$$

$d_{n,2}$ — корені трансцендентного рівняння

$$\mu_3 \cos \mu_3 h d_{n,2} \sin \mu_3 h d_{n,2} - \mu_5 \cos \mu_5 h d_{n,2} \sin \mu_5 h d_{n,2} = 0;$$

$$\Phi_m(d_{n,1}) = (-1)^n \mu_5 h \delta_5^{(a)}(d_{n,1}),$$

$$\Phi_m(d_{n,2}) = (\mu_1^2 - \mu_3^2) h \sin \mu_1 h d_{n,2} \sin \mu_3 h d_{n,2} \sin \mu_5 h d_{n,2}.$$

Знаючи температурне поле і температурні напруження в симетричному і антисиметричному випадках, легко знайти температурне поле і температурні напруження нашої задачі:

$$\sigma_{zz} = \sigma_{zz}^{(s)} + \sigma_{zz}^{(a)}, \quad \sigma_{rz} = \sigma_{rz}^{(s)} + \sigma_{rz}^{(a)}, \quad T = T^{(s)} + T^{(a)}.$$

Шляхом аналогічних міркувань легко отримати інші компоненти напруженого стану, а також переміщення, які ми тут не наводимо за браком місця.

На рис. 2-4 наводяться графіки температури і температурних напружен. в шарі.

Аналогічно можна розглянути осесиметричну задачу для випадку, коли задана температура на граничних площинах з довільною функцією координати z .

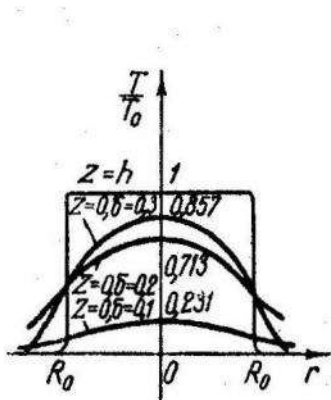


Рис. 2.

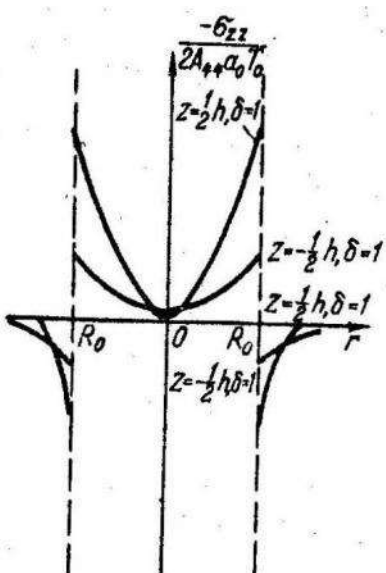


Рис. 3.

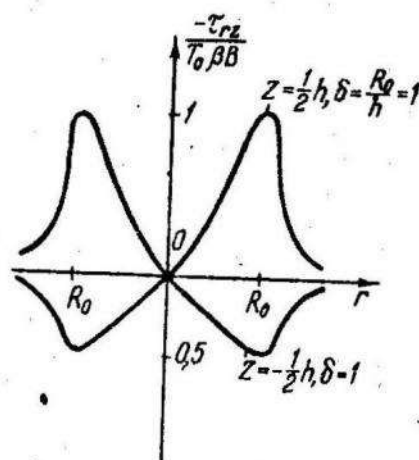


Рис. 4.

3. Тепер розглянемо осесиметричну задачу термоупружності для трансверсально-ізотропного шару при змішаних умовах для температури на границі шару, а саме: на верхній границі шару в кругі радіуса $\chi = a$ підтримується стала температура T_0 , зовнішність круга – теплоізольована; нижня площа шару підтримується при нульовій температурі.

Як і в попередній задачі, визначимо температурне поле і температурні напруження в шарі при вільних від зовнішнього навантаження границях.

Для зручності товщину шару тепер приймемо рівною A_2 , початок системи координат помістимо на верхній площині шару в центрі круга радіуса $\chi = a$, а вісь z направимо вертикально вниз.

Границі умови задачі набирають вигляду

$$\begin{aligned}
T(z, z) &= T_0, & z = 0, \quad 0 \leq z \leq a, \\
\frac{\partial T}{\partial z} &= 0, & z = 0, \quad z > a, \\
T(z, z) &= 0, & z = h, \quad 0 \leq z \leq \infty, \\
\sigma_{zz}(z, z) &= 0, & z = 0, \quad z = h, \quad 0 \leq z \leq \infty, \\
\sigma_{zz}(z, z) &= 0, & z = 0, \quad z = h, \quad 0 \leq z \leq \infty.
\end{aligned} \tag{3.1}$$

При розв'язуванні цієї задачі знову-таки користуємося інтегральним перетворенням Ханкеля, а при обчисленні інтегралів - методом лінків з використанням властивостей функцій Бесселя [2], [1], [9].

Після ряду обчислень і перетворень одержуємо такі результати:

$$\begin{aligned}
T(z, z) &= \frac{4T_0}{\pi} \sum_{n=0}^{\infty} \left\{ \begin{matrix} X_n(a, z) \\ X_n(z, z) \end{matrix} \right\} - \left\{ \begin{matrix} 1 \\ 0 \end{matrix} \right\} \frac{8T_0}{\pi} \sum_{k=1}^{\infty} \frac{J_0(\frac{z}{a} j_k)}{j_k} \left[\frac{P(d_k) \sin \mu_5(h-z) \frac{d_k}{a} N_0(d_k)}{2 j_k \operatorname{ch} \frac{\mu_5 h}{a} j_k} \right] - \\
&- \sum_{n=0}^{\infty} \frac{(ap_{n,n})^2 X_n(a, z)}{[j_k^2 + (ap_{n,n})^2]}, \quad \text{для } \begin{cases} 0 \leq z \leq a \\ z > a \end{cases}, \quad 0 \leq z \leq h, \\
\sigma_{zz}(z, z) &= \mathcal{L} \sum_{n=0}^{\infty} \sum_{m=1}^3 \left\{ \begin{matrix} Z_n(a, z) \\ Z_n(z, z) \end{matrix} \right\} + \mathcal{L} \left\{ \begin{matrix} 1 \\ 0 \end{matrix} \right\} \sum_{k=1}^{\infty} \frac{J_0(\frac{z}{a} j_k)}{j_k} \left[\frac{\pi}{2} \frac{P(d_k) \Delta_n(\frac{d_k}{a}) N_0(d_k)}{j_k \operatorname{ch} \frac{\mu_5 h}{a} j_k \Delta(\frac{d_k}{a})} \right] - \\
&- \sum_{n=0}^{\infty} \sum_{m=1}^3 \frac{(ap_{n,m})^2 Z_n(a, z)}{[j_k^2 + (ap_{n,m})^2]}, \quad \text{для } \begin{cases} 0 \leq z \leq a \\ z > a \end{cases}, \quad 0 \leq z \leq h, \\
\sigma_{zz}(z, z) &= \mu_5 \mathcal{L} \sum_{n=0}^{\infty} \sum_{m=1}^3 \left\{ \begin{matrix} \frac{z}{a} R_n(a, z) \\ R_n(z, z) \end{matrix} \right\} + \mu_5 \mathcal{L} \left\{ \begin{matrix} 1 \\ 0 \end{matrix} \right\} \sum_{k=1}^{\infty} \frac{J_0(\frac{z}{a} j_k)}{j_k} \left[\frac{\pi}{2} \frac{P(d_k) \Delta_n(\frac{d_k}{a}) K_0(d_k)}{j_k \operatorname{ch} \frac{\mu_5 h}{a} j_k \Delta(\frac{d_k}{a})} \right] - \\
&- \sum_{n=0}^{\infty} \sum_{m=1}^3 \frac{(ap_{n,m})^2 R_n(a, z)}{[j_k^2 + (ap_{n,m})^2]}, \quad \text{для } \begin{cases} 0 \leq z \leq a \\ z > a \end{cases}, \quad 0 \leq z \leq h.
\end{aligned} \tag{3.2}$$

Тут використані позначення:

$$X_n(z, z) = (-1)^n \frac{P(ap_{n,1}) \sin(h-z) \mu_5 p_{n,1} K_0(ap_{n,1})}{a^2 p_{n,1}^3 \mu_5 h}$$

$$\begin{aligned}
Z_n(z, z) &= (-1)^n \frac{P(\alpha p_{n,m}) Q(z) K_0(z p_{n,m})}{\Delta_m(p_{n,m})}, \\
R_n(z, z) &= (-1)^n \frac{P(\alpha p_{n,m}) F(z) K_1(z p_{n,m})}{\Delta_m(p_{n,m})}, \\
P(\alpha \omega) &= H_2\left(\frac{\alpha}{\mu_s h}\right)(\alpha \omega)^2 \sinh \alpha \omega - H_2\left(\frac{\alpha}{\mu_s h}\right)(\sinh \alpha \omega - \alpha \omega \cosh \alpha \omega); \\
\Delta_1(\omega) &= \alpha \omega^3 \mu_s h \left[(\mu_r - \mu_s)^2 \sin \frac{\mu_r + \mu_s}{2} h \omega - (\mu_r + \mu_s)^2 \sin^2 \frac{\mu_r - \mu_s}{2} h \omega \right]; \\
\Delta_2(\omega) &= \partial \omega \left((\mu_r - \mu_s)^2 (\mu_r + \mu_s) \alpha^2 \omega^2 \cos \mu_s h \omega \sin \frac{\mu_r + \mu_s}{2} h \omega \right); \\
\Delta_3(\omega) &= \partial \omega \left((\mu_r^2 - \mu_s^2)(\mu_r + \mu_s) \alpha^2 \omega^2 \cos \mu_s h \omega \sin \frac{\mu_r - \mu_s}{2} h \omega \right); \quad (3.3) \\
P(ix) &= -i P^*(x), \quad \Delta_1(ix) = -i Q(x), \quad \Delta_2(ix) = -F(x); \\
\Delta(x) &= -\frac{\Delta_1(ix)}{\alpha^2 \mu_s h(ix)^3}; \\
H_1\left(\frac{\alpha}{\mu_s h}\right) &= 1 + \frac{2S_1}{\pi} \left(\frac{\alpha}{\mu_s h}\right) + \frac{4S_1^2}{\pi^2} \left(\frac{\alpha}{\mu_s h}\right)^2 + \frac{24S_1^3 - 2\pi S_3}{3\pi^2} \left(\frac{\alpha}{\mu_s h}\right)^3 + \\
&+ \frac{16S_1^4 - 2\pi^2 S_1 S_3}{\pi^4} \left(\frac{\alpha}{\mu_s h}\right)^4; \\
H_2\left(\frac{\alpha}{\mu_s h}\right) &= \frac{S_3}{\pi} \left(\frac{\alpha}{\mu_s h}\right)^3 + 2 \frac{S_1 S_3}{\pi} \left(\frac{\alpha}{\mu_s h}\right)^4, \quad S_m = \sum_{n=1}^{\infty} (-1)^{n+1} \frac{1}{n^m}; \\
\mathcal{L} &= \frac{4\beta T_e f(M_s)}{\mu_r \pi B};
\end{aligned}$$

$\gamma_k > 0$ – корені рівняння $\mathcal{J}_k(z) = 0$;

$\gamma_\kappa > 0$ – корені рівняння $\mathcal{J}_\kappa(z) = 0$.

Функції $Q(x)$ та $F(x)$ знаходимо із співвідношення

$$\begin{aligned}
Q(x) &= \vec{\Theta}_1 \left[\vec{\Theta}_2 \Gamma_2^{(3)}(x) + \vec{\Theta}_3 \Gamma_4^{(3)}(x) \right] - \frac{\Delta_1(p_{n,m})}{\alpha^2 p_{n,m}^3 \mu_s h} \left\{ \Gamma_1^{(0)}(x) + \mu_s \sin [\mu_s (h-x) p_{n,m}] \right\}; \\
F(x) &= \vec{\Theta}_1 \left[\vec{\Theta}_2 \Gamma_2^{(3)}(x) + \vec{\Theta}_3 \Gamma_2^{(3)}(x) \right] - \frac{\Delta_1(p_{n,m})}{\alpha^2 p_{n,m}^3 \mu_s h} \left\{ \Gamma_3^{(0)}(x) + \mu_s \cos [\mu_s (h-x) p_{n,m}] \right\}, \quad (3.4)
\end{aligned}$$

де

$$\begin{aligned} & \vec{\theta}_1 \left\{ \Gamma_1^{(1)}(h), \Gamma_1^{(5)}(h) \right\}, \quad \vec{\theta}_2 \left\{ \Gamma_2^{(3)}(h), \Gamma_2^{(4)}(h) \right\}, \quad \vec{\theta}_3 \left\{ \Gamma_3^{(2)}(h), -\Gamma_3^{(3)}(h) \right\}; \\ & \Gamma_1^{(1)}(z) = \mu_5 \cos \mu_5 h \rho_{n,m} \sin \mu_1 z \rho_{n,m} - \mu_1 s \cdot \mu_5 h \rho_{n,m} \cos \mu_1 z \rho_{n,m} + \omega_j; \\ & \Gamma_2^{(3)}(z) = \omega_j \sin \mu_3 z \rho_{n,m} - \omega_z \sin \mu_1 z \rho_{n,m}; \\ & \Gamma_3^{(2)}(z) = \mu_5 \cos \mu_5 h \rho_{n,m} \cos \mu_1 z \rho_{n,m} + \mu_1 s \sin \mu_5 h \rho_{n,m} \sin \mu_1 z \rho_{n,m} - \omega_j; \\ & \Gamma_3^{(3)}(z) = \omega_j \cos \mu_3 z \rho_{n,m} - \omega_z \cos \mu_1 z \rho_{n,m}; \\ & \omega_0 = 0, \quad \omega_1 = \mu_1, \quad \omega_3 = \mu_3, \quad \omega_5 = \mu_5; \end{aligned} \tag{3.5}$$

$$\rho_{n,1} = \frac{2n+1}{2} \frac{\pi}{\mu_5 h}, \quad \rho_{n,2} = \frac{2\pi n}{\mu_1 - \mu_3}, \quad \rho_{n,3} = \frac{2\pi n}{\mu_1 + \mu_3}.$$

При обчисленні інтегралів була використана апроксимація

$$\begin{aligned} & (\mu_1 - \mu_3) \operatorname{sh} \frac{\mu_1 + \mu_3}{2} h \alpha - (\mu_1 + \mu_3) \operatorname{sh} \frac{\mu_1 - \mu_3}{2} h \alpha \approx \alpha e_1 (\mu_1 + \mu_3) h \operatorname{sh} \frac{\mu_1 - \mu_3}{2} h \alpha, \\ & (\mu_1 - \mu_3) \operatorname{sh} \frac{\mu_1 + \mu_3}{2} h \alpha + (\mu_1 + \mu_3) \operatorname{sh} \frac{\mu_1 - \mu_3}{2} h \alpha \approx \alpha e_2 (\mu_1 - \mu_3) \operatorname{sh} \frac{\mu_1 - \mu_3}{2} h \alpha, \end{aligned} \tag{3.6}$$

для якого $\alpha e_1 = 0,2$, $\alpha e_2 = 1,99$.

Зauważимо, що наведені вище формули мають місце, коли

$$\frac{\mu_3 h}{a} > 0,4415.$$

За допомогою аналогічних мірювань можна знайти формули для інших компонент напруженого стану.

Л і т е р а т у р а

1. Г. Б е й т м е н, А. Э р д е й н. Высшие трансцендентные функции. М., "Наука", 1966.
2. Г. Н. В а т о с о н. Теория Бесселевых функций. Госиздат, М., 1949.
3. Г. К а р с л о у, Д. Е г е р. Теплопроводность твердых тел. М., "Наука", 1964.
4. М. А. Л а з р е н т ё в, Б. В. Ш а б а т. Методы теории функций комплексного переменного. ГИФМЛ, М., 1958.
5. В. Н о в а ц к и й. Вопросы термоупругости. АН СССР, М., 1962.
6. И. Г. П е т р о в с к и й. Лекции по теории обыкновенных дифференциальных уравнений. М., Гостехиздат, 1952.
7. И. С и е д д о н. Преобразование Фурье. М., ИЛ, 1955.
8. Я. С. У ф л я н д. Интегральные преобразования в задачах теории упругости. "Наука", Ленинград. отд., Л., 1967.
9. Е. Я н к е, Ф. Э д м е, Ф. Л е ш. Специальные функции. М., 1968.
10. F. D u m e k. Osiowo-symetryczne zadanie brzegowe przestrzennej teorii spręzystości i jego zastosowanie do zagadnień mechaniki górotwórczej. Archiwum Górnictwa, t. XIII, N 3, 1968.

---0---

УДК 539.311

Е.І.ЛУНЬ, А.О.СЯСЬКИЙ

ПРО ЕКВІВАЛЕНТНЕ ПІДКРІПЛЕННЯ ОТВОРУ В ПРУЖНІЙ ОБОЛОНЦІ

Питання еквівалентного підкріплення отворів в пластинах і оболонках на основі класичної теорії розглядались в працях [1,4,5,6,7,8]. В роботі [9] при дослідженні питання про усунення концентрації напруження біля отворів в пластинах використовувались рівняння уточненої тео-

рії [10], яка дає можливість задовільнити всі три граничні умови на контурі отворів.

У цій роботі задача про еквівалентне підкріплення отвору в пружній оболонці розглядається на основі рівнянь теорії Тимошенка [11], яка в певній мірі враховує деформації поперечних зсувів і дає можливість задовільнити п'ять граничних умов на контурі отвору.

1. Ключову систему рівнянь для оболонок нульової гаусової кривини, пологих і досить інших оболонок можна взяти у вигляді [2]

$$D\Delta\Delta w + \Delta_\kappa(1-\varepsilon\Delta)\varphi = (1-\varepsilon\Delta)q_n, \quad (1)$$

$$\Delta\Delta\varphi - 2Eh\Delta_\kappa w = 0;$$

$$\Delta\varphi - \frac{2}{(1-\nu)}\varepsilon\varphi = 0,$$

де $w(\alpha, \beta)$ – нормальний прогин оболонки; $\varphi(\alpha, \beta)$ – функція напружень; $\psi(\alpha, \beta)$ – функція, через яку виражаються кути повороту нормалі; $D = \frac{\rho Eh^3}{3(1-\nu^2)}$; $\varepsilon = \frac{h^2}{3K(1-\nu^2)} \frac{E}{G_n}$; $2h$ – товщина оболонки; E , ν – модуль Юнга та коефіцієнт Пуассона в середній та еквідistantних площинах; G_n – модуль зсуву в площині, нормальні до середньої поверхні;

$$\Delta = \frac{1}{hB} \left[\frac{\partial}{\partial\alpha} \left(\frac{B}{A} \frac{\partial}{\partial\alpha} \right) + \frac{\partial}{\partial\beta} \left(\frac{A}{B} \frac{\partial}{\partial\beta} \right) \right];$$

$$\Delta_\kappa = \frac{1}{hB} \left[\frac{\partial}{\partial\alpha} \left(\frac{1}{R_2} \frac{B}{A} \frac{\partial}{\partial\alpha} \right) + \frac{\partial}{\partial\beta} \left(\frac{1}{R_1} \frac{A}{B} \frac{\partial}{\partial\beta} \right) \right].$$

Компоненти пружно-деформованого стану оболонки виражаються через рівняння системи (1) за формулами, наведеними в [11].

Умови еквівалентності [6] записуються у вигляді

$$u(\alpha, \beta) = u_o(\alpha, \beta), \quad v(\alpha, \beta) = v_o(\alpha, \beta), \quad w(\alpha, \beta) = w_o(\alpha, \beta), \quad (2)$$

$$\delta_\alpha(\alpha, \beta) = \delta_\alpha^o(\alpha, \beta), \quad \delta_\beta(\alpha, \beta) = \delta_\beta^o(\alpha, \beta),$$

де величини справа – компоненти переміщення і кути повороту нормалі в

оболонці без отвору, а величини зліва – компоненти переміщення і кути повороту в оболонці з підкріпленим отвором під тим же навантаженням.

Приймаючи, що кільце тонке, умови спаю між оболонкою і еквівалентним кільцем запишемо у вигляді

$$\rho_n(s) = T_n(s), \quad \rho_s(s) = S_{ns}(s), \quad \rho(s) = N_n(s), \quad (3)$$

$$m(s) = M_n(s), \quad h(s) = H_{ns}(s);$$

$$u_i = u_n, \quad u_e = u_s, \quad w_p = w, \quad \gamma_i = \gamma_n, \quad \gamma_e = \gamma_s. \quad (4)$$

Тут $\rho_n(s), \rho(s), \rho_s(s), m(s), h(s)$ – поперечні та поздовжні сили, згинальний та скручувальний моменти, які діють на кільце зі сторони оболонки; u_i , u_e , w_p , γ_i , γ_e – компоненти переміщення, кут кручения та кут згину кільця; T_n , S_{ns} , N_n , M_n , H_{ns} – нормальні, дотична та перерізуюча сили, згинальний та крутний моменти в оболонці на контурі отвору; u_n , u_s , w , γ_n , γ_s – компоненти переміщення (по головній нормалі, дотичній та бінормалі до контура отвору), кути повороту нормалі навколо дотичної \vec{S} та головної нормалі \vec{N} до контура отвору; s – дуга на контурі отвору.

Праві частини умов (3) та (4) можна вважати відомими, якщо відомий розв'язок задачі для оболонки без отвору. Таким чином, задача про еквівалентне підкріплення отвору в оболонці звелась до визначення жорсткостей кільця при відомих деформаціях кільця (4) та навантаженні (3), що діє на нього.

Вважаємо, що в підкріплючому кільці, як і в оболонці, зсуви можуть бути відмінними від нуля, і залежності між внутрішніми зусиллями в кільці і параметрами деформації приймаємо у вигляді

$$L_n = A(s) \delta \omega_n, \quad L_e = B(s) \delta \omega_e, \quad L_s = C(s) \delta \omega_s, \quad (5)$$

$$v_e = B^*(s) e_e, \quad v_s = E_e F(s) \varepsilon_e.$$

Тут L_n , L_θ , L_s - згинаючі та крутний моменти в кільці; v_θ , v_s - поперечна та поздовжня сили; $A(s)$, $B(s)$, $C(s)$ - шукані жорсткості кільця на згин та кручення; $B^*(s)$ - приведена жорсткість кільця на зсув; $\delta\omega_n$, $\delta\omega_\theta$, $\delta\omega_s$ - приrostи кривин та кручення кільця, e_θ - зсув в спрямлюючій площині кільця; ϵ_o - відносний розтяг осі кільця; E_i - модуль Юнга для матеріалу кільця; $F(s)$ - площа поперечного перерізу кільця.

Величини L_n , L_θ , L_s , v_θ і v_s визначаються при інтегруванні рівнянь статики для частини кільця, що знаходиться під дією заданого навантаження.

Враховуючи співвідношення Клебша [3] та прийняті допущення, зможемо записати такі співвідношення для підкріплючого плоского кільця:

$$\delta\omega_n = \frac{\partial \gamma_\theta}{\partial s} + q \gamma_s, \quad \delta\dot{\omega}_\theta = \frac{\partial \tilde{\gamma}_s}{\partial s},$$

$$\delta\omega_s = \frac{\partial \tilde{\gamma}_s}{\partial s} - q \gamma_\theta, \quad e_\theta = \frac{\partial w_\theta}{\partial s} + \tilde{\gamma}_s, \quad (6)$$

$$\epsilon_o = -\frac{\partial u_\theta}{\partial s} - q u_s,$$

де γ_θ - кут згину кільця в площині (\vec{n} , \vec{s});

$q(s)$ - кривина осі кільця в площині (\vec{n} , \vec{s}).

Враховуючи умови спаю (4) та співвідношення (6), одержуємо із (5) такі формули для шуканих жорсткостей кільця:

$$A(s) = \frac{L_n}{\frac{\partial \tilde{\gamma}_s}{\partial s} + q \gamma_n}, \quad B(s) = \frac{L_\theta}{\frac{\partial \tilde{\gamma}_s}{\partial s}}, \quad (7)$$

$$C(s) = \frac{L_s}{\frac{\partial \tilde{\gamma}_n}{\partial s} - q \gamma_s}, \quad B^*(s) = \frac{v_\theta}{\frac{\partial w_\theta}{\partial s} + \tilde{\gamma}_s},$$

$$E_i F(s) = -\frac{v_s}{\frac{\partial u_\theta}{\partial s} + q u_n}.$$

В кожному конкретному випадку розв'язки (7) повинні бути досліджені, оскільки жорсткості повинні приймати лише невід'ємні та скінченні значення.

Якщо допустити, що ϵ_e відсутній, і врахувати, що тоді

$$\delta_s = \frac{\partial w}{\partial s}, \quad \delta_n = -\frac{\partial w}{\partial n}, \quad (8)$$

то формули (7) набувають вигляду

$$A(s) = -\frac{L_n}{\frac{\partial^2 w}{\partial s^2} + q \frac{\partial w}{\partial n}}, \quad B(s) = \frac{L_e}{\frac{\partial \delta_e}{\partial s}}, \quad (9)$$

$$C(s) = -\frac{L_s}{\frac{\partial}{\partial s} \left(\frac{\partial w}{\partial n} - q w \right)}, \quad E_F(s) = -\frac{v_s}{\frac{\partial u_s}{\partial s} + q u_n}$$

Це є розв'язок задачі в рамках класичної теорії.

2. Для прикладу розглядається задача про підбір еквівалентного кільця, що підкріплює круговий отвір в циліндричній оболонці, яка перебуває під дією рівномірного внутрішнього тиску.

Основний напруженний стан в суцільній оболонці задається зусиллями

$$T_p = h(p+q) + h(p-q) \cos 2\lambda; \\ T_\lambda = h(p+q) - h(p-q) \cos 2\lambda; \quad (10)$$

$$S_{p\lambda} = -h(p-q) \sin 2\lambda$$

Середня поверхня оболонки віднесена до полярної напівгеодезичної системи координат (ρ, λ) , з початком в центрі отвору.

В даному випадку формули (7) набувають вигляду

$$A(\rho, \lambda) = \frac{L_e}{\frac{1}{\rho} \left(\frac{\partial \delta_e}{\partial \lambda} + r_f \right)}, \quad C(\zeta, \lambda) = \frac{L_e}{\frac{1}{\rho} \left(\frac{\partial \delta_e}{\partial \lambda} - r_f \right)}, \quad (11)$$

$$B(\zeta, \lambda) = \frac{L_e}{\frac{1}{\rho^2} \frac{\partial}{\partial \lambda} \left(u_s - \frac{\partial w}{\partial \lambda} \right)}, \quad B^*(\zeta, \lambda) = \frac{L_e}{\frac{1}{\rho} \frac{\partial w}{\partial \lambda} + r_f},$$

$$E_F(\zeta, \lambda) = -\frac{v_s}{\frac{1}{\rho} \left(u_s + \frac{\partial w}{\partial \lambda} \right)}$$

Щоб знайти величини L_f , L_λ , L_e , U_λ , U_e , потрібно розв'язати систему диференціальних рівнянь згину кільця [3], що перебуває під навантаженням (10). Розв'язавши цю систему, одержимо, що

$$U_\lambda = f h \left[(\rho + q) - (\rho - q) \cos 2\lambda \right], \quad L_e = \frac{f}{2} \rho^2 h (\rho - q) \cos 2\lambda, \quad (12)$$

$$L_\rho = L_\lambda = U_e = 0.$$

Згідно з розв'язком задачі про напруженно-деформований стан в циліндричній оболонці при дії внутрішнього тиску з використанням системи (1) маємо

$$\delta_\rho = \delta_\lambda = 0, \quad w = w_0 = \text{const},$$

$$\frac{1}{\rho} \left(u_\rho + \frac{\partial u_\theta}{\partial \lambda} \right) = \frac{1}{2Eh} \left[(1-\nu)(\rho+q)h - (1+\nu)(\rho-q)h \cos 2\lambda \right], \quad (13)$$

$$\frac{1}{\rho} \frac{\partial}{\partial \lambda} \left(u_\lambda - \frac{\partial u_\theta}{\partial \rho} \right) = \frac{1}{2Eh} \left[2(1+\nu)(\rho-q)h \cos 2\lambda \right].$$

Підставляючи (12) і (13) в (11), одержуємо

$$E_F(\rho, \lambda) = 2E\rho h \frac{(\rho+q) - (\rho+q)\cos 2\lambda}{(1-\nu)(\rho+q) - (1+\nu)(\rho-q)\cos 2\lambda}, \quad (14)$$

$$B(f, \lambda) = \frac{E\rho^3 h}{2(1+\nu)};$$

$A(\rho, \lambda)$, $C(f, \lambda)$, $B^*(\rho, \lambda)$ – довільні.

Враховуючи, що

$$F(\rho, \lambda) = 2Eh, \quad L(\rho, \lambda) = \frac{2}{3} E_F \rho^3 h, \quad \rho = 0,5q, \quad (15)$$

одержимо аналітичні вирази для геометричних характеристик кільця товщини $h_1(\lambda)$ і ширини $b(\lambda)$.

$$\frac{b(\lambda)}{\rho} = \frac{\sqrt{3}}{2\sqrt{1+\nu}} \sqrt{\frac{3(1-\nu) + (1+\nu)\cos 2\lambda}{3 + \cos 2\lambda}}, \quad (16)$$

$$\frac{h_1(\lambda)}{h} = \frac{2\sqrt{1+\nu}}{\sqrt{3}} \frac{E}{E_F} \sqrt{\left(\frac{3 + \cos 2\lambda}{3(1-\nu) + (1+\nu)\cos 2\lambda} \right)^3}.$$

В таблиці наведені величини вказаних характеристик кільця в залежності від величини кута λ при $\nu = 0,3$; $\frac{E}{E_1} = 0,5$.

λ	0°	15°	30°	45°	60°	75°	90°
$\frac{\delta(\lambda)}{\rho}$	0,701	0,692	0,669	0,638	0,578	0,524	0,479
$\frac{2h_1(\lambda)}{h}$	1,69	1,74	1,89	2,26	2,99	4,02	4,90

Література

1. А. Н. Кваша. Вопросы снижения концентрации напряжений в ослабленных пластинках и оболочках. Автореферат канд. диссертации. Институт механики АН УССР, К., 1960.
2. Е. И. Лунь. Спрощення основних рівнянь теорії оболонок типу Тимошенка, Вісник ЛДУ, серія мех.-мат., вип. 3, 1967.
3. А. И. Лурье. О малых деформациях криволинейных стержней, Труды Ленинградского политехнического института № 3, 1941.
4. В. І. Моссаковський, А. Н. Кваша. Конструкція та розрахунок луків, які не викликають концентрації напружень в сферичних оболонках, "Прикладна механіка", т. 5, вип. 4, 1959.
5. Г. Н. Савиц, Н. П. Флейман. Пластиинки и оболочки с ребрами жесткости. "Наукова думка", К., 1964.
6. Н. П. Флейман. Об эквивалентном подкреплении отверстий в пластинах. Доповіді та повідомлення ЛДУ, вип. 4, ч. II, 1953.
7. Н. П. Флейман. Про підкріплення краю криволінійних отворів тонких плит. ДАН УРСР, № 4, 1954.
8. Н. П. Флейман. Некоторые обратные задачи для плит с отверстиями, края которых подкреплены тонкими ребрами. Изв. вузов, "Машиностроение", № 7, 1961.
9. Н. П. Флейман, Б. Л. Пелех. К вопросу о полном устранении концентрации напряжений около отверстий в плитах. Сборник концентрации напряжений, вып. I, К., 1965.
10. М. П. Шереметьев, Б. Л. Пелех. К построению уточненной теории пластин. Инженерный журнал, № 3, 1964.
11. М. П. Шереметьев, Е. И. Лунь. Уточнение линейной моментной теории тонких оболочек. Труды ІУ Всесоюзной конференции по теории оболочек и пластин, Ереван, 1962.

І.В.СТАРОВОЙТЕНКО

ПЛАСТИНКА З ПІДКРІПЛЕНОЮ КРУГОВОЮ ГРАНИЦЕЮ
ПІД ДІЄЮ ЗОСЕРЕДЖЕНИХ СИЛ І МОМЕНТІВ¹⁾

Розглядається узагальнений плоский напруженний стан ізотропної пластиинки сталої товщини, круговий край якої підкріплено тонким пружним ребром з постійними жорсткостями на розтяг та згин. Розв'язок задачі дается для круглого диска радіуса R . Аналогічно, без суттєвих змін, розв'язується і задача про дією зосереджених сил і моментів на безмежну пластиинку з підкріпленим круговим отвором.

Нехай в точках $X_j = R\zeta_j$ та $X_k = R\zeta_k$ диска прикладено відповідно зосереджені сили $P_j^*(X_j, Y_j)$ і моменти M_k^* ($j = 1, 2, \dots, n$; $k = 1, 2, \dots, m$). На ребро діє довільне навантаження. Аналогічно роботі [4], в якій розглядається менш загальний випадок навантаження, та використовуючи відоме вображення комплексних потенціалів Колосова-Мусхелішвілі $\Psi(\zeta) + \bar{\Psi}(\zeta)$ (див. [3], формули (3), (5), стор. 198) і граничні умови (1), (2) роботи [4], зводимо задачу до системи диференціальних рівнянь на комплексній площині:

$$\begin{aligned} & \delta_2 \zeta^2 \Phi_{20}''(\zeta) + (\delta_1 + \delta_2) \zeta \Phi_{20}'(\zeta) + (1 - \delta_1 - \delta_2) \Phi_{20}(\zeta) - \delta_2 \alpha \zeta \Phi_{10}''(\zeta) + \\ & + \alpha (\delta_1 + \delta_2) \Phi_{10}'(\zeta) + \frac{f}{\zeta} \Phi_{10}(\zeta) = f_{11}(\zeta); \\ & \delta_1 \zeta^2 \Phi_{20}''(\zeta) + \zeta \Phi_{20}'(\zeta) - \Phi_{20}(\zeta) + \delta_1 \alpha \zeta \Phi_{10}''(\zeta) + \Phi_{10}''(\zeta) = f_{21}(\zeta), \end{aligned} \quad (1)$$

¹⁾ Робота виконана під керівництвом проф. Н.П.Філейшмана.

$$\begin{aligned}
 & \text{de} \quad f_{z_1}(s) = -\frac{1}{\pi i} \int \frac{f_i(\delta)}{\delta-s} d\delta + \sum_{j=1}^n \frac{X_j + iY_j}{2\pi(1+\alpha e)} \left[\bar{s}_j + \frac{\alpha \bar{s}_j}{1-s \bar{s}_j} - \frac{\delta_1 \alpha e s \bar{s}_j^2}{(1-s \bar{s}_j)^2} \right] - \\
 & - \sum_{j=1}^n \frac{X_j - iY_j}{2\pi(1+\alpha e)} \left[\alpha e (1+\delta_1) s + \alpha e \bar{s}_j + \frac{s}{1-s \bar{s}_j} - \frac{1-\delta_1 \bar{s}_j + \delta_1 \alpha e}{(1-s \bar{s}_j)^2} \cdot s + \right. \\
 & \left. + \frac{2\delta_1 (1-s \bar{s}_j)}{(1-s \bar{s}_j)^3} \cdot s \right] + \sum_{k=1}^m \frac{iM_k}{2\pi} \left[\frac{2-s \bar{s}_k}{1-s \bar{s}_k} + \frac{s \bar{s}_k}{(1-s \bar{s}_k)^2} - \frac{2\delta_1 \bar{s}_k s}{(1-s \bar{s}_k)^3} \right], \quad (2)
 \end{aligned}$$

$$\begin{aligned}
 f_{z_1}(s) &= b_o \left[-2 + (\delta_1 + \delta_2)(1-\alpha e) \right] + \frac{1}{\pi i} \int \frac{f_i(\delta) d\delta}{\delta-s} - \\
 &- \frac{1}{2\pi(1+\alpha e)} \sum_{j=1}^n (X_j + iY_j) \left\{ (1-\delta_1 - \delta_2) \bar{s}_j - \frac{\alpha e + 1}{s} \ln \frac{\delta_j - s}{\delta_j} + \frac{\alpha e \ln(1-s \bar{s}_j)}{s} \right. \\
 &+ \left. \frac{\alpha e (\delta_1 + \delta_2) \bar{s}_j}{1-s \bar{s}_j} - \frac{\delta_2 \alpha e s \bar{s}_j^2}{(1-s \bar{s}_j)^2} \right\} - \frac{1}{2\pi(1+\alpha e)} \sum_{j=1}^n (X_j - iY_j) \left\{ [(\alpha e + 1) \ln(\bar{s}_j - s) - \right. \\
 &\left. - \ln(1-s \bar{s}_j) + (\alpha e + 1) C_2 + \alpha e (\delta_1 + 2\delta_2)] \cdot s + (\alpha e + 1) C_1 + \alpha e (\delta_1 + \delta_2 - 1) \bar{s}_j + \right. \\
 &+ \left. \frac{(1-\delta_1 - \delta_2)(\delta_j - s)}{1-s \bar{s}_j} - \frac{\alpha e (\delta_1 + \delta_2) s}{1-s \bar{s}_j} + [(\delta_1 + \delta_2)(1-s \bar{s}_j) - \alpha \delta_2] \frac{s}{(1-s \bar{s}_j)^2} - \right. \\
 & \left. - \frac{2\delta_2 (1-s \bar{s}_j) s}{(1-s \bar{s}_j)^3} \right\} - \frac{i}{2\pi} \sum_{k=1}^m M_k \left[1-\delta_1-\delta_2 - \frac{1-\delta_1-\delta_2}{1-s \bar{s}_k} + \frac{(\delta_1+\delta_2) \bar{s}_k s}{(1-s \bar{s}_k)^2} - \frac{2\delta_2 \bar{s}_k s}{(1-s \bar{s}_k)^3} \right];
 \end{aligned}$$

$$\begin{aligned}
 b_o &= \frac{1}{2[2+(\alpha e - 1)(\delta_1 + \delta_2)]} \left\{ \frac{1}{\pi i} \int \frac{f_i(\delta) d\delta}{\delta} - \frac{1}{2\pi(1+\alpha e)} \left[\sum_{j=1}^n (X_j + iY_j) [(1-\alpha e) \bar{s}_j + \right. \right. \\
 &+ \left. \left. \frac{\alpha e + 1}{\bar{s}_j} + (\alpha e - 1)(\delta_1 + \delta_2) \bar{s}_j \right] + \sum_{j=1}^n (X_j - iY_j) [(\alpha e + 1) \bar{s}_j + (1-\alpha e) s_j + (\alpha e - 1)(\delta_1 + \delta_2) \bar{s}_j] \right\}
 \end{aligned}$$

Тут C_1 - довільна комплексна стала; δ_i - довільна точка одиничного кола Γ площини $\zeta = z/R$; $X_i = X_i^*/h$, $Y_i = Y_i^*/h$, $M_i = M_i^*/h$; інші позначення ті ж, що й в роботі [4].

Розв'язок системи (1), тобто функцій $\varphi_{10}(\zeta)$ і $\varphi_{20}(\zeta)$, виражається в квадратурах за формулами (23) роботи [4], в яких праві частини $f_{11}(\zeta)$, $f_{21}(\zeta)$ визначаються формулами (2).

У частковому випадку, коли до диска прикладено лише дві зосереджені сили: $(-P_i, 0)$ в центрі диска та $(P_i, 0)$ в точці $z_o = R\zeta_o$ на дійсній осі, маємо:

$$\begin{aligned} f_{11}(\zeta) &= -\frac{\rho}{2\pi(1+\alpha)} \left\{ \left(\frac{\alpha}{\zeta} - 1 \right) \ln(1-\zeta\zeta_o) + \left[1 - 2\delta_i + \alpha(\delta_i + 2\delta_e) \right] \zeta + \right. \\ &\quad \left. + \frac{(\zeta_o - \zeta)[(\delta_i + \delta_e)(\alpha - 1) + 1]}{1 - \zeta\zeta_o} + \frac{(\delta_i + \delta_e)(1 - \zeta_o^2)\zeta - \alpha\delta_e(1 + \zeta_o^2)\zeta}{(1 - \zeta\zeta_o)^2} - \frac{2\delta_e(1 - \zeta_o^2)/\zeta}{(1 - \zeta\zeta_o)^3} \right\}; \\ f_{21}(\zeta) &= \frac{\rho}{2\pi(1+\alpha)} \left[(2\delta_i - \delta_i\alpha - 1)\zeta - (\alpha - 1)\zeta_o + \frac{(\alpha - 1)\zeta_o}{1 - \zeta\zeta_o} + \right. \\ &\quad \left. + \frac{1 - \zeta_o^2 + \delta_i\alpha - \alpha\delta_i\zeta_o^2}{(1 - \zeta\zeta_o)^2} \zeta - \frac{2\delta_i(1 - \zeta_o^2)\zeta}{(1 - \zeta\zeta_o)^3} \right]; \\ b_o &= \frac{\rho(\alpha - 1)(1 - \delta_i - \delta_e)\zeta_o}{2\pi(1 + \alpha)[2 + (\alpha - 1)(\delta_i + \delta_e)]}, \quad \rho = P_i/h. \end{aligned} \quad (3)$$

При $\zeta_o = 1$ матимемо

$$\begin{aligned} z_3(\zeta) &= \frac{\rho}{4\pi\alpha\delta_i\delta_e(1+\alpha)} \left[A_i + B_i\zeta + \frac{\delta_i\alpha}{\zeta} \ln(1-\zeta) - \delta_i\zeta \ln(1-\zeta) - \right. \\ &\quad \left. - \frac{2\delta_i\delta_e\alpha\zeta}{(1-\zeta)^2} + \frac{(\alpha-1)\delta_e}{1-\zeta} \right]; \end{aligned} \quad (4)$$

$$\begin{aligned} z_4(\zeta) &= -\frac{\rho}{4\pi\delta_i\delta_e(1+\alpha)} \left[A_e + B_e\zeta + \frac{\delta_i\alpha}{\zeta} \ln(1-\zeta) - \delta_i\zeta \ln(1-\zeta) - \right. \\ &\quad \left. - \frac{2\delta_i\delta_e\alpha\zeta}{(1-\zeta)^2} - \frac{(\alpha-1)\delta_e}{1-\zeta} \right], \end{aligned}$$

$$\text{де } A_1 = \delta_1 + \delta_2(1-\alpha\epsilon) + \delta_1(\alpha\epsilon-1)(\delta_1 + \delta_2);$$

$$B_1 = \delta_1(1-2\delta_1 + \alpha\delta_1 + \alpha\epsilon\delta_2) + \delta_2(2\delta_1 - 1);$$

$$A_2 = \delta_1 - \delta_2(1-\alpha\epsilon) + \delta_1(\alpha\epsilon-1)(\delta_1 + \delta_2);$$

$$B_2 = \delta_1(1-2\delta_1 + \alpha\delta_1 + 3\alpha\epsilon\delta_2) - \delta_2(2\delta_1 - 1).$$

Для визначення функцій $\varPhi_{r_0}(S)$ і $\varPhi_{e_0}(S)$ що потрібно обчислити інтеграли типу

$$S^{\rho_j+1} \int_0^S \frac{z_1(t) dt}{t^{\rho_j+1}}, \quad S^{\rho_j+1} \int_0^S \frac{z_2(t) dt}{t^{\rho_j+1}}. \quad (5)$$

Якщо підставити функції (4) в формули (5), одержимо вирази типу

$$J_\kappa^j = S^\alpha \int_0^S \frac{t^{-\alpha} dt}{1-t}, \quad (6)$$

які не обчислюються в кінцевій формі. Тут α приймає значення ρ_j+1 або ρ_j-1 .

Для обчислення інтегралів (6) можна скористатися розкладом [2]

$$J_\kappa^j = J_{\kappa_1}^j + i J_{\kappa_2}^j = \sum_{n=1}^{\infty} \frac{S^n}{n^{-\alpha}}, \quad (7)$$

де

$$J_{\kappa_1}^j = \sum_{n=1}^{\infty} \frac{S^n (n - \alpha_{jk})}{(n - \alpha_{jk})^2 + \ell_j^2}; \quad J_{\kappa_2}^j = \ell_j \sum_{n=1}^{\infty} \frac{S^n}{(n - \alpha_{jk})^2 + \ell_j^2}; \quad (8)$$

$$\rho_j = \kappa_j + i \ell_j; \quad \alpha_{jk} = \kappa_j + \kappa - 1; \quad (\kappa = 0; 2); \quad J_m S = 0.$$

Нижче наводяться кінцеві формули для нормальніх напружень в точках дійсної осі Ox при $\alpha = 2$. (Дотичні напруження X_y в цих точках дорівнюють нулеві).

$$\frac{X_x + Y_x}{\rho} = \frac{2}{3\pi} \left\{ \frac{1}{x(t-x)} + \sum_{j=1}^4 \left[a_{ij} M'_{j1}(x) - b_{ij} M'_{j2}(x) \right] \right\}; \quad (9)$$

$$\begin{aligned} \frac{Y_y - X_x}{\rho} &= \frac{1}{3\pi} \left\{ -\frac{3}{x(t-x)} + (x - \frac{t}{x}) \sum_{j=1}^4 \left[a_{ij} M''_{j1}(x) - b_{ij} M''_{j2}(x) \right] - \right. \\ &\quad \left. - \frac{2}{x^2} \sum_{j=1}^4 \left[a_{2j} M'_{j1}(x) - b_{2j} M'_{j2}(x) \right] + \frac{t}{x^2} \sum_{j=1}^4 \left[(a_{2j} + a_{ij}) M'_{j1}(x) - (b_{2j} + b_{ij}) M'_{j2}(x) \right] \right\}. \end{aligned}$$

Tyr.

$$\begin{aligned} M'_{j1}(x) &= \frac{1}{2\delta_1\delta_2} \left\{ \left[A_1 \left(\frac{D_{jj}^i}{2} d'_1 - \frac{D_{jj}^z}{2} d'_3 \right) + A_2 \left(D_{jj}^z d'_1 - D_{jj}^i d'_3 \right) \right] x + \right. \\ &\quad + \left[B_1 \left(\frac{D_{jj}^i}{2} d'_2 + \frac{D_{jj}^z}{2} d'_4 \right) - B_2 \left(D_{jj}^z d'_2 + D_{jj}^i d'_4 \right) \right] x^2 - \\ &\quad \left. - \left(\frac{D_{jj}^z}{2} - D_{jj}^i \right) R_j(x) + \left(D_{jj}^i - \frac{D_{jj}^z}{2} \right) N_j(x) + T_j J'_{21} + L_j J'_{22} \right\}; \quad (10) \end{aligned}$$

$$\begin{aligned} M'_{j2}(x) &= \frac{1}{2\delta_1\delta_2} \left\{ \left[A_1 \left(\frac{D_{jj}^z}{2} d'_1 + \frac{D_{jj}^i}{2} d'_3 \right) - A_2 \left(D_{jj}^i d'_1 + D_{jj}^z d'_3 \right) \right] x + \right. \\ &\quad + \left[B_1 \left(\frac{D_{jj}^z}{2} d'_2 - \frac{D_{jj}^i}{2} d'_4 \right) + B_2 \left(D_{jj}^i d'_2 - D_{jj}^z d'_4 \right) \right] x^2 - \\ &\quad \left. - \left(\frac{D_{jj}^z}{2} - D_{jj}^i \right) N_j(x) - \left(D_{jj}^i - \frac{D_{jj}^z}{2} \right) R_j(x) + T_j J'_{21} - L_j J'_{22} \right\}; \end{aligned}$$

$$d'_1 = \frac{\ell_j}{\kappa_j^2 + \ell_j^2}, \quad d'_2 = \frac{\ell_j}{(1-\kappa_j)^2 + \ell_j^2}, \quad d'_3 = \frac{\kappa_j}{\kappa_j^2 + \ell_j^2},$$

$$d'_4 = \frac{1-\kappa_j}{(1-\kappa_j)^2 + \ell_j^2}, \quad d'_5 = \frac{\ell_j}{(\kappa_j+1)^2 + \ell_j^2}, \quad d'_6 = \frac{\kappa_j+1}{(\kappa_j+1)^2 + \ell_j^2};$$

$$\begin{aligned} T_j &= \left(\frac{D_{jj}^z}{2} + D_{jj}^i \right) \delta_e - 2 \left(\frac{D_{jj}^z}{2} - D_{jj}^i \right) \left(\delta_1 d'_1 + 2\delta_1 \delta_2 \kappa_j \right) + \\ &\quad + 2\delta_1 \left(D_{jj}^i - \frac{D_{jj}^z}{2} \right) \left(2\delta_2 \ell_j - d'_5 \right); \end{aligned}$$

$$L_j = \left(D_{ij}^i + \frac{D_{ij}^i}{2} \right) \delta_i + 2\delta_i \left(D_{ij}^i - \frac{D_{ij}^i}{2} \right) \left(d_s^j + 2\delta_s K_j \right) + \\ + 2\delta_i \left(\frac{D_{ij}^i}{2} - D_{ij}^i \right) \left(2\delta_s \ell_j - d_s^j \right);$$

$$N_j(x) = \delta_i \left\{ \left(x^2 d_s^j - 2d_s^j \right) \ln(1-x) + x^2 \left[d_s^j J_{os}^j + d_s^j J_{os}^j \right] \right\};$$

$$R_j(x) = \delta_i \left\{ \left(2d_s^j + x^2 d_s^j \right) \ln(1-x) + \frac{4\delta_s x}{1-x} + x^2 \left[d_s^j J_{os}^j - d_s^j J_{os}^j \right] \right\};$$

$$c_{ij} = a_{ij} + i b_{ij}, \quad D_{sj} = D_{sj}^k + i D_{sj}^i = \frac{D_{sj}^*}{D^*}, \quad (s=3,4).$$

Для обчислення напружень в точках $x > 0,5$, і зокрема при $x = 1$, необхідно виділити особливості у виразах (8).

$$\begin{aligned} J'_{os} &= \ell_j \cdot B_{ij}^K, \quad J'_{os} = \alpha_{jk} \cdot B_{ij}^K - (\alpha_{jk}^2 + \ell_j^2) B_{ej}^K - \ln(1-x); \\ B_{ij}^K &= (1+2\alpha_{jk}) [A_{ej}^K + D(x)] - (\alpha_{jk}^2 + \ell_j^2) A_{ij}^K + 1 + \frac{1-x}{x} \ln(1-x), \\ B_{ej}^K &= A_{ej}^K + D(x); \quad D(x) = \frac{3}{4x} - \frac{1}{6} - \frac{(1-x)^2}{2x^3} \ln(1-x) - \frac{1}{2x^2}; \end{aligned} \tag{11}$$

$$A_{ij}^K = \sum_{n=1}^{\infty} \frac{x^n}{n(n+1)[(n-\alpha_{jk})^2 + \ell_j^2]},$$

$$A_{ej}^K = \sum_{n=1}^{\infty} \frac{x^n [6 + n(5 + 2\alpha_{jk}) - (\alpha_{jk}^2 + \ell_j^2)]}{(n+1)(n+2)(n+3)[(n-\alpha_{jk})^2 + \ell_j^2]},$$

$$A_{ij}^K = \sum_{n=1}^{\infty} \frac{x^n \{ 6 + 2n^2(3 + \alpha_{jk}) + n[11 - (\alpha_{jk}^2 + \ell_j^2)] \}}{n(n+1)(n+2)(n+3)[(n-\alpha_{jk})^2 + \ell_j^2]}.$$

Це дає можливість визначити напруженій стан в точці $x = l$ підкріпленого краю диска, де прикладена зосереджена сила. В цій точці вої напруження кінцеві при $\delta_1 \neq 0$ та $\delta_2 \neq 0$.

За допомогою ЕОМ "Мінськ-22" визначені напруження в точках дійсної осі для варіантів значень відносних жорсткостей ребра на розтяг (δ_1) та згин ($\delta_2 = \lambda \delta_1$), які наведені нижче.

Варіант	δ_1	λ	Варіант	δ_1	λ	Варіант	δ_1	λ
1	0,1	0,001	6	5	0,004	10	5	0,1
2	0,1	0,004	7	10	0,001	11	5	0,01
3	1	0,001	8	10	0,004	12	10	0,1
4	1	0,004	9	1	0,1	13	10	0,01
5	5	0,001						

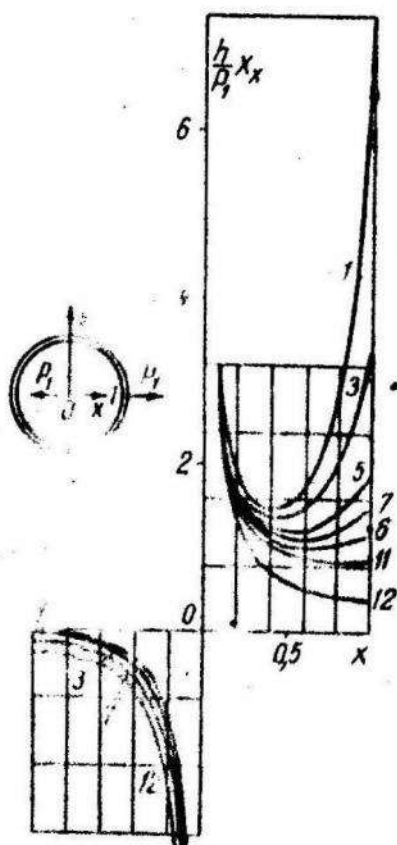


Рис. 1.

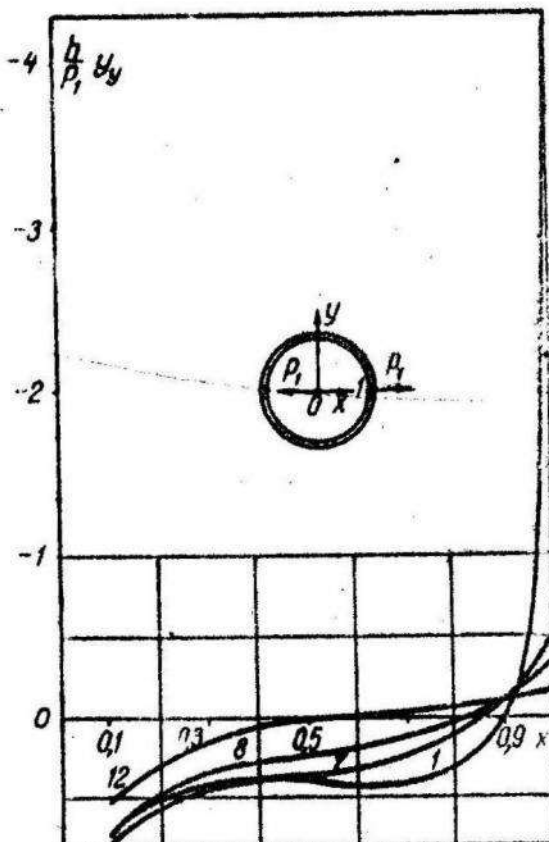


Рис. 2.

На рис. 1-2 побудовано графіки розподілу нормальних напружень вздовж дійсної осі диска в залежності від значень жорсткостей підкріплюючого ребра. (Номери кривих на рисунках відповідають варіантам). Порівняння цих результатів з прикладом статті [5], з якому не врахувалась жорсткість підкріплюючого ребра на згин, показує, що вплив величин δ_2 значний, тобто у розглядуваному випадку зосередженого навантаження на ребро не можна нехтувати його жорсткістю на згин.

Для непідкріпленого диска ($\delta_1 = \delta_2 = 0$) задача розв'язана в роботі [3]. У випадку $\xi_0 = 1$ в роботі [1] розв'язана задача для диска, край якого підкріплено широким пружним кільцем.

Методом накладання одержано розв'язок задачі про дію двох зосереджених сил, прикладених по краях диска з підкріпленим краєм. Результати обчислений напружень для такого диска зображені на рис. 3, 4.

Графіки на рис. 1-4 ілюструють вплив відповідних жорсткостей ребра на розподіл напружень в дискі.

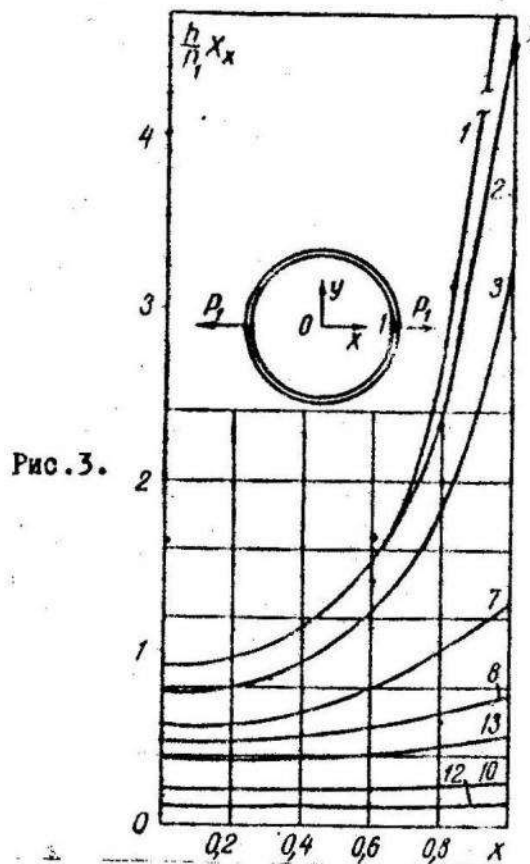


Рис. 3.

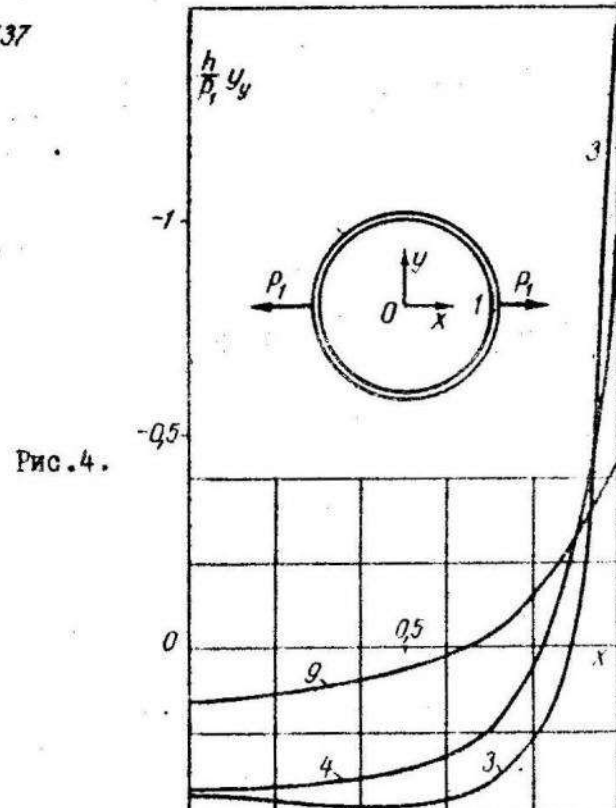


Рис. 4.

Література

1. Д. В. Вайнберг. Напряженное состояние составных дисков и пластин. Изд-во АН УССР, К., 1952.
2. Дайдерс, К. Фукую, Т. Фукую. Действие сосредоточенной силы вблизи гладкого кругового включения. Прикладная механика. Труды Американского общества инженеров-механиков, том 33, серия Е, № 4, 1966.
3. Н. И. Мусхелишивили. Некоторые основные задачи математической теории упругости. М., 1966.
4. Н. П. Флейшман, І. В. Старовийтенко. Пружна рівновага пластинки з підкріпленою круговою границею. Вісник Львів. ун-ту, сер. фіз., хім. і мех.-мат., 1968.
5. Н. П. Флейшман, І. В. Старовийтенко. Обобщенная граничная задача для пластинки с подкрепленным краем. Прикладная механика, т. 3, вып. 12, 1967.

—0—

УДК 583.3

І.О.МІШЕНКО, Т.Л.МАРТИНОВИЧ

ЗГИН КУСОЧНО-ОДНОРІДНОГО ЕЛІПТИЧНОГО КІЛЬЦЯ

Розглянемо тонку ізотропну плиту, серединна площа якої займає область S , обмежену двома співфокусними еліпсами L_1 та L_2 . Ця область співфокусним еліпсом L_0 розділяється на дві підобласті S_1, S_2 , що відповідають двом різним матеріалам. Надалі всі величини, які відносяться до області S_1 , будемо відмічати індексом "1", а величини, що відносяться до S_2 - індексом "2". На зовнішньому контурі L_1 діють рівномірно розподілені згинальні моменти інтенсивності M , а внутрішній контур плити L_2 або вільний від дії зовнішніх зусиль, або жорстко закріплений.

Зробимо конформне відображення області S на концентричне кільце з радіусами $\rho_i = 1$, $\rho_o > 1$ (еліпсу L_o відповідає коло радіуса ρ_o) за допомогою функції

$$z = \omega(\xi) = R(\xi + \frac{m}{\xi}), \quad (1)$$

де

$$R = \frac{a_s + b_s}{2}; \quad m = \frac{a_s - b_s}{a_s + b_s}; \quad \rho_i = 1;$$

$$\rho_i = \frac{a_s + b_s}{a_s + b_s}; \quad \rho_o = \frac{a_s + b_o}{a_s + b_s};$$

a_s, b_s – півосі співфокусних еліпсів L_s .

Головний вектор і головний момент зовнішніх зусиль на кожному з контурів дорівнюють нулю, а тому функції напружень голоморфні у відповідних підобластях, і інтегральні співвідношення для визначення функцій $\Phi_\kappa(\xi)$, $\Psi_\kappa(\xi)$ в перетвореній області, згідно з [1], мають вигляд

$$\sum_{\kappa=1}^2 D_\kappa (1-\nu_\kappa) \left\{ n_\kappa \int_{\delta_\kappa}^{\tilde{\delta}_\kappa} \overline{F(\sigma)} \Phi_\kappa(\sigma) \omega'(\sigma) d\sigma + \alpha_\kappa \int_{\delta_\kappa}^{\tilde{\delta}_\kappa} \overline{F(\sigma)} \Phi_\kappa(\sigma) \omega'(\sigma) d\sigma - \right. \\ \left. - \int_{\tilde{\delta}_\kappa + \delta_0}^{\tilde{\delta}_\kappa} \overline{\Phi_\kappa(\sigma)} \omega(\sigma) d\overline{F(\sigma)} \right\} = (M + iN) \int_{\delta_\kappa}^{\tilde{\delta}_\kappa} \overline{F(\sigma)} \omega'(\sigma) d\sigma; \quad (2)$$

$$\sum_{\kappa=1}^2 \left[n_\kappa \int_{\delta_\kappa}^{\tilde{\delta}_\kappa} \overline{F(\sigma)} \Phi_\kappa(\sigma) \omega'(\sigma) d\sigma + \int_{\delta_\kappa}^{\tilde{\delta}_\kappa} \overline{F(\sigma)} \Phi_\kappa(\sigma) \omega'(\sigma) d\sigma - \right.$$

$$\left. - \int_{\tilde{\delta}_\kappa + \delta_0}^{\tilde{\delta}_\kappa} \overline{\Phi_\kappa(\sigma)} \omega(\sigma) d\overline{F(\sigma)} \right] = \frac{M + iN}{D_\kappa (1-\nu_\kappa)} \int_{\delta_\kappa}^{\tilde{\delta}_\kappa} \overline{F(\sigma)} \omega'(\sigma) d\sigma; \quad (3)$$

$$\left. - \int_{\tilde{\delta}_\kappa + \delta_0}^{\tilde{\delta}_\kappa} \overline{\Phi_\kappa(\sigma)} \omega(\sigma) d\overline{F(\sigma)} \right] = \frac{M + iN}{D_\kappa (1-\nu_\kappa)} \int_{\delta_\kappa}^{\tilde{\delta}_\kappa} \overline{F(\sigma)} \omega'(\sigma) d\sigma;$$

$$\begin{aligned}
& \int_{\Gamma_\kappa + \Gamma_0} F(\sigma) \overline{\Psi_\kappa(\sigma)} \omega'(\sigma) d\sigma = -(\alpha_\kappa - \alpha e_\kappa) \int_{\Gamma_\kappa} F(\sigma) \overline{\Phi_\kappa(\sigma)} \omega'(\sigma) d\sigma + \\
& + \int_{\Gamma_\kappa + \Gamma_0} \overline{\Phi_\kappa(\sigma)} \omega(\sigma) dF(\sigma) + \delta_{\kappa} \frac{M+iN_i}{D_i(1-\beta_i)} \int_{\Gamma_i} F(\sigma) \omega'(\sigma) d\sigma + \\
& + \frac{(-N)^{\kappa-1}}{N-1} \int_{\Gamma_c^-} F(\sigma) \left[(1-\alpha e_i) \Phi_i(\sigma) - (1-\alpha e_2) \Phi_2(\sigma) \right] \omega'(\sigma) d\sigma; \\
& \delta_{\kappa n} = \begin{cases} 1 & (\kappa = n) \\ 0 & (\kappa \neq n) \end{cases}.
\end{aligned} \tag{4}$$

Тут Γ_j - коло з радіусом ρ_j ; σ - афікс точки контура перетвореної області; N_i - дійсна постійна, яку треба ще визначити; $N = D_1(1-\beta_1)/D_2(1-\beta_2)$, Значення $n_i = \alpha e_i = -(z+\rho_i)/(1-\beta_i)$ відповідає вільному внутрішньому контуру, а при жорсткому закріпленні контура треба взяти $n_2 = 1$.

Функції $\Phi_i(\sigma)$, $\Psi_i(\sigma)$, $F(\sigma)$, голоморфні в кругових кільцях, розкладаються в ряди Лорана

$$\begin{aligned}
\Phi_i(\sigma) &= \sum_{n=-\infty}^{\infty} A_n \sigma^n; & \Phi_2(\sigma) &= \sum_{n=-\infty}^{\infty} B_n \sigma^n; \\
\Psi_i(\sigma) &= \sum_{n=-\infty}^{\infty} C_n \sigma^n; & \Psi_2(\sigma) &= \sum_{n=-\infty}^{\infty} H_n \sigma^n; & F(\sigma) &= \sum_{n=-\infty}^{\infty} E_n \sigma^n.
\end{aligned} \tag{5}$$

Коефіцієнти A_n , B_n , C_n , H_n , завдяки геометричній та силової симетрії задачі відносно обох осей координат, будуть всі дійсними, причому не рівними нулю лише з парними індексами.

Підставивши (5), (1) в співвідношення (2)-(4) і виконавши інтегрування вздовж відповідних контурів, вважаючи при цьому всі E_n , крім ρ_{-2K+1} , рівними нулю, одержимо нескінченну систему лінійних алгебраїчних рівнянь відносно коефіцієнтів розкладу функцій $\Phi(5)$, $\Psi(5)$:

$$\begin{aligned} D_1(1-\nu_1) & \left[\alpha e_1 (\rho_1^{4K+2} - \rho_0^{4K+2}) (A_{2K} - m A_{2K+2}) + (2K+1) \times \right. \\ & \times (\rho_1^2 - \rho_0^2) (A_{-2K} - \frac{m}{\rho_0^2 \rho_1^2} A_{-2K-2}) \left. \right] + D_2(1-\nu_2) \left[(\alpha e_2 \rho_0^{4K+2} - n_2) \times \right. \\ & \times (B_{2K} - m B_{2K+2}) + (2K+1) (\rho_0^2 - 1) (B_{-2K} - \frac{m}{\rho_0^2} B_{-2K-2}) \left. \right] = \\ & = (M+iN_1) (\rho_1^2 \delta_{K0} - \frac{m}{\rho_1^2} \delta_{-1K}); \end{aligned} \quad (6)$$

$$\begin{aligned} & (\alpha e_1 \rho_1^{4K+2} - \rho_0^{4K+2}) (A_{2K} - m A_{2K+2}) + (2K+1) (\rho_1^2 - \rho_0^2) \times \\ & \times (A_{-2K} - \frac{m}{\rho_0^2 \rho_1^2} A_{-2K-2}) + (\rho_0^{4K+2} - n_2) (B_{2K} - m B_{2K+2}) + \\ & + (2K+1) (\rho_0^2 - 1) (B_{-2K} + \frac{m}{\rho_0^2} B_{-2K-2}) = \frac{M+iN_1}{D_1(1-\nu_1)} (\rho_1^2 \delta_{K0} - \frac{m}{\rho_1^2} \delta_{-1K}); \end{aligned} \quad (7)$$

$$\begin{aligned} & (\rho_0^{4K+4} - \rho_1^{4K+4}) (C_{2K} - m C_{2K+2}) = (2K+1) \left[(\rho_1^{4K} - \rho_0^{4K}) m A_{2K} + \right. \\ & \left. + (\rho_1^{4K+4} - \rho_0^{4K+4}) A_{2K+2} \right] - \frac{1}{N-1} \left[(1 - \alpha e_1) (A_{-2K-2} - m A_{-2K}) - \right. \\ & \left. - (1 - \alpha e_2) (B_{-2K-2} - m B_{-2K}) \right] + \frac{M+iN_1}{D_1(1-\nu_1)} (\delta_{-1K} - m \delta_{0K}); \end{aligned} \quad (8)$$

$$\begin{aligned}
 (1 - \rho_0^{4K+4})(H_{2K} - mH_{2K+2}) = (2K+1) \left[(\rho_0^{4K} - 1)mB_{2K} + \right. \\
 \left. + (\rho_0^{4K+4} - 1)B_{2K+2} \right] + (n_2 - \alpha_e)(B_{-2K-2} - mB_{-2K}) - \\
 - \frac{N}{N-1} \left[(1 - \alpha_e_1)(A_{-2K-2} - mA_{-2K}) - (1 - \alpha_e_2)(B_{-2K-2} - mB_{-2K}) \right] \\
 (K = 0, \pm 1, \pm 2, \pm 3, \dots).
 \end{aligned} \tag{9}$$

Системи (6), (7) слугують для визначення коефіцієнтів A_n і B_n . Коефіцієнти розкладу функції $\Psi(5)$ знаходяться з системи рекурентних залежностей (8) і (9).

З умови однозначності прогину

$$\int_m \int \omega(\sigma) \Psi_1(\sigma) \omega'(\sigma) d\sigma = \int_m (C_{-2} - m^2 C_2) = 0. \tag{10}$$

випливає, що стала N повинна дорівнювати нульові.

Приклад. Плита складається із зовнішнього мідного кільца S_1 і внутрішнього сталого кільца S_2 з пружними стальми

$$E_1 = 1,1 \cdot 10^6 \text{ кг/см}^2; \quad \nu_1 = 0,32; \quad E_2 = 2,1 \cdot 10^6 \text{ кг/см}^2; \quad \nu_2 = 0,26.$$

Внутрішній край сталого кільца L_2 вільний від дії зовнішніх зусиль, тому $n_2 = -(3 + \nu_2) / (1 - \nu_2)$.

Обчислення проводиться для таких геометрических характеристик плити:

$$\alpha_e = 3\beta_e, \quad \beta_0 = \sqrt{3}\beta_e, \quad \beta_1 = 3\beta_e.$$

В цьому випадку, згідно з (1), $m = 0,5$; $\rho_2 = 1$; $\rho_0 = 1,262$; $\rho_1 = 1,781$.

Бралося по 11 коефіцієнтів A_n і B_n ($\max|n|=10$) і розв'язувалась укорочена система з 22 рівнянь на ЕОМ "Мінск-22".

В таблиці наведені числові значення згинальних моментів M_θ в окремих точках зовнішнього і внутрішнього країв плити, а також значення моментів M_ρ і M_φ на лінії сплою L_o .

θ°	M_ρ	На сплою L_o		На L_1		На L_2	
		$M_\theta^{(1)}$	$M_\theta^{(2)}$	$M_\theta^{(1)}$	$M_\theta^{(2)}$	$M_\theta^{(1)}$	$M_\theta^{(2)}$
0	0,607	3,036	5,582	2,184	8,206		
10	0,677	2,832	5,170	2,127	7,155		
20	0,818	2,364	4,226	1,973	5,155		
30	0,916	1,900	3,307	1,769	3,844		
40	0,917	1,594	2,721	1,565	3,269		
50	0,857	1,416	2,403	1,390	2,828		
60	0,787	1,298	2,201	1,253	2,549		
70	0,722	1,226	2,087	1,153	2,501		
80	0,668	1,205	2,066	1,090	2,422		
90	0,645	1,206	2,075	1,068	2,340		

Література

1. Т. Л. Мартинович, И. А. Нищенко. Об изгибе тонких изотропных плит и плит с подкрепленным краем. Материалы VII Всесоюзной конференции по теории пластин и оболочек. "Наука", М., 1969.
2. Г. Н. Савин. Концентрация напряжений около отверстий. ГИТТЛ, 1951.
3. М. П. Шереметьев. Пластинки с подкрепленным краем. Изд-во Львов. ун-та, 1960.

УДК 517.512

Об одном соотношении двух классов обобщенных почти периодических функций. К о в а н ь к о А. С. Вісник Львівського ордена Леніна державного університету, сер. мех.-мат., вип. 6, 1971, стор. 3. (укр.).

В статье доказывается совпадение двух классов обобщенных почти периодических функций, рассмотренных автором в его другой статье: "Взаимоотношение различных обобщений почти периодических функций". (Изв. НИИМи, Томск, т. 3, вып. I, 1946 г.). Это классы: $\tilde{W}(S_p, \mu, c)$ и $\tilde{W}(W_p, \mu, c)$ (см. стр. 12 указанной статьи).

УДК 517.535.4

О неподвижных точках целых функций. Г о л ь д б е р г А. А., Ш е р е м е т а М. М. Про нерухомі точки цілих функцій. Вісник Львівського університету, сер. мех.-мат., вип. 6, 1971, стор. 5 (укр.).

Указаны примеры целых функций порядка $\rho > \frac{1}{2}$, которые имеют не более конечного числа отталкивающих и индифферентных точек. Это дополняет результаты Уайтингтона [1]. Библ. 2.

УДК 517.53

Уточнение формулы обращения для характеристической функции случайного вектора. К в і т І. Д. Уточнення зворотної формули для характеристичної функції випадкового вектора. Вісник Львівського університету, сер. мех.-мат., вип. 6, 1971, стор. 9 (укр.).

На основании понятий интервального, μ -мерного и точечного ограничителей дается новое доказательство формулы обращения для характеристической функции случайного вектора в произвольных точках μ -мерной функции распределения, теорема единственности и теорема о величине скачка в точке одномерной функции распределения. Библ. 2.

УДК 517.9:536.2

Задача Дирихле для плоскости со щелями. Кордуба Б. М.,
Мартинович Т. Л. Задача Діріхле для площини з щілинами. Вісник Львівського університету, сер. мех.-мат., вип. 6, 1971, стор. 18
(укр.).

В плоскости с прямолинейными щелями, размещенными параллельно одной из координатных осей, рассматривается задача Дирихле для уравнения Лапласа. Решение ищется методом прямых.

Приводится численный пример. Илл. 3. Табл. I. Библ. II.

УДК 517.534.4

О лакунарных степенных рядах аналитических в круге функций. Шеремета М. М. Про лакунарні степеневі ряди аналітичних в кругі функцій. Вісник Львівського університету, сер. мех.-мат., вип. 6, 1971, стор. 28
(укр.).

Теоремы Сонса о связи между порядком и нижним порядком аналитической в круге функции, представленной лакунарным степенным рядом, переносятся на случай обобщенных порядков и низких порядков. Библ. 5.

УДК 517.53

Построение мажорант и диаграмм Ньютона рядов Дирихле. Коствский О. М., Цегелик Г. Г. Побудова мажорант та діаграм Ньютона рядів Діріхле. Вісник Львівського університету, сер. мех.-мат., вип. 6, 1971, стор. 36 (укр.).

Рассматриваются ряды Дирихле функций одной комплексной переменной. Для этих рядов строится аппарат мажорант и диаграмм Ньютона. С помощью мажорант и диаграмм Ньютона рядов Дирихле устанавливаются достаточные условия существования полос, не содержащих нулей этих рядов. Библ. 2.

УДК 535.7

Влияние оптических иллюзий на точность черчения. Буймолов Г.Л., Тлустик І.М. Вплив оптических ілюзій на точність креслення. Вісник Львівського університету, сер. мех.-мат., вип. 6, 1971, стор. 40 (укр.).

Рассматриваются те оптические иллюзии, под влиянием которых могут возникнуть ошибки в геометрических построениях. Обращается внимание на необходимость учитывать влияние этих иллюзий при изготовлении чертежей, где требуется большая точность. Илл. 2. Библ. 3.

УДК 511

Дуальность у эллиптических кривых над квазилокальным полем. Веденський О.М. Дуальність у еліптических кривих над квазілокальним полем. Вісник Львівського університету, сер., мех.-мат., вип. 6, 1971, стор. 46 (укр.).

Строится теория двойственности для эллиптических кривых над квазилокальным полем, аналогичная теории двойственности Тэйта в локальном случае. Библ. II.

УДК 517.512

Построение одного класса почти периодических функций. М и ш к о - в е ц ь У. А. Побудова одного класу майже періодичних функцій. Вісник Львівського університету, сер. мех.-мат., вип. 6, 1971, стор. 50 (укр.).

Дается построение пространства почти периодических функций, которое является гильбертовым. Библ. 4.

УДК 513.015.6

Некоторые теоремы о поверхностях Σ и Δ -поверхностях. Д е н и с к'о С. В. Деякі теореми про поверхні Σ та Δ -поверхні. Вісник Львівського університету, сер. мех.-мат., вип. 6, 1971, стор. 58 (укр.).

Получены необходимые и достаточные условия для того, чтобы линейчатая поверхность конгруэнции была поверхностью Σ .

Рассматривается изотропная конгруэнция, изгибающаяся в изотропную конгруэнцию и содержащая в себе поверхности Σ .

Изучаются поверхности Δ векторного поля в трехмерном евклидовом пространстве. Библ. 5.

УДК 515.69

Об некоторых обобщениях построений аксонометрических проекций. К о п и с т я и с ь к и Й А. О. Про деякі узагальнення побудов аксонометрических проекцій. Вісник Львівського університету, сер. мех.-мат., вип. 6, 1971, стор. 63 (укр.).

Дается описание построения аксонометрических проекций в полном соответствии с теоремой Польке-Шварца, т.е. с непосредственной связью прообраза и изображения.

Предполагаемое построение обладает рядом преимуществ: 1) дает возможность использовать на практике всевозможные аксонометрические системы без ограничений; 2) дает увеличение точности за счет непосредственной

связи построений и за счет графического преобразования коэффициентов изображения; 3) дает возможность практически использовать центральные аксонометрические проекции; 4) объединяет два метода построений в один.

Илл. 5.

УДК 517.944:947

Некоторые краевые задачи для эллиптических систем. Мартиненко М. Д. Деякі країові задачі для еліптичних систем. Вісник Львівського університету, сер. мех.-мат., вип. 6, 1971, стор. 68 (укр.).

Рассматривается задача об определении решения эллиптической системы уравнений с частными производными второго порядка вариационного типа от положительно определенного функционала в трехмерном пространстве с разрезом вдоль незамкнутой поверхности типа Ляпунова по заданным на двух сторонах этой поверхности граничным условиям типа Дирихле или Неймана. Методом интегральных уравнений доказано при определенных предположениях относительно коэффициентов существование единственного решения этих задач.

Библ. 3.

УДК 517.512.

Об абсолютной сходимости рядов Фурье почти периодических функций. Притула Я. Г. Про абсолютну збіжність рядів Фур'є майже періодичних функцій. Вісник Львівського університету, сер. мех.-мат., вип. 6, 1971, стор. 72 (укр.).

Для равномерных почти периодических (п.-п.) функций, спектр которых имеет единственную точку сгущения $\lambda^* = 0$, и B^p п.-п. ($1 < p \leq 2$) функций с единственной точкой сгущения спектра $\lambda^* = \infty$, ряд Фурье которых записан в виде

$$f(x) \sim \sum_{j=-\infty}^{\infty} A_j e^{i\lambda_j x},$$

$\lambda_j > 0$ при $j > 0$, $\lambda_{-j} = -\lambda_j$, $|A_j| + |A_{-j}| > 0$; $\{\lambda_j\}_{j=1}^{\infty}$ — монотонная последовательность.

Доказаны достаточные условия сходимости ряда

$$\sum_{j=1}^{\infty} |a_j|^p |j|^r;$$

$$\frac{1}{p} + \frac{r}{q} = 1, \quad 0 < r < q, \quad r > 0.$$

Условия даны, в случае если $\lambda^* = 0$, в терминах величины

$$\bar{\omega}_p(\delta, f) = \delta \left[M \left(\left| \int_0^\infty e^{-\delta t} f(x-t) dt \right|^p \right) \right]^{1/p}, \quad \delta > 0,$$

а в случае если $\lambda^* = \infty$, в терминах интегрального модуля непрерывности $\omega_p(\delta, f)$. Библ. 5.

УДК 517.946

О задаче Дирихле в бесконечных областях. Іванчов М. І. Про задачу Діріхле в необмежених областях. Вісник Львівського університету, сер. мех.-мат., вип. 6, 1971, стор. 80 (укр.).

Установлены условия разрешимости задачи Дирихле для линейного эллиптического уравнения второго порядка в бесконечных областях в случае, когда коэффициент при неизвестной функции в уравнении стремится к нулю при $|x| \rightarrow \infty$ с некоторой заданной скоростью. Библ. 2.

УДК 539.337

Вдавливание горячего кольцевого штампа в трансверсально-изотропное полупространство. Грильцкий Д. В., Шелестовский Б. Г. Тиск горячого кільцевого штампа в трансверсально-ізотропний півпростір. Вісник Львівського університету, сер. мех.-мат., вип. 6, 1971, стор. 83 (укр.).

Рассматривается задача о вдавливании горячего кольцевого штампа с плоским основанием в трансверсально-изотропное полупространство при смешанных граничных условиях для температуры.

Для двух случаев найдены формулы для нормальных контактных напряжений под штампом и соотношения между скимающей штамп силой, температурой и смещением штампа. Илл. 2. Библ. 7.

УДК 539

Круговое эксцентрическое кольцо с подкрепленным внутренним краем.
Мартинович Т. Л., Вушко В. П. Кругове ексцентричне кільце
з підсиленням внутрішнім краєм. Вісник Львівського університету, сер.
мех.-мат., вип. 6, 1971, стор. 94 (укр.).

Решена плоская задача о напряженном состоянии в изотропном круговом
эксцентрическом кольце с подкрепленным внутренним краем. Подкрепляющее
кольцо рассчитывается по теории тонких криволинейных стержней. Сопряже-
ние пластинки с кольцом осуществляется по фактической поверхности их
контакта. Метод решения задачи основан на представлении граничных услов-
ий в форме контурных интегралов, содержащих произвольную функцию, голо-
морфную в рассматриваемой области. Получена бесконечная система линейных
алгебраических уравнений относительно коэффициентов разложения искомых
функций. Приводится числовой пример. Табл. 1. Библ. 7.

УДК 517.3

Некоторые случаи осесимметричной задачи термоупругости для транс-
версально-изотропного слоя. Гриліцкий Д. В., Габрусев
В. Г., Піддубняк О. П. Деякі випадки осесиметричної задачі тер-
мопружності для трансверсально-ізотропного шару. Вісник Львівського уні-
верситету, сер. мех.-мат., вип. 6, 1971, стор. 103 (укр.).

Рассматриваются некоторые случаи осесимметричной задачи термоупру-
гости для неограниченного и плоскопараллельного трансверсально-изотроп-
ного слоя конечной толщины при однородных и смешанных граничных услови-
ях для температуры и при отсутствии внешних граничных напряжений.

Определены температурное поле и температурные напряжения. Илл. 4.
Библ. 10.

УДК 539.311

Об эквивалентном подкреплении отверстия в упругой оболочке. Лунь
Е. І., Яський А. О. Про еквівалентне підкріплення отвору в пруж-

ній оболонці. Вісник Львівського університету, сер. мех.-мат., вип. 6, 1971, стор. II2 (укр.).

На основе уравнений уточненной теории оболочек типа Тимошенко, некоторые некоторым образом учитывают деформации поперечных сдвигов и дают возможность удовлетворить пяти граничным условиям на контуре отверстия, решается задача об эквивалентном подкреплении отверстия в упругой оболочке. Приводятся формулы для жесткостей подкрепляющего кольца.

Рассматривается пример об эквивалентном подкреплении кругового отверстия в цилиндрической оболочке, находящейся под действием равномерного внутреннего давления. Определены геометрические характеристики подкрепляющего кольца. Табл. I. Библ. II.

УДК 539.3

Пластинка с подкрепленной круговой границей под действием сосредоточенных сил и моментов. Старовойтенко І. В. Пластина з підкріпленою круговою границею під дією зосереджених сил і моментів. Вісник Львівського університету, сер. мех.-мат., вип. 6, 1971, стор. II9 (укр.).

Решена задача плоской теории упругости о напряженном состоянии диска с подкрепленной круговой границей под действием сосредоточенных сил и моментов, приложенных к внутренним точкам диска, и произвольной нагрузки на подкрепляющее ребро.

Для двух случаев действия сосредоточенных сил на диск с подкрепленным краем построены графики распределения напряжений в диске в зависимости от значений жесткостей подкрепляющего ребра.

Выявлено значительное влияние на распределение напряжений в диске как жесткости на растяжение, так и жесткости на изгиб. Илл. 4. Табл. I. Библ. 5.

З М І С Т

Математика	Стор.
О. С. Ковалько. Про одне співвідношення двох класів узагальнених майже періодичних функцій	3
А. А. Гольдберг, М. М. Шеремета. Про нерухомі точки цілих функцій.	5
І. Д. Квіт. Уточнення зворотної формули для характеристичної функції випадкового вектора.....	9
Б. М. Кордуба, Т. Л. Мартинович. Задача Діріхле для площини з щілинами.....	18
М. М. Шеремета. Про лакунарні степеневі ряди аналітичних в крузі функцій.....	28
О. М. Костовський, Г. Г. Цегелик. Побудова махорант та діаграм Ньютона рядів Діріхле.....	36
Г. Л. Буймоля, І. М. Тлустяк. Вплив оптичних ілюзій на точність креслення.....	40
О. М. Веденський. Дуальність у еліптичних кривих над квазілокальним полем	46
Я. А. Мишковець. Побудова одного класу майже періодичних функцій.	50
С. В. Дениско. Деякі теореми про поверхні Σ та Δ - поверхні.	58
А. О. Коцианський. Про деякі узагальнення побудов аксонометричних проекцій.....	63
М. Д. Мартиненко. Деякі крайові задачі для еліптичних систем.	68
Н. І. Притула. Про абсолютно збіжність рядів Фур'є майже періодичних функцій.....	72
М. І. Іванчов. Про задачу Діріхле в необмежених областях.....	80
Механіка	
Д. В. Грильський, Б. Г. Шелестовський. Тиск гарячого кільцевого штампа на трансверсально-ізотропний півпростір.....	83
Т. Л. Мартинович, В. П. Вушко. Кругове ексентричне кільце з підсиленням внутрішнім краєм.....	94
Д. В. Грильський, В. Г. Габрусев, О. П. Підубна. Деякі випадки осесиметричної задачі термопружності для трансверсально-ізотропного шару.....	103
Е. І. Луинь, А. О. Сяський. Про еквівалентне підкрілення отвору в пружній оболонці.....	112
Х. В. Старовойтенко. Пластинка з підкріпленою круговою границею під дією зосереджених сил і моментів.....	119
І. О. Ніщенко, Т. Л. Мартинович. Згин кусочно-однорідного еліптичного кільця.	127

Міністерство вищого та середнього спеціального освіти УССР
ВЕСТНИК ЛЬВОВСКОГО ОРДЕНА ЛЕНИНА ГОСУДАРСТВЕННОГО
УНІВЕРСИТЕТА ім. Івана Франка

СЕРИЯ МЕХАНИКО-МАТЕМАТИЧЕСКАЯ

випуск 8

/На українському языке/

Объем 9 печ. л., 7,4 уч.-изд. л. Тираж 600. Цена 74 коп. Зак. 2789
Издательство Львовского университета. Львов, Университетская, 1.

Областная книжная типография, Львов, Стефаника, 11.

Редактор З. Є. Гнил Коректор С. Я. Михайленко
БГ 08349. Підписано до друку 17.II-1971 р. Формат 80x90 $\frac{1}{16}$.
Паперов. арк. 4,5. Друк. арк. 9. Обл.-вид. арк. 7,2. Тираж 600. Цена 74 коп.

Зам. 2789

Видавництво Львівського університету. Львів, Університетська, 1.

Обласна книжкова друкарня. Львів, Стефаника, 11.

74 коп.